050624

# ENGEBØ

## Arkeologiske undersøkelser

1990-1991

Innberetning v/Trine Johnson
Historisk Museum, UiB

INNHOLD

**Figurliste** s. 2
**Liste over vedlegg** s. 2
**Forkortelser** s. 2
**Liste over strukturer** s. 19
**Fotoliste** s. 23
**Liste over 14C-dateringer** s. 25

I GENERELLT

1.0 INNLEDNING s. 3
1.1 Bakgrunn for undersøkelsen s. 3
1.2 Tidligere registreringer/undersøkelser s. 3
1.3 Hovedundersøkelse(r); tidsrom og deltagere s. 3
1.4 Områdebeskrivelse s. 4
1.5 Tidligere/andre funn i området s. 4

II LOK. 1 ENGEBØ

1.0 Arkeologiske undersøkelser s. 6
1.1 Oppsummering s. 6
1.2 Lokalitetsbeskrivelse s. 6
1.3 Undersøkelsesmetode s. 6
1.4 Generell stratigrafi s. 6
1.5 Feltene s. 6
1.6 Ardspor i dreneringsgrøft s. 11

2.0 FUNNMATERIALET s. 11

3.0 BOTANISKE UNDERSØKELSER s. 13
3.1 Pollenanalyse, hovedtrekk s. 13
3.2 Pollenresultater fra ardfurene s. 14
3.3 Makrofossiler s. 14

4.0 SAMMENFATNING s. 14

III LOK. 2 ENGEBØ

1.0 Lokalitetsbeskrivelse s. 16
1.1 Undersøkelsesmetode s. 16
2.0 Funnmaterialet s. 16

## LISTE OVER FIGURER

Figurer som inngår i teksten har sidenr. angitt


Fig. 1 Kart over området s. 5
Fig. 2 Kart:lokalitetenes beliggenhet s. 6
Fig. 3 Lokalitetskisse Lok 1
Fig. 4 Grafisk framstilling 14C-dat.lag 3 og 5 s. 9
Fig. 5 Plantegning 1 (vestre felt)
Fig. 6 Plantegning 2a (sørvestre felt)
Fig. 7 Plantegning 2b (sørøstre felt)
Fig. 8 Plantegning 3 (sørøstre felt)
Fig. 9 Plantegning 4 (v.+N-del av sv og sø felt)
Fig.10 Profiltegning 1 (58x 35-38,5y
Fig.11 Profiltegning 2 (47-61x 51y)
Fig.12 Profiltegning 3 (58,5x 47-51y)
Fig.13 Profiltegning 4 (55,5x 37-49y)
Fig.14 Profiltegning 5 (50-55,4x 44,5y)
Fig.15 Profiltegning 6 dreneringsgrøft østre felt
Fig.16 Snitt-tegning strukturer S 9,10,11,12,16
Fig.17 Snitt-tegning strukturer S 24,25,28/2
Fig.18 Snitt-tegning strukturer S 36,39,40,44,44/2
Fig.19 Snitt-tegning struktur I 7
Fig.20 Snitt-tegning struktur I 22
Fig.21 Snitt-tegning struktur I 49
Fig.22 Snitt-tegning struktur S 52
Fig.23 Gjenstandsfoto SN/BA s. 12
Fig.24 Gjenstandsfoto MN s. 13
Fig.25 Gjenstandsfoto Lok.2 s. 18
Fig.26 Ardfurer i dreneringsgrøft


## VEDLEGG


Vedlegg 1: 14C-dateringer skjema 1
Vedlegg 2: 14C-dateringer skjema 2
Vedlegg 3: Rapport botanisk undersøkelse
v/Kari Loe Hjelle, Botanisk Inst. UiB
Vedlegg 4: Funnkatalog Lok 1 Engebø
Vedlegg 5: Funnkatalog lok.2 Engebø


## FORKORTELSER

MN: Mellomneolitikum
SN: Sein-neolitikum
BA: Bronsealder
EBA: Eldre Bronsealder
YBA: Yngre Bronsealder
FRJ: Førromersk jernalder

# I GENERELT

## 1.0 INNLEDNING

### 1.1 Bakgrunn for undersøkelsen

Privat reguleringsplan for deler av Engebø Gnr. 31/1-3, Naustdal kommune, Sogn og Fjordane. Det undersøkte området er regulert til utskipningshavn for eklogitt.

### 1.2 Tidligere registreringer/undersøkelser

**Registreringer i regi av Sogn og Fjordane Fylkeskommune**

Befaring/registrering i det regulerte området ble første gang foretatt i februar 1990 av Kultursjefens kontor v/arkeolog Arne Johan Nærøy (innberetning av 20.02.90). Det ble ved registreringa påvist sannsynlige forhistoriske kulturlag, og gjort funn av et brent beinfragment, et avslag av kvarts og skjørbrent stein.

En utvidet registrering ble foretatt i mars måned samme år (innberetn. v/A.J.Nærøy 02.04.90). Yterligere prøvestikk ble tatt for å avgrense lokaliteten (i alt 11 stk.). I et av prøvestikkene ble det funnet 30 retusjeringsflis av flint.

Nærøy konkluderte med at funnenes karakter indikerte en datering til sein steinbrukende tid (SN/BA/FRJ).

**Forundersøkelse i regi av Historisk Museum, UiB.**

Historisk Museum foretok en forundersøkelse av lok. 1 Engebø en uke i månedsskiftet mai/juni 1990. Det ble i alt utført 4 ukeverk. Innledningsvis ble det brukt gravemaskin for å fjerne det øverste åkerjordslaget. Utvalgte meterruter ble gravd for hånd og såldet. Funn av samme karakter som ved tidligere registreringer, også indikasjoner på strukturer ble påvist (innberetning v/undertegnede). I ettertid er det klart at maskingravningen kunne vært mindre "forsiktig", da dybden på og det faktiske antallet kulturlag/faser ikke ble påvist.

En maskingravd grøft i bakkekanten V for lok. 1 avdekket nok en lokalitet, Lok. 2 Engebø. Lokaliteten ble tolket til å være en møddingg, evt. boplassmasser som var sekundært deponert i forbindelse med senere tiders bearbeiding av jorda.

### 1.3 Hovedundersøkelse(r), tidsrom og deltagere.

**Oktober 1990**

Hovedundersøkelsen av Lok. 1 skulle etter planen foregå i oktober måned samme år. Arbeidet ble påbegynt, to felt på lok. 1 ble avtorvet, men arbeidet måtte avsluttes p.g.a svært dårlige værforhold (store nedbørsmengder). I venting på bedre vær ble det arbeidet på Lok. 2, i hovedsak var formålet her innsamling av funnmateriale. Etter to uker ble undersøkelsen avbrutt (Innberetning v/Siv Kristoffersen).

Følgende deltok i undersøkelsen: Rolf Bade, Espen Kutschera, Morten Kutschera og undertegnede (1 uke). Arbeidet ble ledet av Siv Kristoffersen. Siv Kristoffersen og undertegnede utførte videre tilsammen 6 dagsverk i november mnd. med til-

dekking av avtorvede felt, samt noe graving og dokumentasjon i testrutene lengst mot S ("sydligste felt").

Totalt ble det nedlagt 10 ukeverk i felt (dagsverkene i november inkludert).

**Mai 1991**

Den avsluttende undersøkelsen pågikk i tidsrommet 02.05-29.05 1991. I tilllegg arbeidet undertegnede ytterligere en uke i felt i perioden 10.06-15.06, hovedsakelig med dokumentasjon av strukturer.

Følgende deltok i undersøkelsen: Tom Heibreen, Jan Ivar Trones og Anne Berit Vikse. Undertegnede ledet arbeidet.
Totalt 9 ukeverk i felt.

**Desember 1991/Januar 1992**

Anleggstart ble lagt til 20.12 (!) og etter avtale med tiltakshaver var undertegnede til stede ved fjerning av jordmassene. I første omgang ble det fjernet jordmasser for anleggsveg inn i området. Arbeidet fortsatte 5.1.92 og to gravemaskiner var satt inn i arbeidet med å fjerne matjorda i det regulerte området. Værforholdene var igjen dårlige, mye snø og dårlige lysforhold hemmet nok observasjonene en del. Flekker/små områder med "kulturlag" ble observert, men de inneholdt ikke elementer av "boplass-karakter" (funn). Strukturspor i undergrunnen var det relativt god kontroll med, det ble ikke påvist nye strukturer. Den viktigste observasjonen var kanskje hvor kupert området opprinnelig har vært, jordbruksaktiviteten i området har i høy grad omformet landskapet. Det var interessant å merke seg at der hvor undergrunnen hadde flatest karakter, var nettopp der lok. 1 var lokalisert. Dette indikerer at de viktigste bosetningsspor/strukturer er påvist og dokumentert så godt det har latt seg gjøre innenfor de rammer som var satt.

## 1.4 Områdebeskrivelse

Garden Engebø (Gnr.31) ligger i Naustdal k. i Sunnfjord, Sogn og Fjordane. Garden ligger i bygda Vevring, sørvendt på nordsiden av Førdefjorden (fig. 1). Førdefjorden, som lenger øst er relativt "trang", har i dette området et åpent preg. Landskapet karakteriseres av relativt bratte fjellsider på begge sidene av fjorden. Gardene ligger på terasser i slakke lier nært fjorden. Tradisjonelle næringsveier dominerer fortsatt, d.v.s gras-/melkeproduksjon.

## 1.5 Tidligere/andre funn i området.

Fra Engebø er det tidligere ingen kjente funn. Fra nabogården (mot Ø) er det innkommet funn til Historisk Museum; B.....
og B.....(et jernalder/middelalder søkke og div. steinalder, innsendt av Jakob Grytten, diplom forevist meg på stedet, ingen opplysn. i top.ark eller Fett). Ellers er det fra Vevringbygda hovedsakelig funn og fornminner av jernalderkarakter (bl.a fra gårdene Kvellestad og Årset).
Etter opplysninger fra grunneier på Vefring gnr.29/1 om "trekull" i en liten grønnsakshage ble det tatt to prøvestikk av undertegnede. Det ble gjort funn av flint, bergkrystall og kvarts/kvartsitt. Ingen diagnostiske/daterende artefakter (innberetn. v/undertegnede). Under arbeidet i januar 1991 ble jeg forevist en Vestlandsmeisel og en "sandsteinsplate" med innhugde hakk langs kanten (en udefinert gjenstandstype som det finnes to-tre andre av i Historisk Museums

samlinger). Funnstedet (på Vefring gnr.29/1) ble påvist -og kartfestet. Beliggenheten, inntil en liten berghammer, indikerer boplass. Disse funnene er i privat eie.

Vevringbygda ligger i umiddelbar nærhet av helleristnings-feltet i Ausevik (15 min. i bil) , bronsealderrøyser på Horne (V for Vevring) og bronsealderrøyser på andre siden av Førdefjorden i Askvoll kommune. Det er ingen bronsefunn fra kommunen, steinartefakter som kan knyttes til bronsealder er fåtallige (B 9848; enkel skafthullsøks, B 14641 skraper av flint fra Horne).

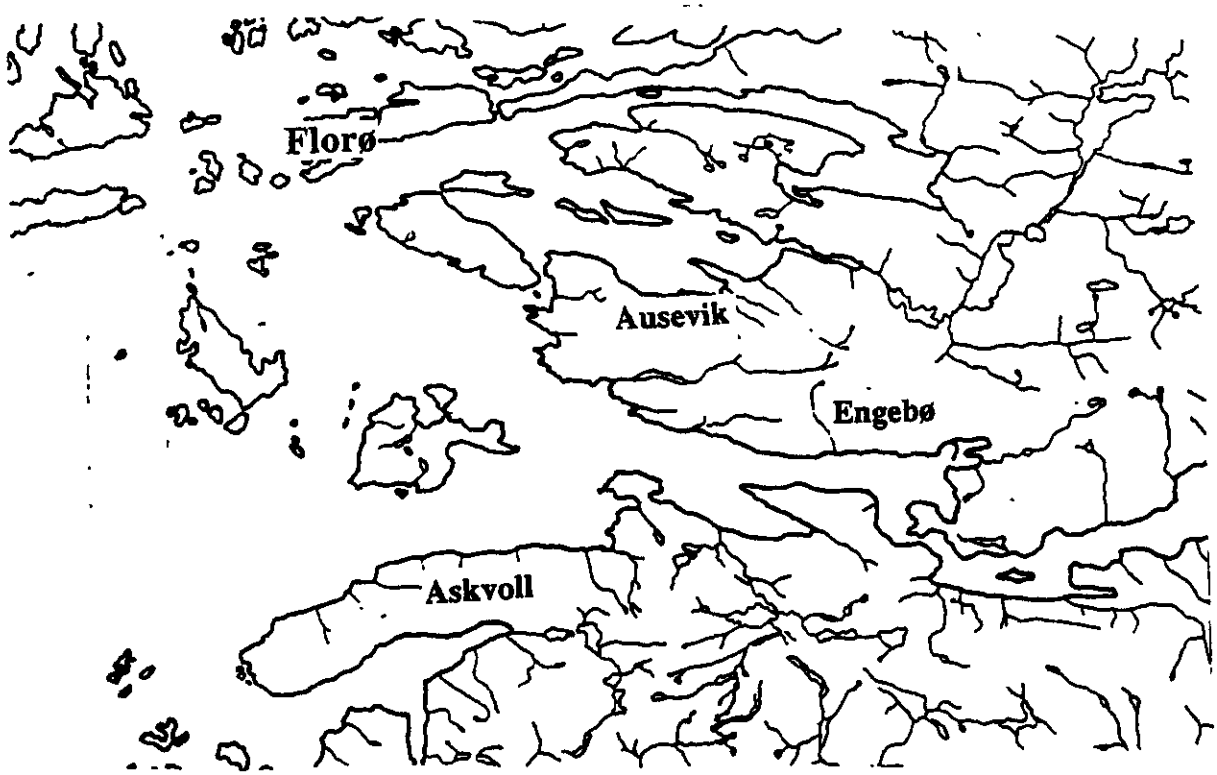


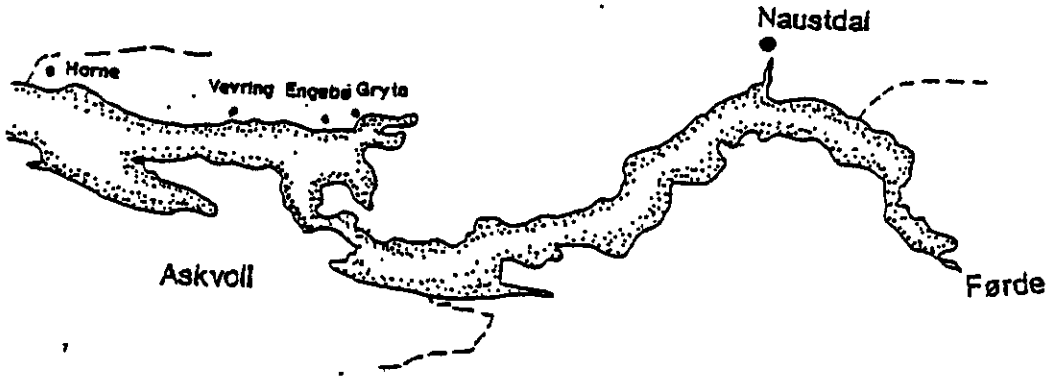


FIG. 1

# II LOK.1 ENGEBØ

## 1.0 RESULTATER AV UNDERSØKELSEN

### 1.1 Oppsummering

Det ble ialt avdekket 200 kvadratmeter under undersøkelsen av lok. 1 Engebø. Det ble påvist 30 strukturer, av disse 21 er tolket som stolpehull, 3 grøfter (for drenering?), 3 Ildsteder og 2 trekullfylte groper. I tilegg ble det påvist 1 struktur, S 52, av uviss funksjon. På lokaliteten indikerer stratigrafi, 14C-dateringer og funnmateriale at følgende faser er representert: Mellomneolitikum (gjenstander og 14C-dateringer), Sein-neolitikum (gjenstandsfunn), eldre bronsealder (gjenstander og 14 C-dateringer), yngre bronsealder og førromersk jernalder (14 C-dateringer).

Pollenundersøkelsen indikerer korndyrkning på stedet i bronsealder og førromersk jernalder. De mange fasene og den utstrakte dyrkninga i området, samt den tidsrammen for undersøkelsen gjorde arbeidet komplisert. Deler av lokaliteten og enkelte faser ble vektlagt. Den mellomneolittiske horisonten ble først påvist mot slutten av undersøkelsen og er i liten grad undersøkt. Hovedvekten av strukturene synes å tilhøre overgangen mellom eldre og yngre bronsealder. Det framkom ingen mønster i den horisontale spredningen av stolpehull, hustypen(e) kan derfor ikke bestemmes.

### 1.2 Lokalitetsbeskrivelse

Lok. 1 Engebø ligger i Engebøvika, øst for Engebøneset. Vika er sørvendt og omgitt av bratte knauser mot SV, N og Ø (fig. 2). Mot V skråner terrrenget jevnt oppover med små terasseflater. Lokaliteten ligger på ei flate ca 10 m.o.h. Området var overflatedyrka (eng).

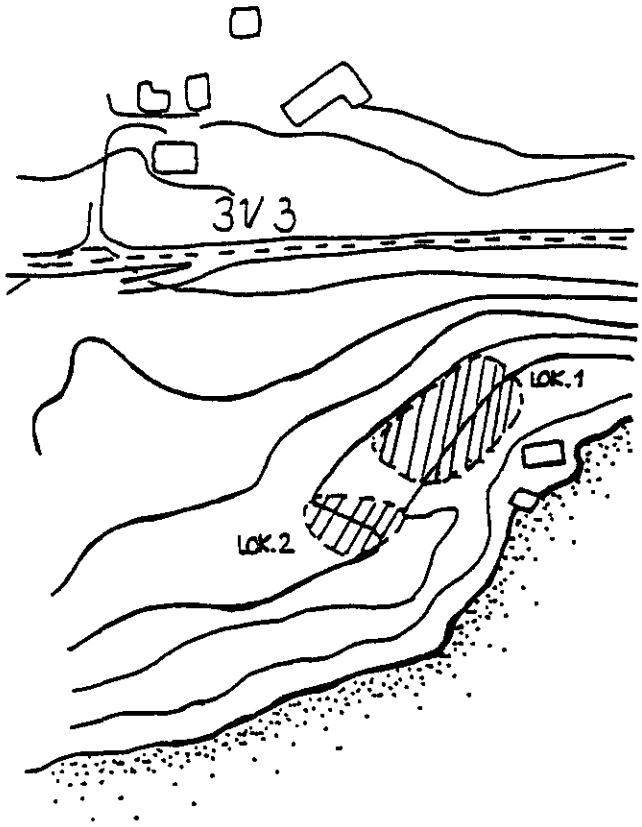


FIG. 2

## 1.3 Undersøkelsesmetode

I hovedsak ble det benyttet gravemaskin til avtorving og fjerning av det øverste åkerlaget. Hvert "sterilt" sandlag ble framrenset med krafse og graveskje, mens de mellomliggende kulturlagene ble fjernet med maskin. Alle håndgravde lag i testrutene ble gravd i 5 cm mekaniske lag, bortsett fra i det østre feltet hvor graden av forstyrrelse ble vurdert til å være høy. I dette feltet ble det gravd i 10 cm sjikt. Jordmassene fra testrutene og strukturene ble såldet i 2 mm netting. Alle hovedlag ble dokumentert i plan.

## 1.4 Generell stratigrafi

For illustrasjon til redegjørelse for den generelle stratigrafien på lokaliteten henvises til profiltegninger 1 (fig. 10) og 2 (fig. 11).

Lag 1: Lys brun åkerjord

Lag 2: Grågrønn leire/fin sand

Lag 3: Brun åkerjord med spredte trekullbiter, enkelte steder mer konsentrert.

**Lagene 1 og 3 kan de fleste steder ikke skilles fra hverandre, i hovedsak er det i profil 1 (fig.10) at disse er tydelig adskilt (av lag 2, som derved ikke er representert andre steder enn i denne profilveggen.**

Lag 4: Leire og lys gulbrun sand.

Lag 5: brun sand- og trekullblanda dyrkningslag, noe organisk. Markert større innhold av trekull enn lag 3.

Lag 6: Lys fin sand.

Lag 7: Svært trekullblanda organisk lag, litt sandblandet. Laget ikke påvist V for 45y, men i profil (N-S 51y)

Lag 8: Grågrønn relativt grov sand/grus.

**Lagene 7 og 8 er kun påvist i forbindelse med testrutene 58x 47-51y (innsamling av MN-materiale) og i profil 2 (fig. 11).**

## 1.5 Feltene

Fig. 3 Lokalitets-skisse

Det ble i alt åpnet 5 felt på lokaliteten. Undersøkelsesgrad varierer; vurdering av de ulike feltenes potensiale underveis i arbeidet dannet grunnlag for prioriteringen.

**Østre felt**

Profiltegn 6 (fig. 15)

Feltet har ikke vært gjenstand for særlig undersøkelse.
Jordlagene var tynnere enn lokalitetens vestlige områder og lagene var i høy grad preget av forstyrrelse som følge av dyrkning. Lengst mot N i det østre feltet, langs bergveggen ble det i løpet av undersøkelsen i oktober 1990 lagt en dreneringsgrøft. Deler av profilveggen i grøfta er dokumentert på profiltegning 6 (fig. 15). Det ble gravd 13 meterruter, i varierende dybde.

**Vestre felt**

Fig. 3 lok.skisse
Plantegninger 1 og 4 (fig. 5 og 9)
Profiltegninger 1 (fig. 10) og 3 (fig. 12).
Foto:

**NB plantegning 4 dekker også de nordligste deler av det sørvestre feltet; d.v.s de deler som ble gravd til samme dybde som i det vestre feltet.**

Det vestre feltet er det best undersøkte feltet, hvor de ulike lagene syntes minst forstyrret og hvor alle hovedlagene er representert. I dette området finnes også hovedvekten av strukturene. En faktor til at de påviste strukturene synes å være konsentrert i dette feltet kan være betinget av undersøkelsesintensiteten. Det skal likevel ikke ses bort fra at denne konsentrasjonen avspeiler en reell situasjon, det vestre feltet ligger på det flateste partiet på lokaliteten.

Som nevnt innledningsvis ble lag 1 og 3 i sin helhet maskinellt fjernet (rester av laget er tilstede på plantegning nr.1) Plantegning 1 viser i hovedsak overflaten av lag 5. Mellom 57-60x 43-57y er det gravd noe dypere (ned på lag 6), struktur V 3 er her delvis framrenset, mens det lengst mot V ligger igjen en "skalk" av lagene 3 og 4 hvor samtidig de yngste stolpehullene; strukturene S 4, S 5, S 8, S 9, S 10, S 11, S 12, og S 13 er påvist. Ved 57x 42y er uttakssted for 14C-prøve som gav datering 2030 +/-80 bp.(Beta-44060). Kalibrert datering mellom 160 BC og 59 AD (et standardavvik), sen førromersk jernalder.

Plantegning 4 (fig. 9) viser situasjonen etter at lag 5 er fjernet; struktur V 3 som delvis var eksponert på plantegning 1 er nå helt framrenset og avtegner seg som en NNØ-SSV orientert "grøft". Ved 54,8x 43y krysses denne av struktur V 26. Trekull fra struktur V 26 ga datering 2190 +/-80 bp (Beta-47381). Kalibrert gir dette en datering mellom 383 og 324 BC (med et standardavvik), førromersk jernalder. Som snitt-tegning av struktur I 49 viser er struktur V 3 yngre enn I 49 (fig. 21) 14 C-datering fra bunnen av I 49 ga datering 2970 +/-50 bp (Beta 47382). Kalibrert 1301-1106 (et standardavvik); overgangen mellom eldre og yngre bronsealder.

Sørøst for struktur V 3 lå struktur G 54, en vid grunn grop fylt av trekull og noe skjørbrent stein. 14 C-prøve av trekull fra bunnsjiktet i denne gropa ga datering 3080 +/-70 bp (Beta-47380). Kalibrert 1428-1266 BC (et standardavvik); eldre bronsealder. Dette sannsynliggjør en grad av samtidighet for strukturene I 49 og G 54.

Struktur S 52 ble i plan tolket som stolpehull, men som snitt-tegning (fig. 22 ) og foto (film 6 foto nr. 14-17, 27-30) viser var den helt steinfylt, slik at den sannsynligvis har hatt en annen funksjon. 14 C-dateringen fra struktur S 52 (Beta-47385; 3110 +/-80, kalibrert 1483-1309 BC) tyder også på samtidighet med strukturene I 49 og G 54.

Lengst mot S på plantegning 4 (54x 42y) er det en grunn trekullfylt grop, struktur G 31. 14 C-datering av trekull fra denne ga datering 2940 +/- 70 bp. (Beta- 47387). Kalibrert 1266-1034 BC; overgangen eldre/yngre bronsealder.

Trekull fra struktur S 40, et stolpehull ga datering 2720 +/- 90 bp. (Beta-47384). Kalibrert datering 986-807 BC; yngre bronsealder.

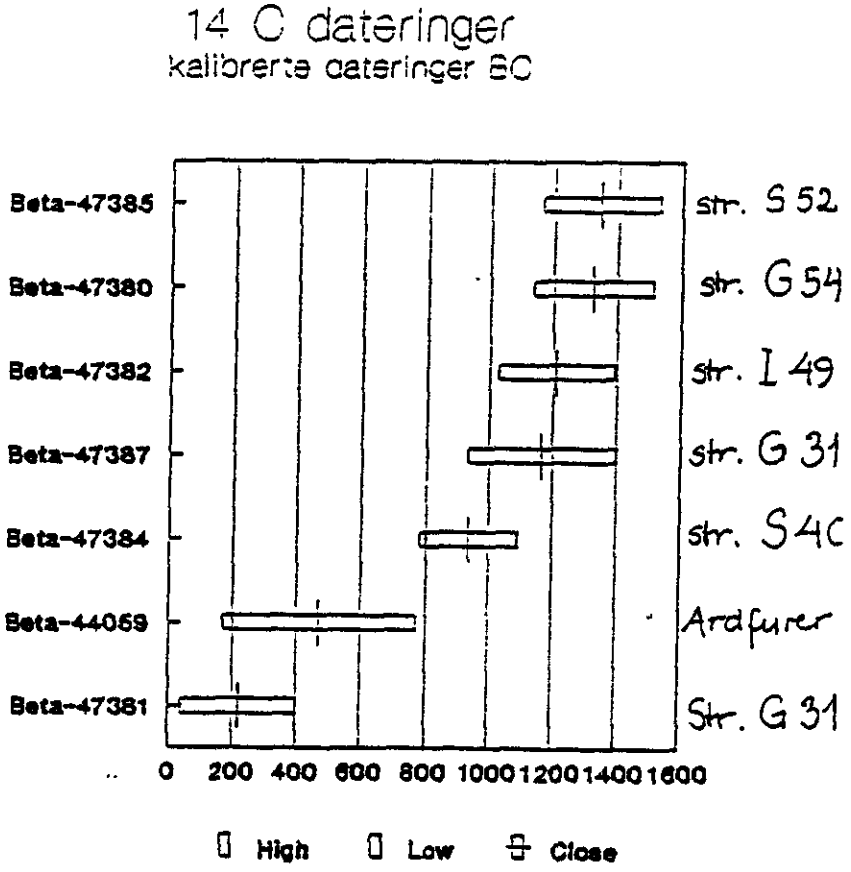


Fra strukturer tilknyttet lag 3 og 5

Fig. 4

**Sørvestre felt**

Lok.skisse fig. 3
Plantegning 2 (fig. 6 og 7) og 4 (fig. 9)
Profil 4 (fig. 13)
Foto

Plantegning 2 (fig. 6 og 7) viser sørvestre felt med lagene 4 og 5. Lengst mot N i feltet er struktur V 14 framrenset. V 14 er en grunn "grøft" hvor fortsettelse inn i det vestre feltet ikke kunne påvises. Som det framgår av plantegning 2 var det en mengde staurhull i dette området. Neste nivå er dokumentert på plantegn 4 (fig. 9) sammen med samme nivå i vestre felt. Profilbenken mellom disse feltene var da fjernet og den delen av sørvestre felt hvor strukturer kunne påvises (N-del av sørvestre felt) er tegnet inn på plantegning 4 og beskrevet under avsnittet **Vestre felt.**

**Sørøstre felt**

Lok.skisse fig. 3
Plantegning 2b (fig.7) og 3 (fig.8)
Profil 4 (fig.13)
Foto

Plantegning 2b (østligste del) viser lag 5 og 6 framrenset. Lengst mot øst går en N-S orientert maskingravd grøft som er gravd ned på steril. V for denne grøfta mellom 47,5 og 50 y er et område med mye stein, tildels store blokker som er tolket som jordfaste. Mellom 54,6x og 45-46,5y er toppen av den delen av G 54 som ligger innenfor dette feltet avdekket. Rettt S for struktur G 54 er struktur I 7, et ildsted. Ildstedet avtegnet seg som et klart markert område med rødbrent sand/aske (snitt-tegning, fig. 19). Plantegning 3 viser feltet etter at lag 5 er fjernet. og lag 6 er totalt eksponert. Fortsettelsen av struktur V 26 som ble påvist i sørvestre felt er eksponert. Struktur G 54 som på gravningsnivået over var noe diffust avgrenset, markererte seg nå som en klart definert trekullfylt grop. Den totale utbredelse av struktur G 54 er inkludert på plantegning 4.

**Sydligste felt**

Det sydligste feltet (fig. 3) ble gravd i okt./nov. 1990. Prøvestikk fra registreringen samt sjakten som var gravd under forundersøkelsen hadde vist at det var funn i skråningen mot S. Det ble totalt gravd 6 kvm. i dette feltet iden hensikt å samle inn funn for datering av boplassen på flaten ovenfor.

**Lag 7, mellom-neolittisk fase i vestre felt**

Lok.skisse (fig.3)
Profil 3 (fig.12)

Fra lag 5 ble det lagt en hjelpeprofil langs 58,5x linjen mellom 42,5y og 51y (profiltegning 3 fig.12 ). Under gravning de aller siste dagene ble oppdaget nok et kulturlag; lag 7. Lag 7 var organisk, svært trekullblanda. For å dokumentere lag 7 ble det gravd testruter inntil hjelpeprofilen; d.v.s de sydlige kvadrantene i rutene 58x 47-51y. Hovedsakelig ble dette gravd i løpet av uken med dokumentasjonsarbeide i juni. Det ble gravd i 10 cm. mekaniske lag, formålet var å samle inn funnmateriale, tegne profil og ta ut trekull fra laget for 14C-datering.

Trekullet ble tatt ut av profilveggen der lag 7 syntes mest uforstyrret av senere aktivitet på stedet (uttakssted merket på fig. 12) Trekullprøvene ga følgende resultat; 4440 +/-90 bp. (Beta-47383) og 4700 +/-80 bp. (Beta-47386). Kalibrert gir dette henholdsvis 3335-2924 BC og 3623-3367 (et standardavvik), dvs eldre deler av mellomneolittisk tid. Funn fra laget støtter en slik datering; fragmenter av skiferspisser med rombisk tverrsnitt, fragment av Vestlandsøks. Dessverre ble laget "oppdaget" etter de botaniske undersøkelser var avsluttet, slik at vegetasjons-situasjonen i området på den tiden lag 7 ble dannet er ukjent.

### 1.6 Ardspor i dreneringsgrøft

Under arbeidet med tildekkingen av de avtorvede feltene i november 1990 var dreneringsgrøftene tørre. I bunnen av den vestre dreneringsgrøften (fig.25) ) ble det påviste mørke furer i den lyse undergrunnen. Furene gikk på kryss og tvers og er tolket som spor etter arding (fig. 23). Ardfurer ble ikke påvist på de andre feltene. Stratigrafisk befinner laget seg på nivå med lag 4, direkte forbindelse er ikke dokumentert. 14C datering av en trekullbit fra en ardfure gav datering 2320 +/- 100 (Beta-44059), som samsvarer med Beta-44060, som også ga datering innenfor førromersk jernalder. Siden trekullbiten lå i en ardfure danner dette et terminus ante quem for ardfurene, de er neppe eldre enn førromersk jernalder, men er sannsynligvis samtidig eller noe yngre enn dateringen tilsier. Under avsnittet om botaniske undersøkelser (pkt.2 ) blir den botaniske konteksten til ardfurene gjort nærmere rede for.

## 2.0 FUNNMATERIALE

Når det gjelder funnenes tilhørighet til ruter og lag henvises til funnkatalog (vedlegg 4)

Gjenstander:

2 flateretusjerte pilespisser av flint m/konkav basis (fig. 23)
1 flateretusjert pilespiss av kvartsitt m/rett basis (fig. 23)
1 flateretusjert bor(?) (fig. 23)
1 skiferspiss m/rombisk tvsn. (i to deler) (fig.24)
7 fragment av skiferspisser
1 fragment "skiferspiss" av labradoritt
3 skiferspiss-emne
3 slipte skiferspiss-emner
1 skiferbit m/dekor ?
1 emne til skiferkniv
4 fragm. av firesidig bergartsøks
1 fragm av vestlandsøks
1 fragment av bergartsøks
2 emner bergartsøks (hvorav 1 delvis slipt)
17 fragm av slipeplater av sandstein
1 rund stein
2 skraper av flint
1 skraper av kvartsitt
2 knakkesteiner/amboltsteiner
1 bipolar kjerne av kvartsitt
1 uregelmessig kjerne av kvartsitt
3 ret. avslag av kvartsitt
3 retusjerte avslag av flint
1 ret. avslag av kvarts

1 avslag av overflateret. gjenstand
1 avslag av ret. kvartsittgjenstand
1 kvartsittbit m/mul. bruksspor
3 asbestfliser
1 fragment av konisk kjerne (vannrullet)

Avslag:

835 av kvarts, 758 av kvartsitt, 210 av kvarts/kvartsitt, 145 små avslag av kvartsitt(flateretusjeringsflis ?), 34 samme type av flint, 58 avslag av flint, 36 av bergart, 3 av mylonitt, 3 av bergkrystall, 4 skiferbiter.

Fig. 23 Gjenstander fra SN/BA-faser

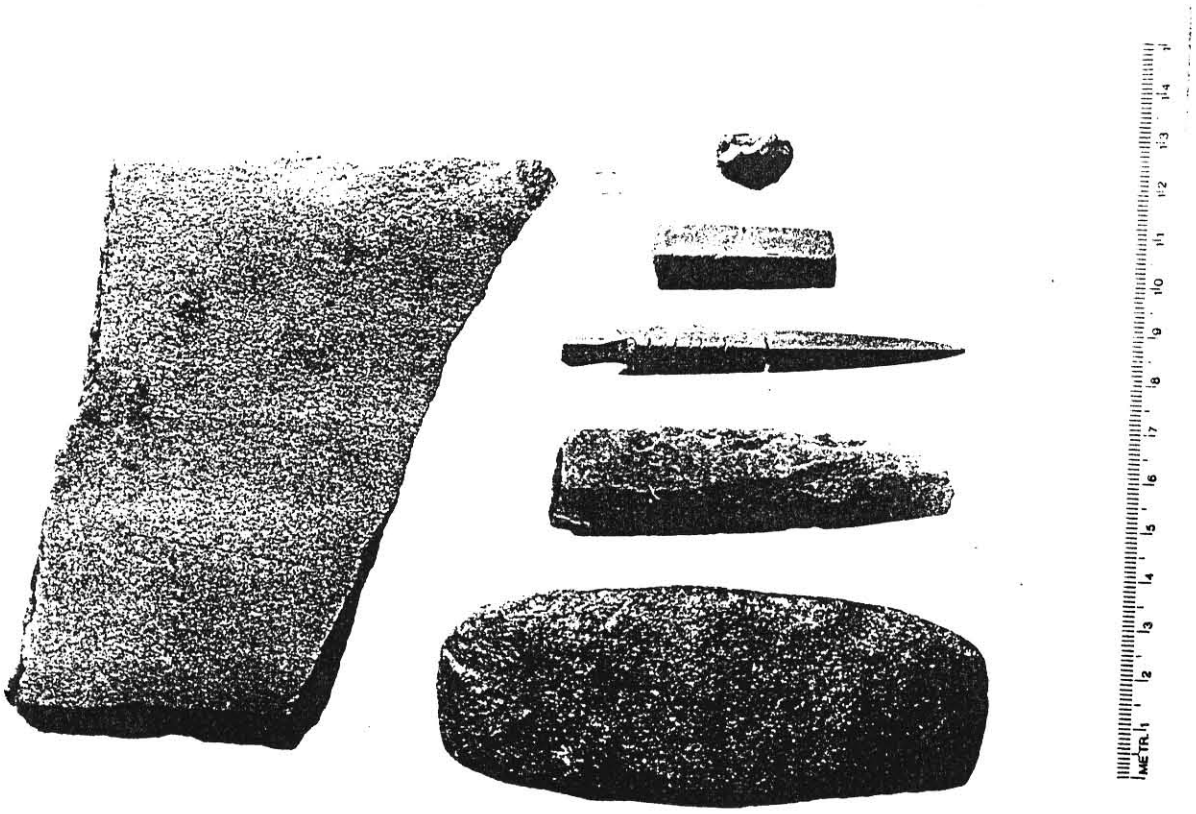

**Fig. 24 Gjenstander fra mellomneolitikum**

## 3.0 BOTANISKE UNDERSØKELSER

Kari Loe Hjelle fra Botanisk Institutt, UiB utførte to dagsverk i felt for innsamling av materiale for pollenanalyse. Nedenfor vil hovedtrekkene i vegetasjonsutviklingen bli referert, for en mer spesifikk botanisk redegjørelse vises det til Hjelles rapport (vedlegg 3).

### 3.1 Pollenanalyse, hovedtrekk.

Pollendiagrammet er basert på prøveuttak fra profil 1 (fig. 10), hvor spektrene er avmerket med x.

De nederste deler av lag 5 inneholder høye verdier av treslagspollen med innslag av pollen fra bygg. Hjelle tolker dette som rydding av skog og dyrking i den opprinnelige skogsjorden (Hjelle s.3). Det er også indikajoner på engvegetasjon eller åkerugress. I den øverste delen av lag 5 er treslagspollen gått merkbart

tilbake mens innslaget av pollen fra gress og urter har økt. Bygg er representert i alle spekter. "Forekomsten av korn og åkerugress i den øvre delen av lag 5 tyder på at laget representerer åkerjord eller at avstanden til åker må være svært kort" (Ibid s.3). For lag 5 konkluderes med at det er det opprinnelige polleninnhold som registreres i den nederste delen av lag 5, mens pollen-innholdet i de øvre delene av laget er et bilde på den samtidige vegetasjonen; "denne var i sterk grad et resultat av jordbruksvirksomhet...".

Bunnspektret fra lag 3 er tatt fra den første avsetningen over leirelaget (lag 4); or har spesielt høye verdier og korn er ikke representert. Det kan indikere etableringen av oreskog på på stedet, eller tilførsel av jord fra område dominert av or.
Neste spekter har de samme hovestrekkene, men gress har en noe høyere prosent. Trekullstøvet indikerer menneskelig aktivitet, til tross for få indikasjoner på kulturbetinget vegetasjon.
"Det er ikke spor etter dyrking lokalt på stedet. Dette utelukker imidlertid ikke åkerdrift i området" (ibid: 3.2.3 s.4). I det øverste nivået av lag tre er det pollen fra treslag, engplanter, samt kornpollen; nå også havre i tillegg til bygg... " Igjen har en positive indikasjoner på åker lokalt på stedet, men i motsetning til tidligere synes havre nå å ha vært minst like viktig som bygg" (ibid: 3.2.3 s.4).

### 3.2 Pollenresultater fra ardfurene

Resultatene av pollenanalysen fra ardfurene stemmer ikke med den stratigrafiske tolkningen av ardfurene (som forøvrig støttes av 14C-dateringen. Mens ardfurene stratigrafisk tolkes som avsatt fra bunnen av lag 3, viser polleninnholdet størst likheter med øvre del av lag 5 (Hjelle 3.2.2 s.3) Nå er 14C-dateringen noe eldre enn den andre 14C-dateringen fra struktur tilhørende lag 3 (Beta-44060). Det kan derfor ikke ses bort fra at en mellomliggende fase er representert gjennom ardfurene og ikke oppfanget andre steder på lokaliteten.

### 3.3 Makrofossiler

Makrofossilanalyser (av innhold fra strukturene **I 49, S 52, G 54,** og **S 40**) ga negative resultater for påvisning av korn som ble spesielt lett etter. Frø av bringebær er påvist i 4 av 5 prøver (Hjelle 3.3.5 s. 5)
Prøvene var svært forkullet.

## 4.0 OPPSUMMERING LOK. 1

En vurdering av kombinasjonen mellom stratigrafiske tolkninger, 14-dateringer, pollenanalyser og funnmateriale danner grunnlag for følgende slutninger om de ulike faser på lokaliteten.

**Mellomneolittisk fase**

Fasen er datert på grunnlag av gjenstandsmateriale (skiferspisser og vestlands-øks) samt 14 C-dateringer fra kulturlaget. Laget er påvist i det dårligst undersøkte feltet, østre felt, gjennom gjenstandsfunn. Laget er i vestre felt ikke påvist V for 45y. I tillegg er laget påvist i sydligste felt, her er det i hovedsak råstoff, en grågrønn kvartsitt, som viser store likheter med funn fra lag 7 i vestre felt.
Lag 7 på profil 2 (fig. 11) viser at laget fortsetter ned skråningen mot S. Det er ikke foretatt pollenanalyser fra laget.

**Sein-neolittisk fase**

Tolkningen av bruk av området i sein-neolittisk tid er helt og holdent basert på tilstedeværelse av pilespisser som typologisk sett hører til perioden (se pkt. disk. av materialet fra sydligste felt). Årsaken til at ikke denne fasen har ført til påviste lagavsetninger kan ha med lokalitetens funksjon å gjøre. Samtidig må det understrekes at få lokaliteter fra sein-neolittisk tid i Vest-Norge er undersøkt (Johnson 1993:79), slik at "boplass-karakteren" fortsatt er noe diffus. En svale gjør som kjent ingen sommer, og noen få pilespisser kan alene ikke danne noe "sikkert" grunnlag for å hevde bruk i SN. Jeg velger likevel å holde muligheten åpen for bruk av stedet i denne perioden.

**Bronsealder-fase**

Her er det i første rekke 14C-dateringen som danner grunnlag for dateringen. Som det framgår av den grafiske framstillingen av 14C-dateringene fra lagene 3 og 5 indikeres kontinuitet i bruk av stedet. 4 av 14C-dateringene ligger innenfor eldre bronsealder (fig. 4) mens 1 gir datering til yngre bronsealder. Det er samsvar mellom dateringene og den stratigrafiske tilhørigheten til strukturene. Pollenanalysen indikerer at korndyrkning på stedet tok til i eldre bronsealder (med forbehold, siden det ikke er utført botaniske undersøkelser av MN-laget). Trekull fra 1 struktur, S 40, har gitt datering til yngre bronsealder.

**Førromersk jernalder**

Også her er 14C-dateringene det daterende element. Ardfurene, og to groper er strukturer datert til denne perioden. Prøven fra ardfurene kan synes å være noe eldre enn de to andre dateringene (én går så vidt inn i romertid) og kan representere en fase som ikke er påvist ellers på lokaliteten.

**Generelle betraktninger**

Det er høy grad av kontinuitet i bruken av området. En av forutsetningene er den lune sørvendte beliggenheten, sammen med gode havneforhold. I nyere tid har stedet ry på seg for å være en god lakseplass. En lokal informant kom også med opplysningen "ingen steder sto kornstaurene så tett som i Engebøvika".

# III LOK.2 ENGEBØ

## 1.1 LOKALITETSBESKRIVELSE

Lok. 2 Engebø ligger i ei skråning lengst vest i Engebøvika (fig. ). Funnområdet er avgrenset mot V, Ø og S: Massen i de funnførende lag var gråsvart, lite minerogent og med store mengder trekull. . Lokaliteten er tolket som møddingg, ei evt. tilhørende boflate kunne ikke påvises ved sjakting på flata ovenfor. Det skal ikke ses bort fra at det er selve boplasssen som er seget ut i skråningen, som følge av jordbruksaktivitet.

## 1.2 UNDERSØKELSESMETODE

Det ble i alt gravd 16 kvm, i enheter på en kvm. med lagdybde 10 cm. I fire av rutene ble det gravd ytterligere et 10 cm lag (lag 2). I funnmaterialet kan det skilles ut minst to forhistoriske perioder. I hovedsak synes materialet å være av mesolittisk karakter, mens asbestblandet keramikk og en flateretusjert pilespiss viser aktivitet også i bronsealder.

## 2.0 FUNNMATERIALE

Når det gjelder funnenes fordeling på ruter og lag henvises til funnkatalog (vedlegg 5).

3 flekker/fragm. av flint
22 mikroflekker/fragm. av flint
4 smalflekker av flint
3 mikroflekker/frg. av mylonitt
1 smalflekke/fragm. av mylonitt
22 mikroflekker/frgm. av kvarts
5 smalflekker/fragm. av kvarts
7 mikroflekker/fragm. av kvartsitt/kalsedon
1 smalflekke/frgm. av annen bergart
1 mikroflekke/frgm. av annen bergart
97 kleberbiter
39 slipeplatefragment
4 retusjerte avslag av kvartsitt/kalsedon
10 retusjerte avslag av kvarts
2 retusjerte avslag av flint
1 ryggflekkefragm. av kvarts
7 fiskesøkker av kleber
4 bor
7 emner/frgm. bergartsøkser
1 avslag av slipt bergartsøks
2 bipolare kjerner av mylonitt
3 bipolare kjerner av flint
4 bipolare kjerner av kvartsitt/kalsedon
28 bipolare kjerner av kvarts
3 bipolare kjerner av bergart
1 "annen" kjerne av kvarts
1 konisk mikroflekkekjerne av flint
1 flersidig kjerne av flint
4 skrapere av flint
1 skraper av kvarts
1 skiferkniv/emne

2 midtfragment av skiferkniver/dolker (ulikt materiale)
1 avslag av slipt gjenstand av bergart
1 avslag slipt bergartsøks
9 avslag med knusespor av kvarts
1 avslag m/knusespor av kvartsitt/kalsedon
2 avslag m/nusespor av flint
1 avslag med knusespor av mylonitt
1 avslag m/knisespor av annen bergart
2 asbestfliser
2 pimpstein (hvorav en med mulig slipefure)
1 frgm av malestein
2 mikroflekker av flint med retusj
6 knakkesteiner
2 rullesteiner m/huggmerker
1 stk. bergart m/knusemerker
2 frgm. av perle av brent leire
1 oddfragment av flateretusjert gjenstand
1 bergkrystall brukt som mikroflekkekjerne
1 "groover" av flint
3 leirkarskår; asbestblandet (spannformet ?)
10 bergkrystaller

**Avslag**

Totalt 6779 avslag, hvorav 795 av flint (12%), 4869 av kvarts (72%), 95 av kvartsitt/kalsedon (1%), 545 av mylonitt (8%), 474 av bergart (7%), og 1 av grønnstein/diabas.

**Særtrekk ved funnmaterialet**

Funnmaterialet er ikke bearbeidet. Det må likevel pekes på interessante trekk ved materialet. Særlig er det de 7 emnene til bergartsøkser (sannsynligvis i hovedsak diabas) samt den relativt store mengden slipeplater som danner grunnlag for tolkning av en type aktivitet på stedet. Avstanden til Diabasbruddet på Stakaneset er kort, det kan tenkes at økse-emner er medbrakt fra "verksted-lokaliteter nærmere bruddet, for så å få sin endelige utforming på stedet. Det ble gjort funn av kun 1 avslag av diabas på lok. 2 Engebø, hvilket skulle støtte en slik tolkning.

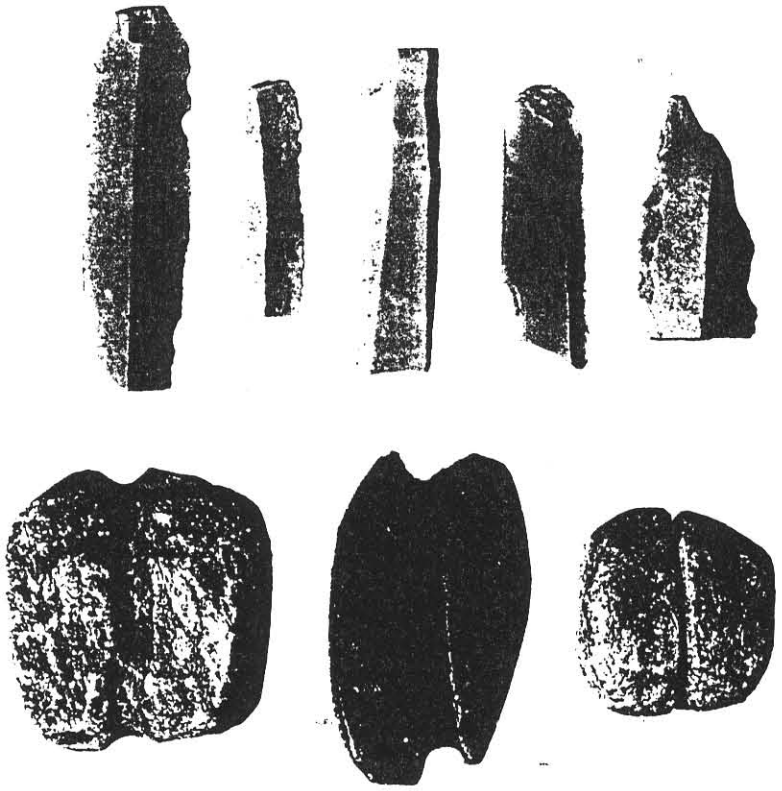

Fig. 25 Gjenstander fra Lok.2 Engebø

## STRUKTURER

Følgende bokstavkoder er anvendt i numreringen av strukturene:

I: ildsted
S: stolpehull
V: grøft/veggrille
G: grop

Strukturene ble gitt nummer fortløpende; bokstavkoden angir strukturtypen. Underveis falt strukturer bort, d.v.s de ble gitt strukturnummer, men viste seg underveis i undersøkelsen å ikke være reelle strukturer. For å unngå feil ble ikke nummerne brukt på nytt.
Det som i særlig grad bidro til at mange elementer opprinnelig ble vurdert som forhistoriske strukturer var i særlig grad det som etter hvert ble tolket som spor etter kornstaur. Enkelte slike er gitt strukturnr. på plantegning, i slike tilfeller går det fram av struktur-oversikten at disse er tolket som staurhull.

S 2
Stolpehull, påvist i lag 5, kantsatte steiner,
koord. 59,22x 48,75y.
Plantegn.1 Vestre felt
Niv. topp 10,43

V 3
N-S orientert grøft i lag 6.
koord. 56,8x 43-44y
Pantegn. 1 vestre felt
Niv. topp 10,34

S 4
stolpehull påvist i lag 3
koord. 57,55 - 58,34x 40,8 - 41,7y
plantegn. 1, vestre felt
Niv topp: 10,65 bunn: 10,54

S 5
stolpehull påvist på overgangen mellom lag 3 og 4
koord. 57,25x 41,5y
plantegning nr. 1

I 7
Ildsted avtegnet seg som rødbrent sand i toppen av lag 5.
koord.52,5 - 53,5x 45,7 - 46,2y
Niv. topp 9,84 m
Plantegn. 2, snitt fig. 19
Som det framgår av snitt-tegning,lå den rødbrente sanda på et opptil 20 cm. tykt svart trekull-lag. På grunnlag av stratigrafien tolkes dette å tilhøre fase 2.

S 9
stolpehull påvist i lag 4, bunn i lag 5.
koord. 59,3x 41,3y.
Plantegn. nr. 1, snitt fig. 19
Niv.: topp: 10.64
Som det framgår av snitt-tegn. kan det synes som om stolpen har vært skråstillt. Tynt trekullsjikt langs kanten.

S 10
stolpehull påvist i lag 4, bunn i lag 5.
koord. 59,8-60x 41,5y
Plantegn. 1, snitt fig. 16
Niv.: topp: 10,76m

S 11
stolpehull påvist i lag 5, bunn i samme lag.
koord. 59,75x 41,8-42,1y
Plantegn. 1, snitt fig 16
Niv: topp: 10,61m

S 12
stolpehull påvist i lag 4.
koord. 59,6x 39y
Plantegning 1 snitt-tegn. fig.16
Niv.: topp: 10.87m

V 14
buet grøft i lag 4.
koord. 55x 37,7-40,3y
Plantegn. 1 B
Niv. 10,46m

S 15
mulig stolpehull, kantsatte stein påvist topp av lag 5
koord. 55x 43y.
Plantegn. 1 B

S 16
stolpehull i lag 3.
koord. 57x 40y
plantegn. 1 snitt-tegn. fig. 16
Niv.: topp: 10,65
Mulig staurhull.

S 17
Stolpehull i lag 3
koord. 57x 41y
Plantegn. 1 ikke snittet.
Niv.: topp: 10,63m
sannsynligvis staurhull.

S 18
stolpehull med kantsatte stein i lag 5
koord. 60x 45,6y
Plantegn. 1, ikke snittet.

S 20
Stolpehull i lag 4.
koord. 54x 40y
Plantegn. 1 B ikke snittet.

S 21
Stolpehull påvist i lag 3/5 bunn i lag 6.
koord. 41x 44y
Plantegn. 1

I 22
Ildsted i lag 3/5 i østre felt.
koord. 52x i N-S maskingravd grøft (50-51y)
Snitt-tegn fig. 20

S 24
2 stolpehull i lag 6.
koord. 53x 45y
Plantegn.3 Snitt-tegn. fig. 17
Niv. topp: 9,98

V 26
VNV-ØSØ orientert grøft gjennom SV- og SØ-felt i lag 6.
koord. 54-56,7x 39-46y
Plantegn. 3 og 4
Strukturen krysses ved ca 55x og 43y av V 3, også dette en grøft. V 3 og V 26 ligger tilnærmet vinkelrett på hverandre.

G 31
Trekullfylt grop i SV felt.
koord. 54x 42y
Plantegn. 4

S 36
Stolpehull påvist i lag 6.
koord. 57,2x 41,8y
Plantegn. 4, snitt-tegn. 18

S 39
Stolpehull påvist i lag 6.
koord. 56,3x 40,4y
Plantegn. 4, snitt-tegn. fig. 18

S 40
Stolpehull påvist i lag 6.
koord. 57,6x 40,4y
Plantegn. 4 snitt-tegn. fig. 18

S 41
Stolpehull i lag 6.
koord. 57.7x 49,6y
Plantegn. 4, ikke snittet.

S 42 og S 43 er staurhull

S 44
Avtegnet seg som tre stolpehull i lag 6. Under snitting viste det ene seg å bare være en kullflekk.
koord. 58,4x 40y
Plantegn. 4, snitt tegn. fig. 18

S 45
Stolpehull påvist i lag 6.
Langs kanten leire (?) + bark ?.
koord. 58,3x 40,7y
Plantegn. 4, ikke snittet.

S 46
Stolpehull påvist i lag 6.
koord. 59,4x 41y
Plantegn. 4, ikke snittet.
Ellers som S 45.

S 47 er et staurhull

I 49
Ildsted/kullgrop i lag 6.
koord. 56,40x 43,1y
Plantegn. nr. 4, snitt-tegn fig.21
Som det framgår av snitt-tegn skjærer struktur V 3 gjennom dette ildstedet, dette indikerer at struktur V 3 er yngre enn struktur I 49.

S 52
Stein og trekullfylt grop, gitt bokstavkode for stolpehull, men er struktur av ukjent funksjon. Påvist i lag 6.
koord. 57,5x 46y.
Plantegn. 4, snitt-tegn fig. 22

G 54
Ujevnt markert trekullfylt grop i lag 6.
koord. 55-57x 44-46,5y
Plantegn.4

## FOTOLISTE

Film 1 er fra forundersøkelsen i 1990, film 2 og 3 fra den avbrutte undersøkelsen oktober 1990.

| Film nr. | Foto nr. | Motiv |
|---|---|---|
| 1 | 9,10 | Lok. 2 Engebø mot SV |
| | 11,12 | " " mot V |
| | 13,14 | Lok. 1 og 2. Lok. 1 i forgrunnen |
| | 15,16 | 56x 52y, krans med kantsatt stein. |
| | 17-20 | Ildsted i 52y sjakt |
| | 22,23 | Vestre felt. |
| 2 | 9-12 | Lok. 2 mot V |
| | 13-15 | Lok.1 og 2, lok 2 i forgrunnen,mot Ø |
| | 16,17 | 56x 52y, krans med kantsatte stein. |
| | 18-20 | Ildsted I i 52y-sjakt |
| | 21,22 | |
| | 23-29 | Ildsted 1 i 52y-sjakt |
| | 30-36 | Nordvestre felt |
| 3 | 1-3 | Lok.1 og 2 mot S. |
| | 4-16 | Ardfurer i dreneringsgrøft |
| | 26-30 | Profil dreneringsgrøft |
| | 31 | Nordvestre felt med strukturer |
| | 32,33 | Profil i dreneringsgrøft |
| | 34 | Nederste del av profil + ardfurer |
| | 35-37 | Ardfurer i dreneringsgrøft |
| 4 | 9 | Maskingraving |
| | 11-13 | Struktur V 14 |
| | 14,15 | Stolpehull S 2 |
| | 16,17 | Stolpehull S 19 |
| | 18 | Struktur V 3 |
| | 19-24 | Struktur I 7 (ildsted) |
| | 25-27 | Profil ca 58x 35-37y |
| | 28-30 | Snitt struktur I 22 |
| | 31,32 | Struktur I 7 snitt |
| 5 | 1-3 | Struktur V 26 og S 24, 54-56x 44-48y |
| | 4-6 | Steinkonsentrasjon 51-52x 45-47y |
| | 7-9 | Struktur S 21 etter fjerning av masse |
| | 10-12 | Gjenstander |
| | 14-16 | Omvisning på feltet |
| | 26-32 | Ardfurer i dreneringsgrøft |
| | 33-36 | Mulige ardfurer i Ø-V orientert grøft |
| | 36 B | Strukturene V 3 og V 26 |

| | | |
|---|---|---|
| 6 | 1-4 | Struktur I 49, plan |
| | 5-8 | Struktur S 44 |
| | 9-13 | Struktur G 54, trekullfylt grop |
| | 14-17 | Stein- og trekullfylt grop, S 52,snitt |
| | 19-24 | Struktur I 49, snitt |
| | 25 | Struktur I 49 i forgrunnen, mot NØ |
| | 26 | lag 7 i testrute |
| | 27-30 | Struktur S 52, noe stein fjernet |
| | 31-37 | Struktur I 49, ulike stadier i gravn. |

## 14C DATERINGER

| Internt nr. | Beta-nr. | Kontekst |
|---|---|---|
| E 90-1 | 44059 | Ardfure. |
| E 90-2 | 44060 | Kant av grop i grøft, forunders. Avmerket på plantegn.1 |
| E-91/3 | 47380 | Fra bunnsjikt i struktur G 54. |
| E-91/4 | 47381 | Fra struktur V 26. |
| E-91/5 | 47382 | Fra bunnsjikt i struktur I 49. |
| E-91/6 | 47383 | Fra lag 7, avmerket fig. 12 |
| E-91/7 | 47384 | Fra struktur S 40. |
| E-91/8 | 47385 | Fra struktur S 52. |
| E-91/9 | 47386 | Fra lag 7, avmerket fig.12 |
| E-91/12 | 47387 | Fra struktur G 31. |

# FIGURER

**3, 5 - 22 + 26**

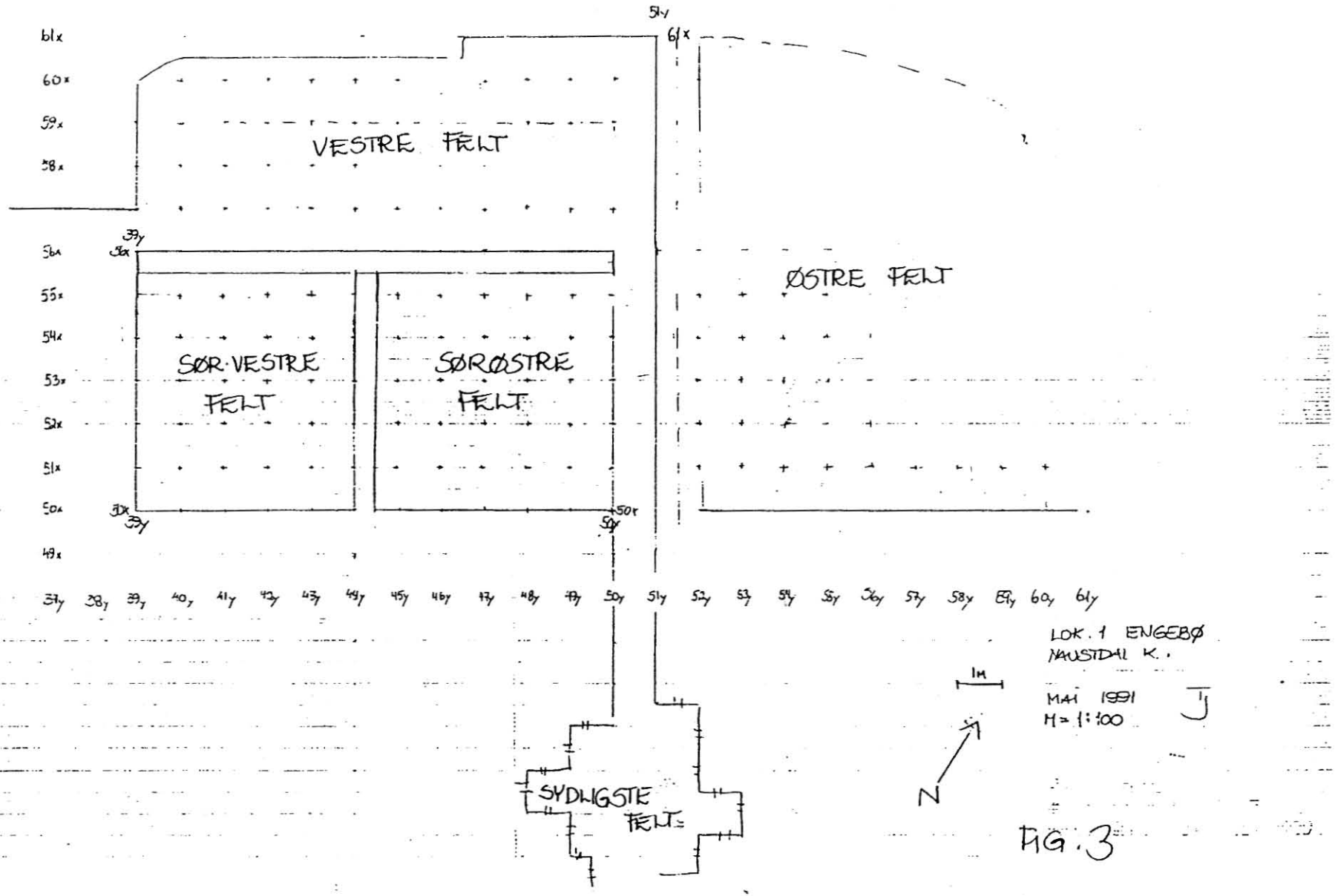
VESTRE FELT
ØSTRE FELT
SØR-VESTRE FELT
SØRØSTRE FELT
SYDLIGSTE FELT
LOK. 1 ENGEBØ NAUSTDAL K.
1M
MAI 1991
M = 1:100
N

FIG. 3

FIG. 5

LOK.1 ENGEBØ
NAUSTDAL K. S.OG FJ.
PLAN 1
LAG : ③④⑤⑥
M = 1:20
11.05.91 Emej.

SIGN:
= KANTSATT STEIN
③ = LAGNR.
[5..] = STRUKTUR NR.
= HESJESTAUR
= LAG-GRENSE
= FELTKANT
= TREKULL

NIVELLEMENTER

| | |
|---|---|
| S13 | 10,84 MOH |
| S12 | 10.87 MOH |
| S10 | 10.76 MOH |
| S9 | 10.64 MOH |
| S11 | 10.61 MOH |
| S8 | 10.72 MOH |
| S16 | 10.65 MOH |
| S17 | 10.63 MOH |
| V3 | 10.34 MOH |
| S2 | SE PLAN |
| S19 | SE PLAN |

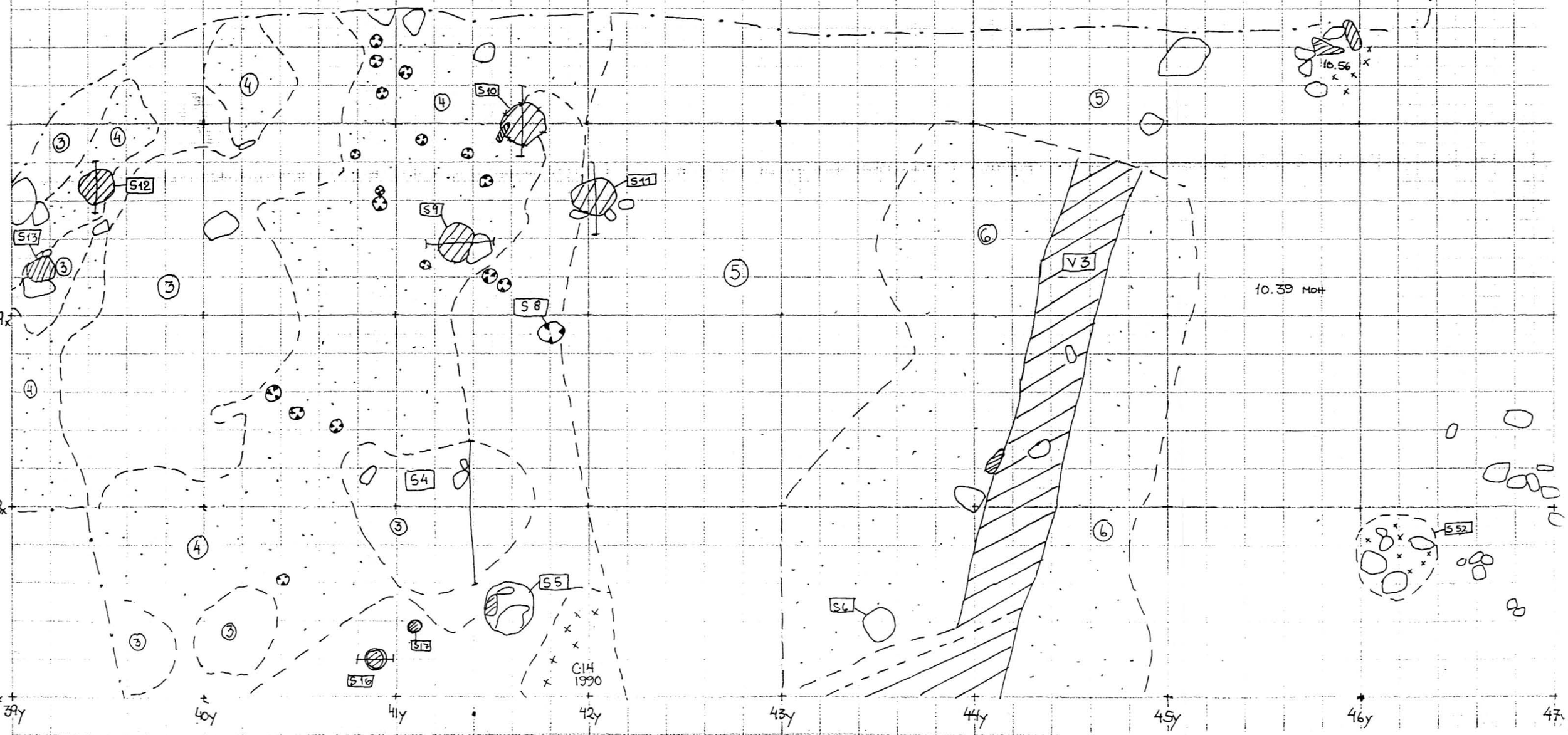

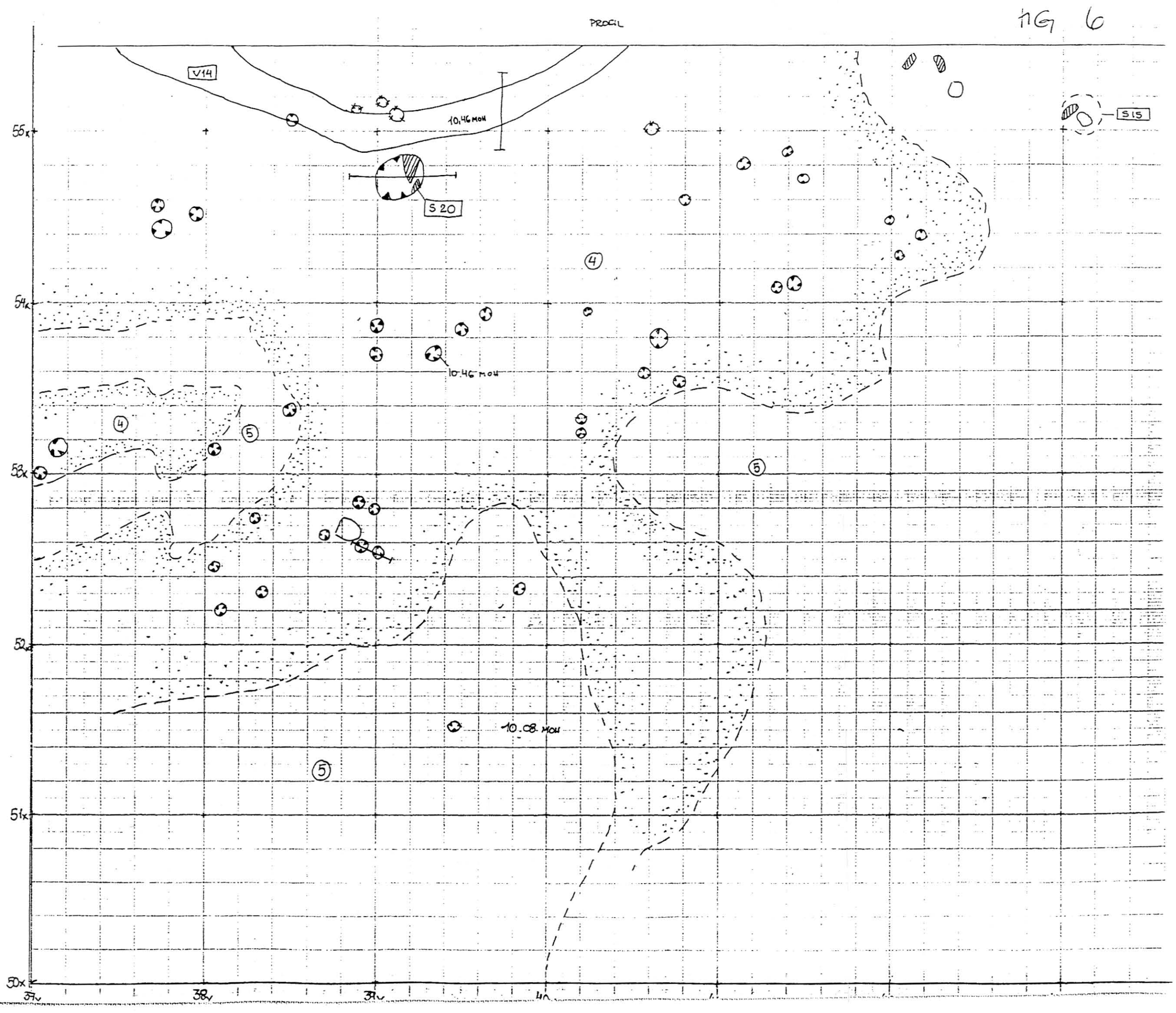
PROFIL
HG 6
V14
10,46 MOH
S 20
S15
10.46 MOH
10.08 MOH
4
5
55x
54x
53x
52x
51x
50x
37y
38y
39y
40

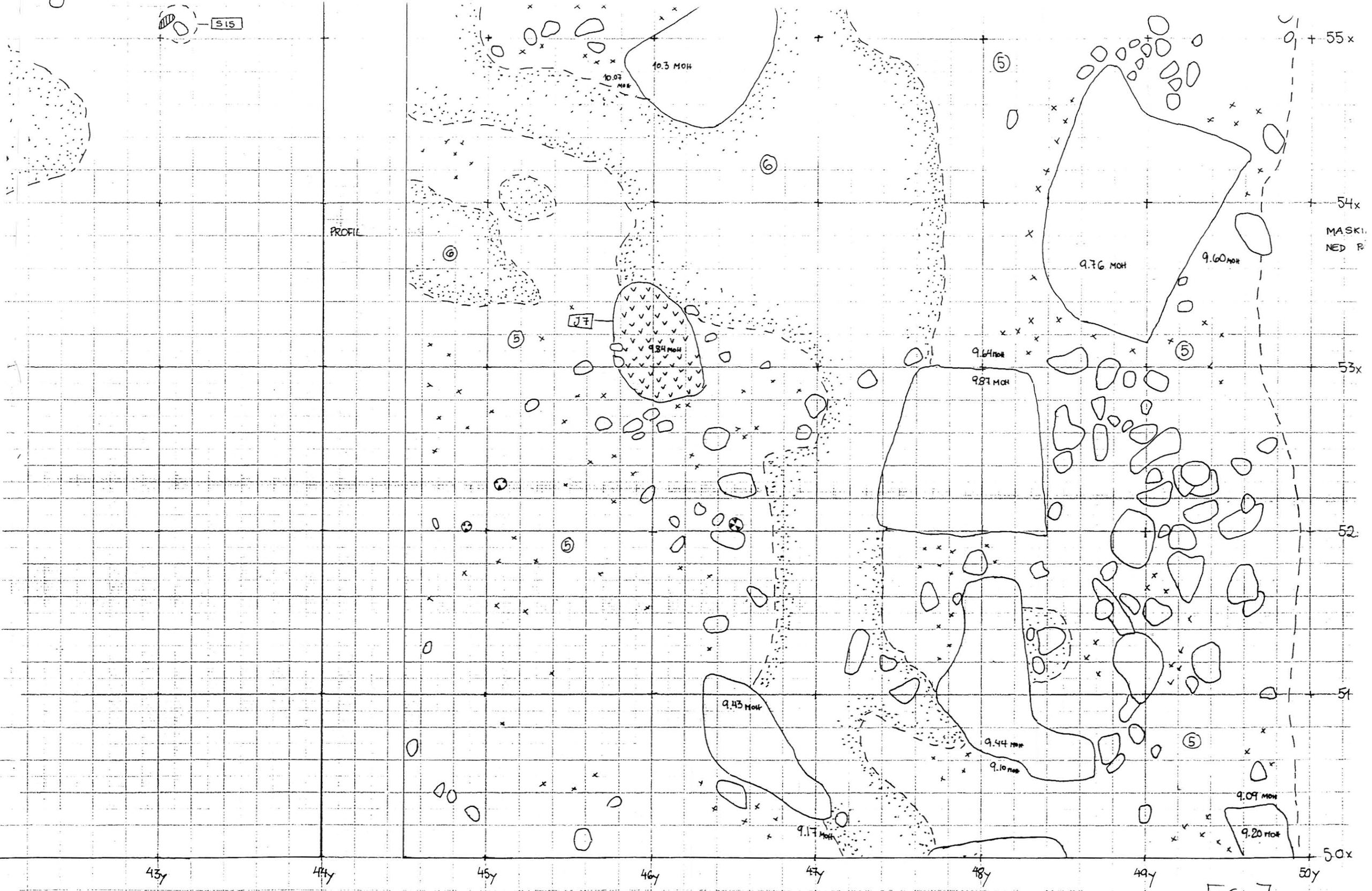


FIG. 7.

SIGN.:
▭ = STRUKTUR.NR
○ = LAG.NR

LAG: ④,⑤,⑥
STRUKTURER; V14, S20 I7

LOK. 1 ENGEBØ
NAUSTDAL K. S.OG FJ.
PLAN 2 b
1:20 Eine j. / T.H

55x

54x

53x

52x

51x

10.08 MOH

S 28

10.05 MOH

V 26

9.98 MOH

S 24

17

SNITT

JORDFAST STEIN

6

JORDFAST STEIN

VV

H

5

1,0 M

LOK. 1 ENGEBØ
NAUSTDAL K. Sogn og Fj.
PLAN 3
MAI 1991 TJ.

FIG. 8

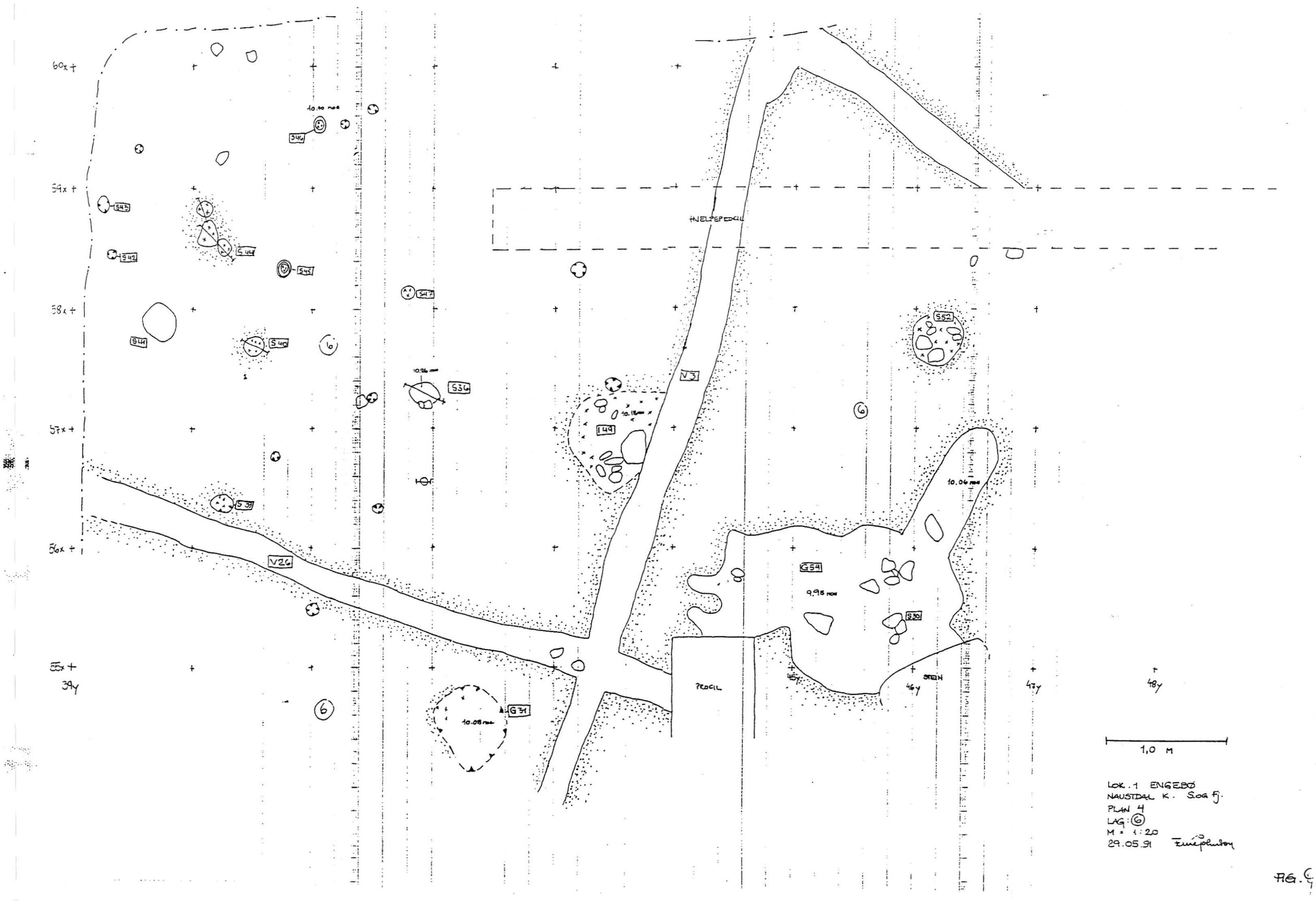
60x
59x
58x
57x
56x
55x
39y
45y
46y
47y
48y
S46
S43
S42
S44
S45
S47
S41
S40
S36
S31
V26
V3
I49
S52
G54
S30
G31
HJELPEPROFIL
PROFIL
STEIN
10.10 mon
10.26 mon
10.18 mon
10.06 mon
9.98 mon
10.08 mon
1,0 M
LOK. 1 ENGEBØ
NAUSTDAL K. S.og Fj.
PLAN 4
LAG: 6
M = 1:20
29.05.91

FIG. 9

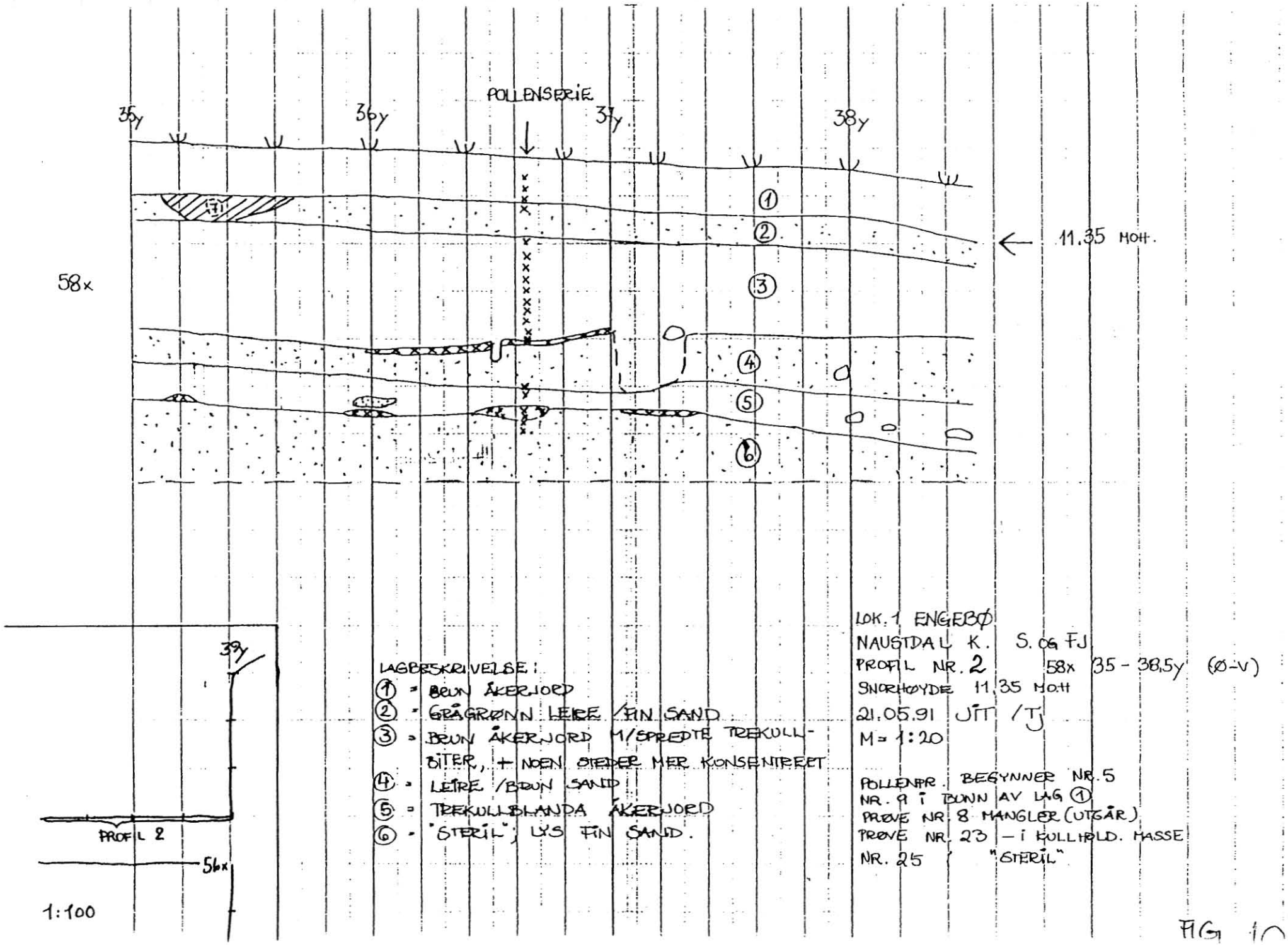


LAGBESKRIVELSE:

① = BRUN ÅKERJORD
② = GRÅGRØNN LEIRE / FIN SAND
③ = BRUN ÅKERJORD M/SPREDTE TREKULL-BITER, + NOEN STEDER MER KONSENTRERT
④ = LEIRE / BRUN SAND
⑤ = TREKULLBLANDA ÅKERJORD
⑥ = "STERIL", LYS FIN SAND.

LOK. 1 ENGEBØ
NAUSTDAL K. S. OG FJ
PROFIL NR. 2 58x 35 - 38.5y (Ø-V)
SNØHØYDE 11.35 moh
21.05.91 JTT / TJ
M = 1:20

POLLENPR. BEGYNNER NR. 5
NR. 9 I BUNN AV LAG ①
PRØVE NR. 8 MANGLER (UTGÅR)
PRØVE NR. 23 – I FULLHOLD. MASSE
NR. 25 " "STERIL"

FIG 10

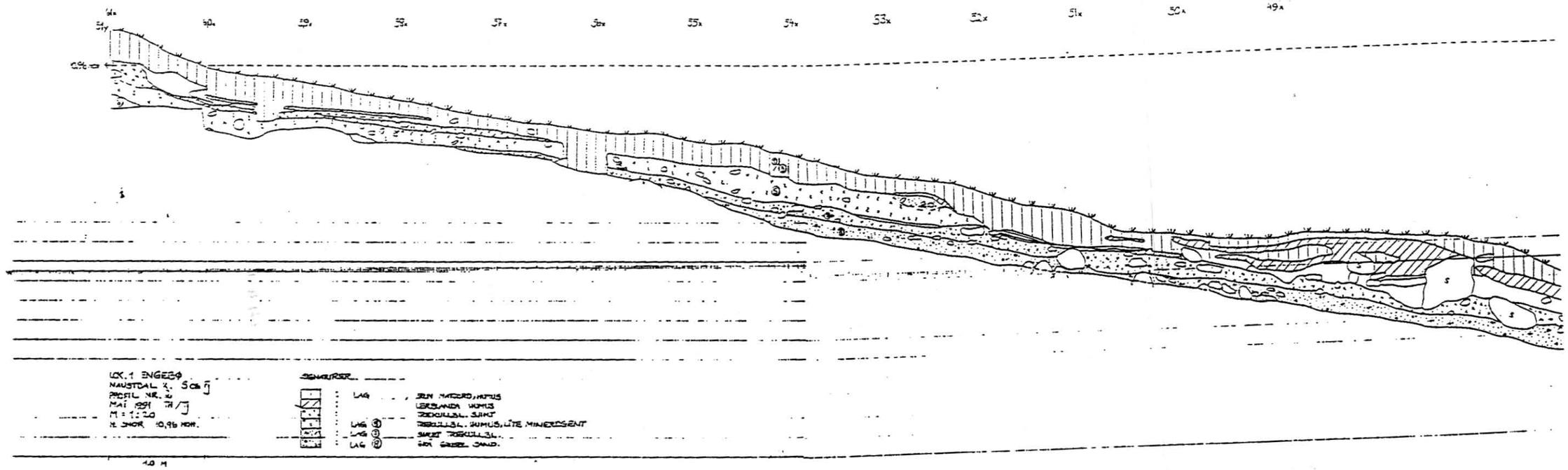

55x
54x
53x
52x
51x
50x
49x
LOK. 1 ENGEBØ
NAUSTDAL K. 5 CG
PROFIL NR. 2
MAI 1991 TH/J
M = 1:20
M. SNOR 10,96 MOH.
SENKURER
LAG
LAG
LAG
LAG
1.0 M


FIG 11

FIG 11

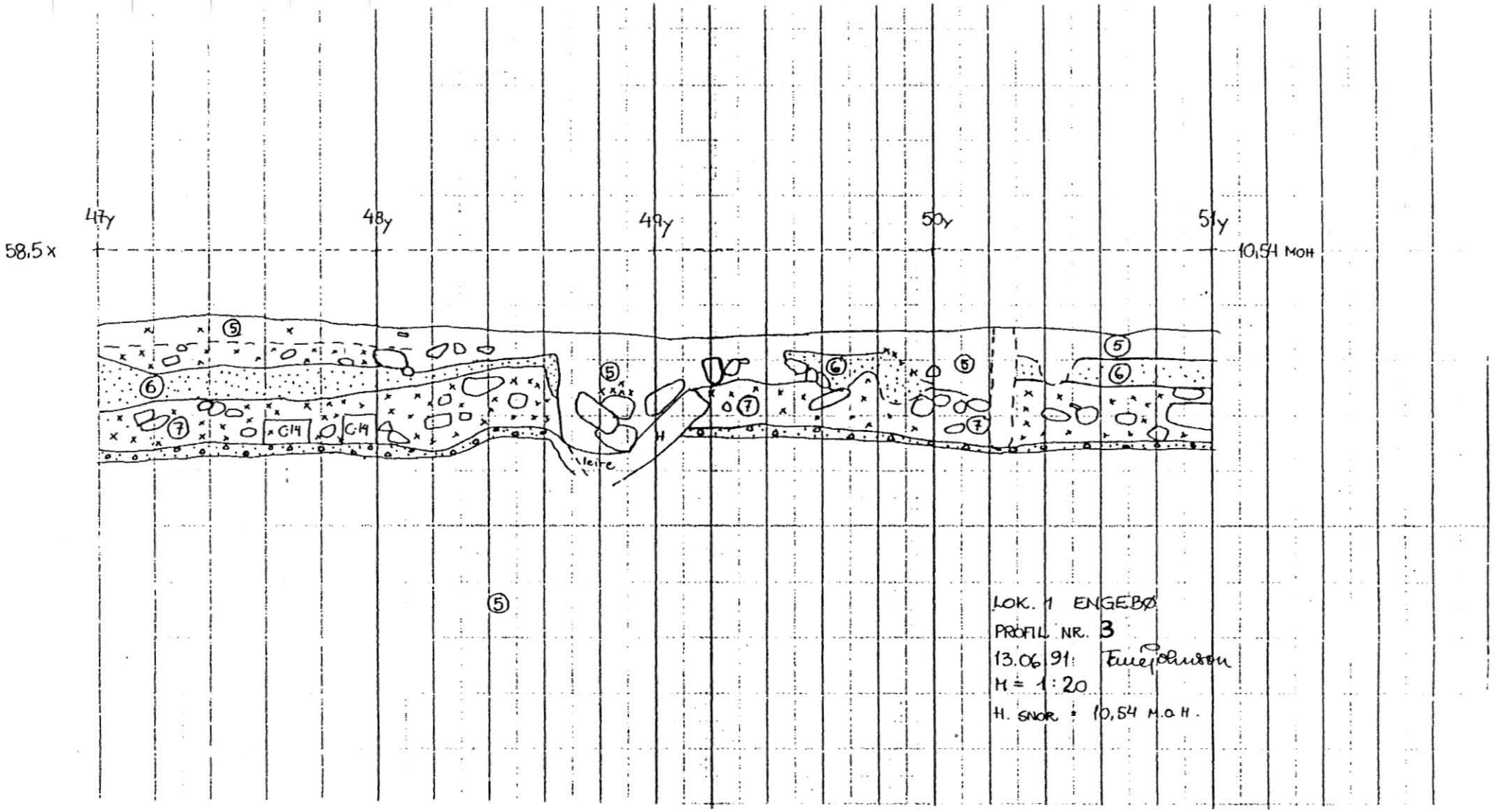
47y
48y
49y
50y
51y
58,5 x
10,54 MOH
⑤
⑥
⑦
C14
C14
leire
H
⑤
LOK. 1 ENGEBØ
PROFIL NR. 3
13.06.91 Eneljohnsen
M = 1:20
H. SNOR = 10,54 M.o.H.

FIG. 12

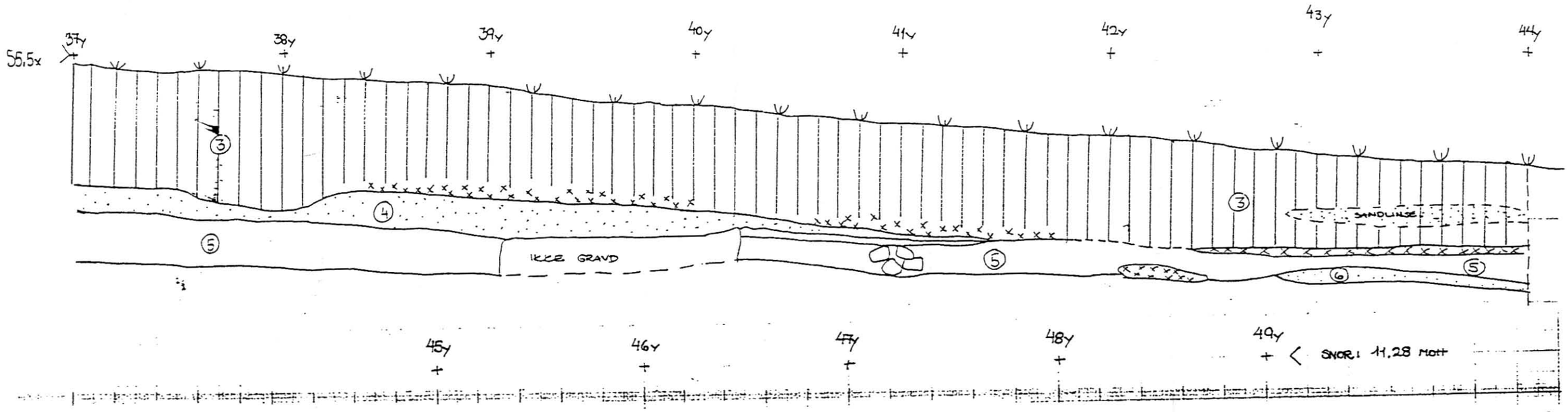


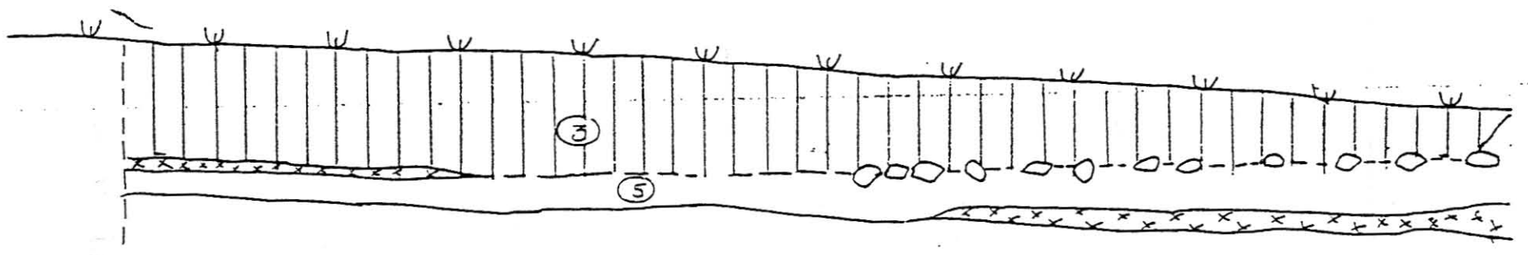


1.0 M

x x = TREKULL

∴ = SAND

LOK. 1 ENGEBØ
NAUSTDAL K. S. OG Fj.
PROFIL 4 Ø–V 55,5x 37 - 49y
M = 1:20
25.05.91 Tuei

Fig. 13

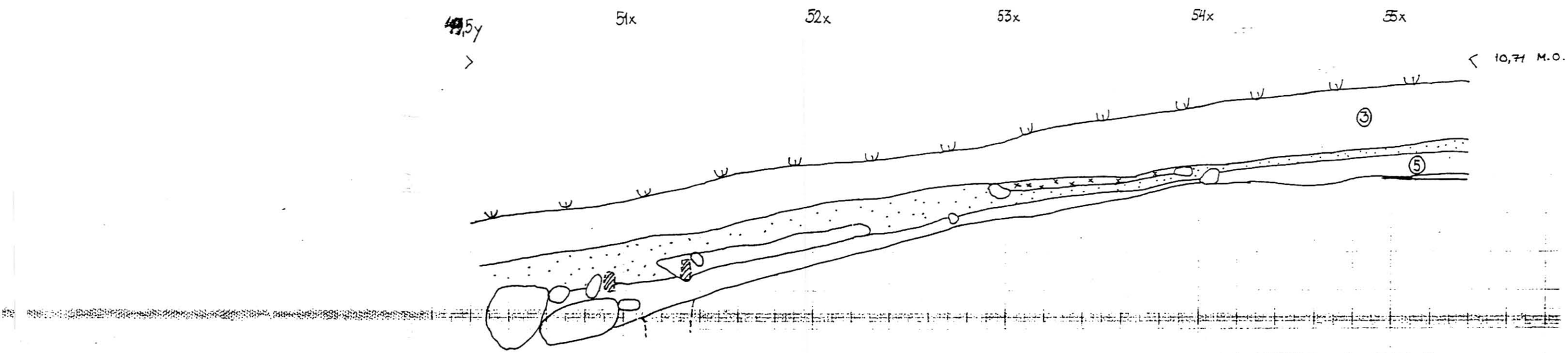


LOK. 1 ENGEBØ, NAUSTDAL K.
PROFIL NR. 5 44,5y 50 – 55,4x N-S
M = 1:20
29.05.91 T.H. /Tj.

1,0 M

Fig. 14

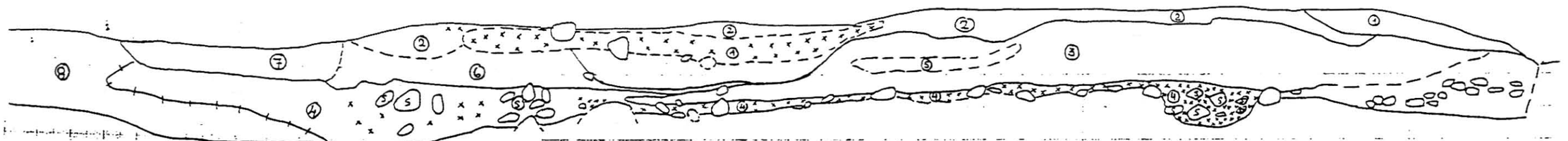

LAGBESKRIVELSE:

① : MØRK TREKULLBL. HUMUS
②/② : MØRK GRÅ SANDBL. HUMUS
③/③ : LYS BRUN TIL GRÅ SANDBL. HUMUS
④/④ : MØRK TREKULLBL. HUMUS M/STEIN (SAMME SOM ⑪ ELLERS I FELTET)
⑤ : MØRK BRUN TIL GRÅSVART HUMUS
⑥/⑥ : BRUNGRÅ TREKULL- OG GRUSBL. HUMUS
⑦/⑦ : LYS GRÅ LEIRE
⑧ : RØD, FINKORNET SAND M/NOE HUMUS.

= USIKKER LAGGRENSE
x = TREKULL
S = SKJØRBR. STEIN

1,0 M

LOK. 1 ENGEBØ
NAUSTDAL K. S. OG FJ.
6.5.91 TH/TJ
M = 1:20

PROFIL NR. 6

FIG NR. 15

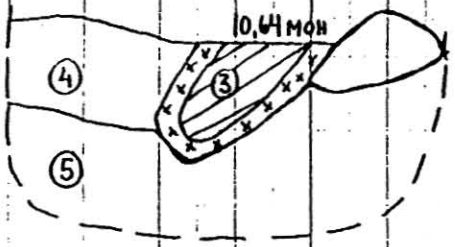


S 9

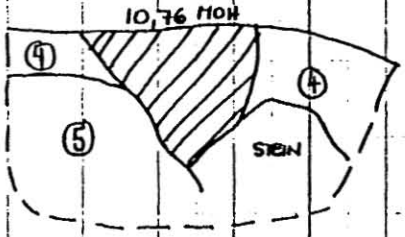


S 10

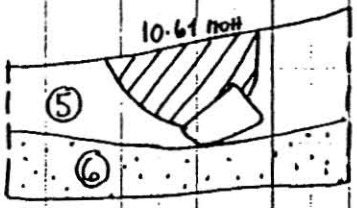


S 11

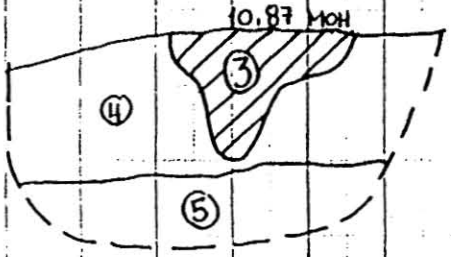


S 12

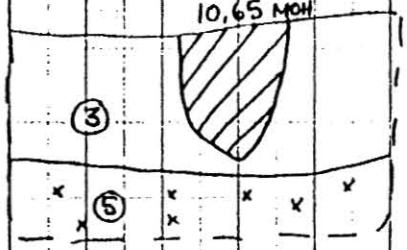


S 16

LOK 1 ENGEBØ
NAUSTDAL K. S. OG. FJ.
SNITT STOLPEHULL PLAN 1
M = 1:10
MAI 1991 TJ.

Tj 16

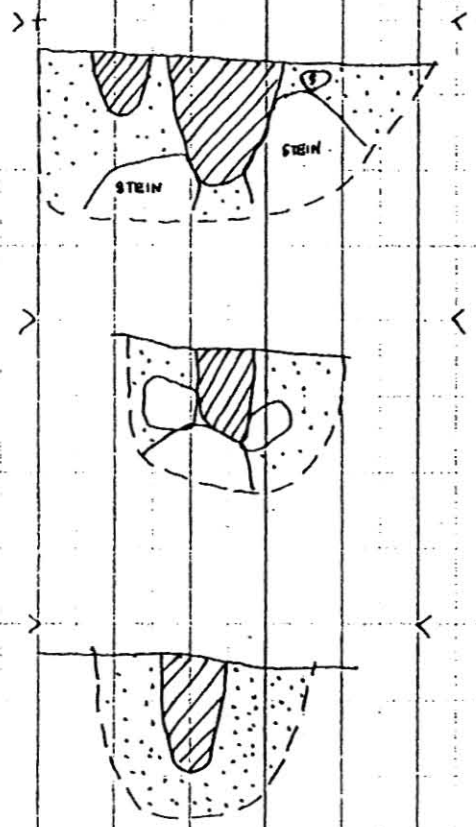


S 24
23.05.91 Tj
M = 1:10

= lag ③-⑤
= steril

S 27

S 28/2

LOK 1 ENGEBØ
NAUSTDAL K. S og Fj.
SNITT STOLPEHULL.

fig 17

S36

x x = TREKULL

|||| = GRÅ LEIRE

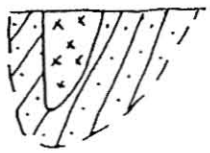

S44 /2

S39

S40

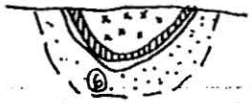

0,5 M

LOK. 1 ENGEBØ
NAUSTDAL K. Sog Fj.
SNITT STOLPEHULL
29.05.91 TJ
M = 1:10

S44

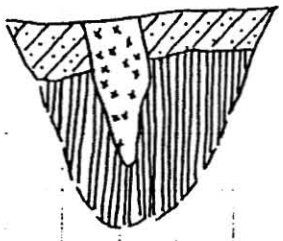

FIG. 9

Fig. 18

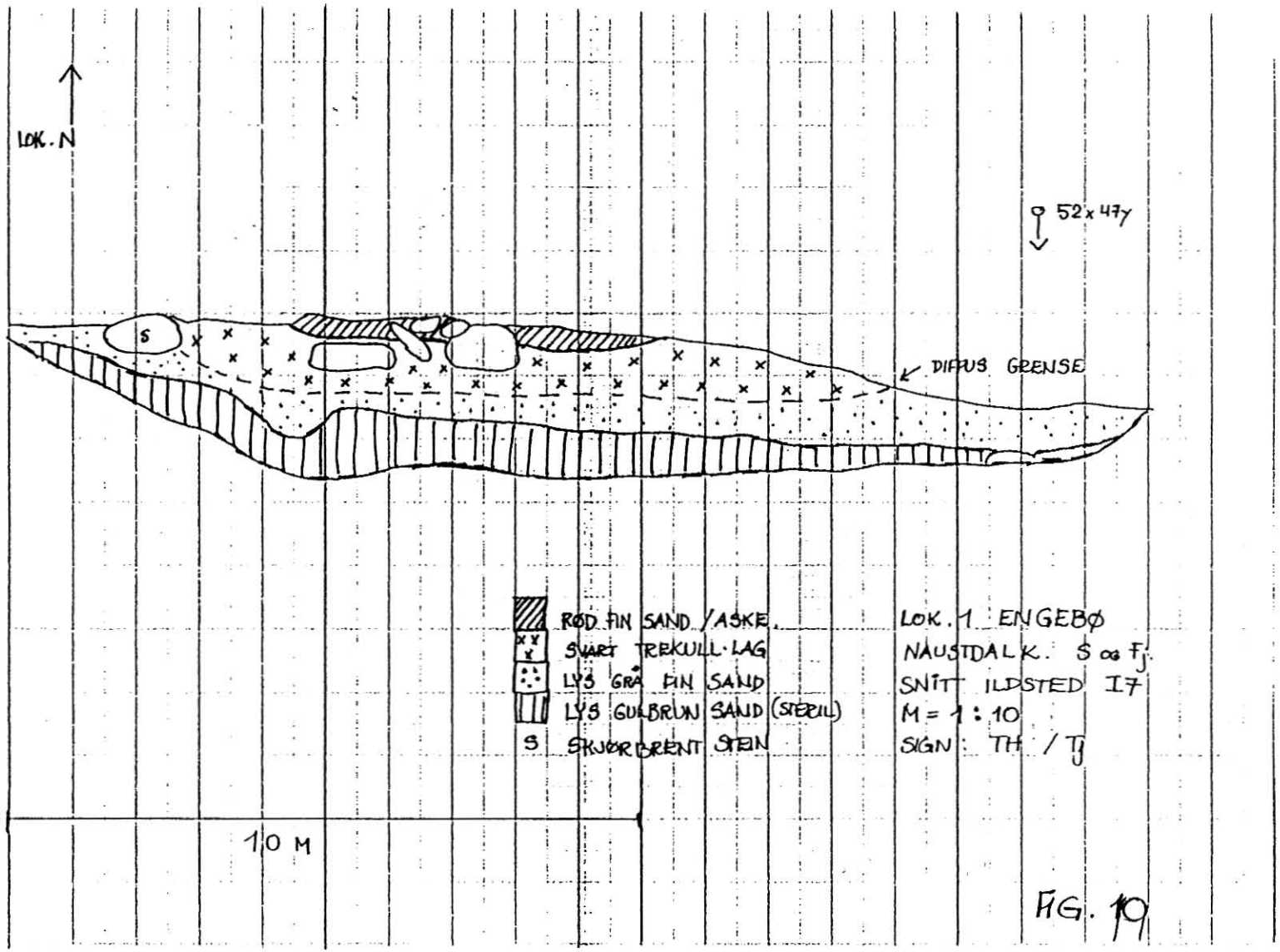
LOK. N
52 x 47 y
S
DIFFUS GRENSE
RØD FIN SAND / ASKE
SVART TREKULL-LAG
LYS GRÅ FIN SAND
LYS GULBRUN SAND (STERIL)
S SKJØRBRENT STEIN
LOK. 1 ENGEBØ
NAUSTDAL K. S og Fj.
SNITT ILDSTED I7
M = 1 : 10
SIGN: TH / Tj
1,0 M

FIG. 19

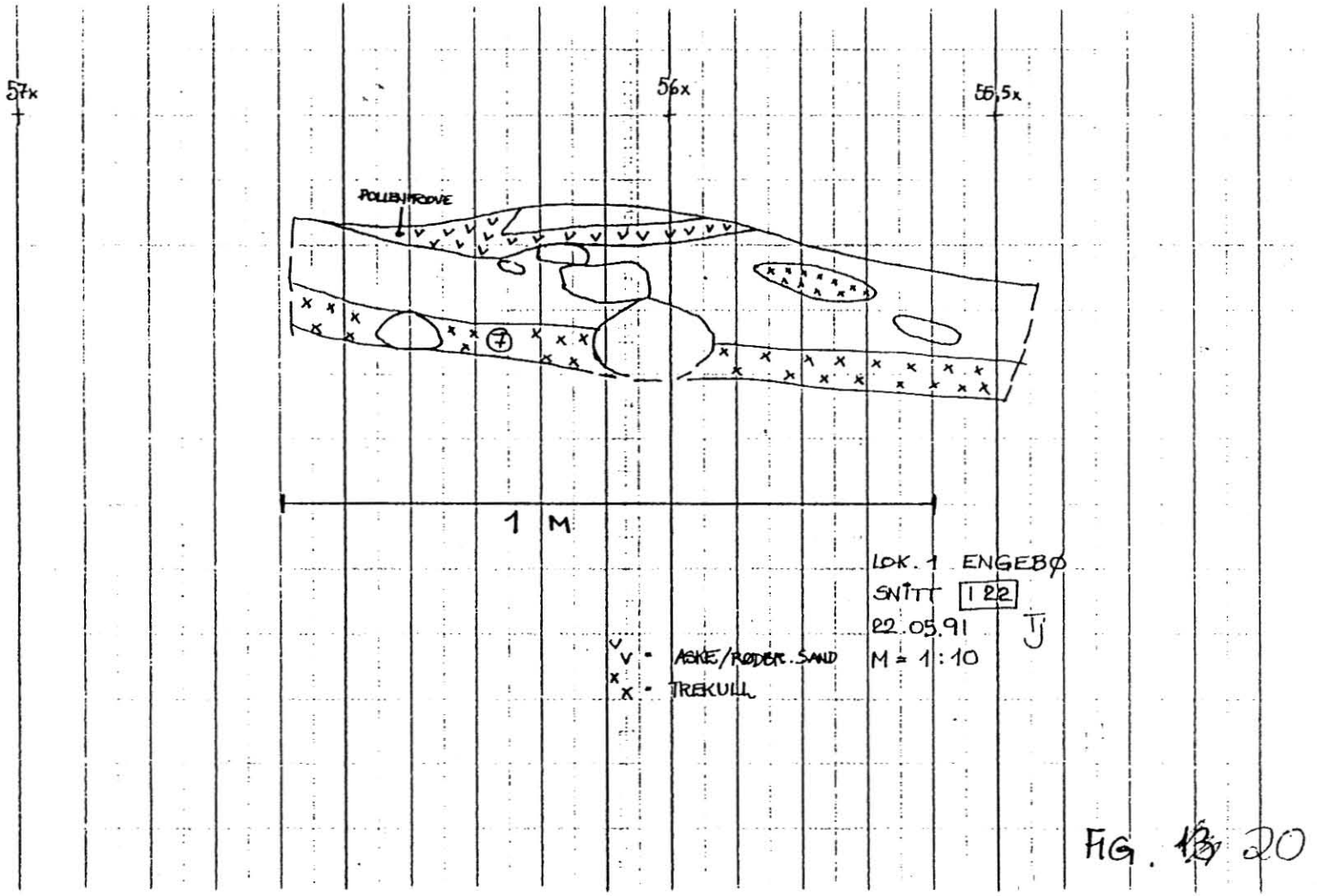
57x
56x
55,5x
POLLENPRØVE
7
1 M
LOK. 1 ENGEBØ
SNITT I 22
22.05.91
M = 1:10
v v - ASKE/RØDER. SAND
x x - TREKULL

FIG. 13 20

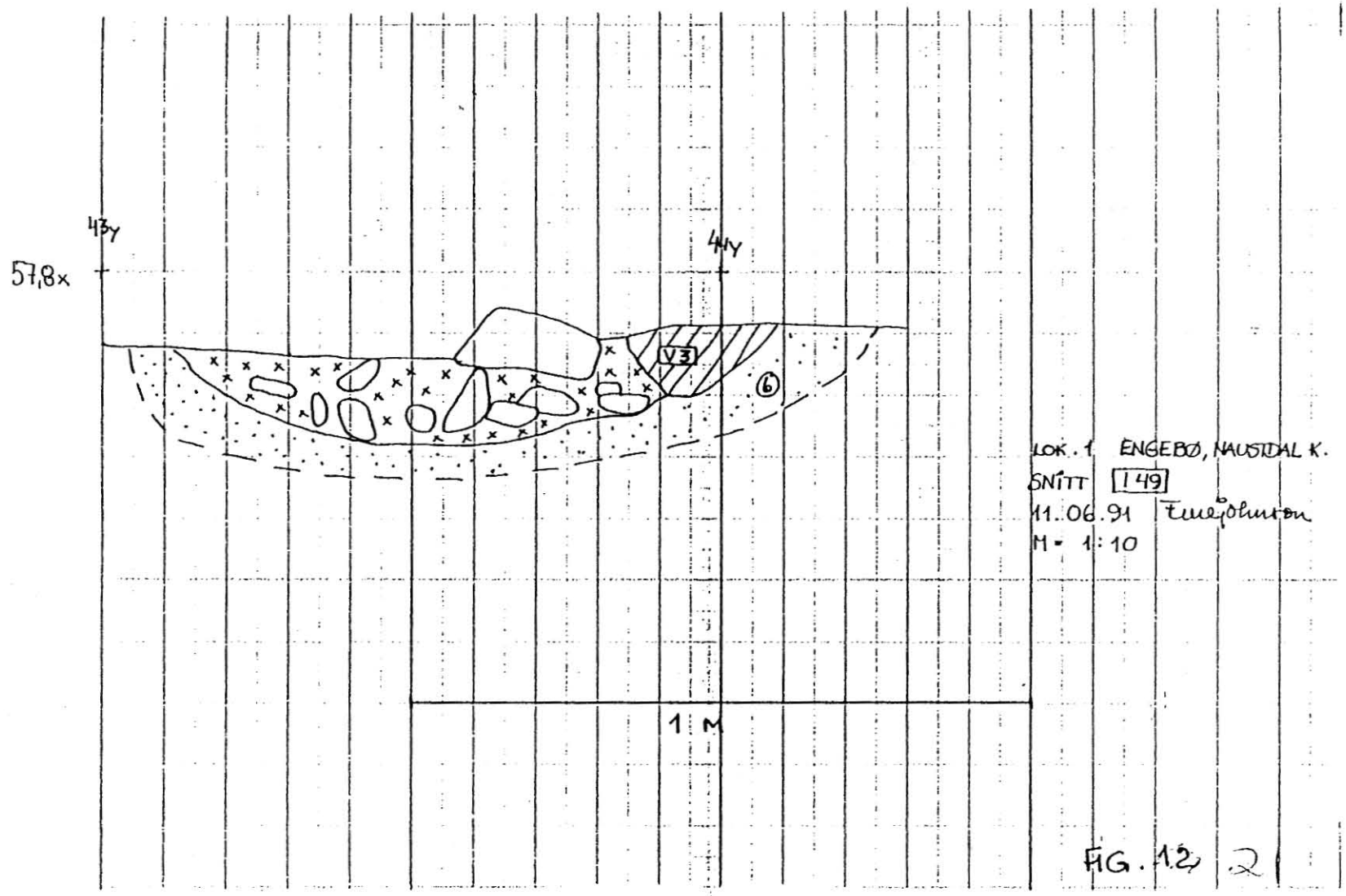
43y
44y
57,8x
V3
6
1 M
LOK. 1 ENGEBØ, NAUSTDAL K.
SNITT 149
11.06.91 Emejohnson
M = 1:10

FIG. 12 2

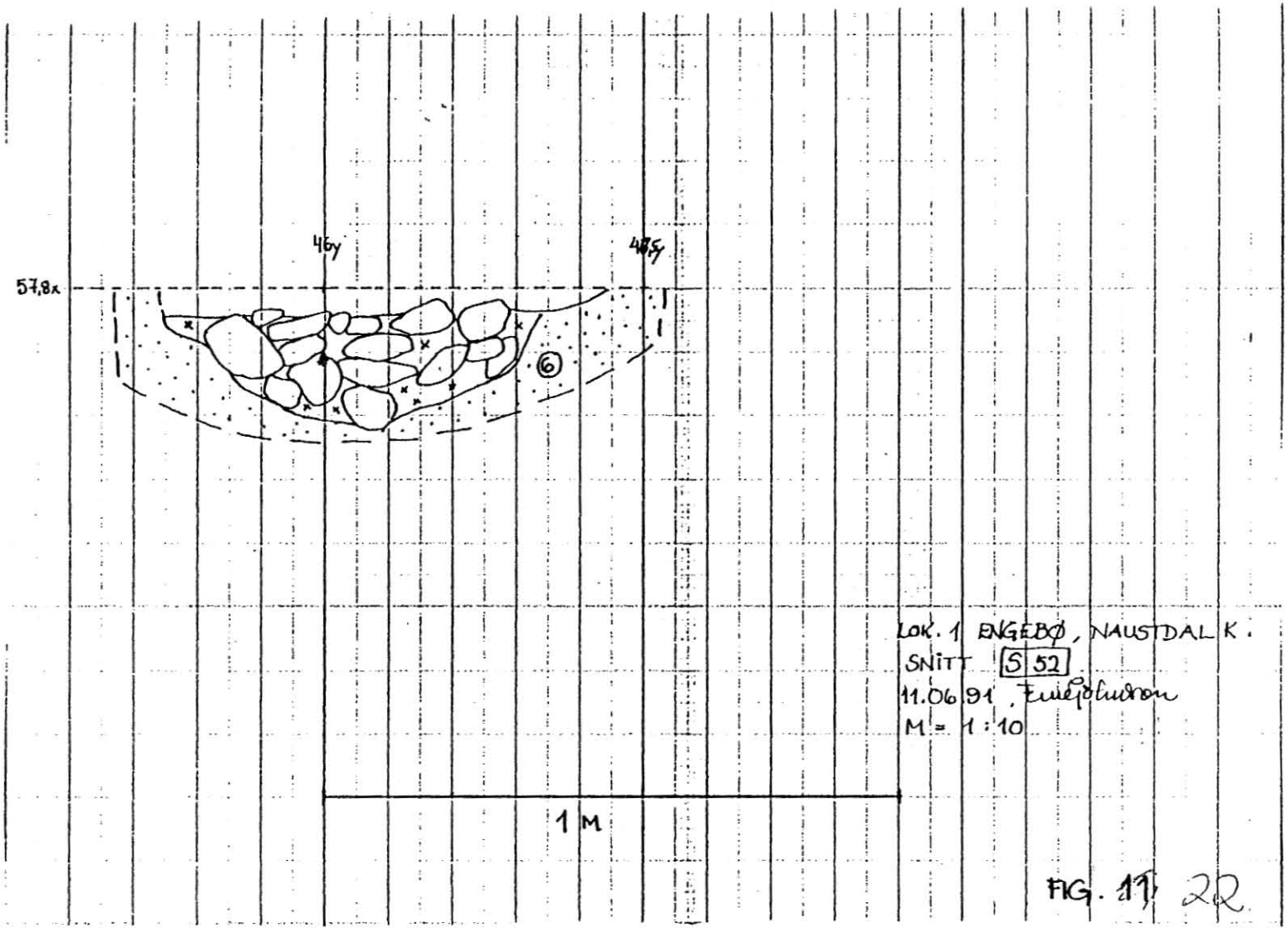
46y
48,5y
57,8x
6
1 M
LOK. 1 ENGEBØ, NAUSTDAL K.
SNITT S 52
11.06.91, Emejohnson
M = 1 : 10

FIG. 11 22

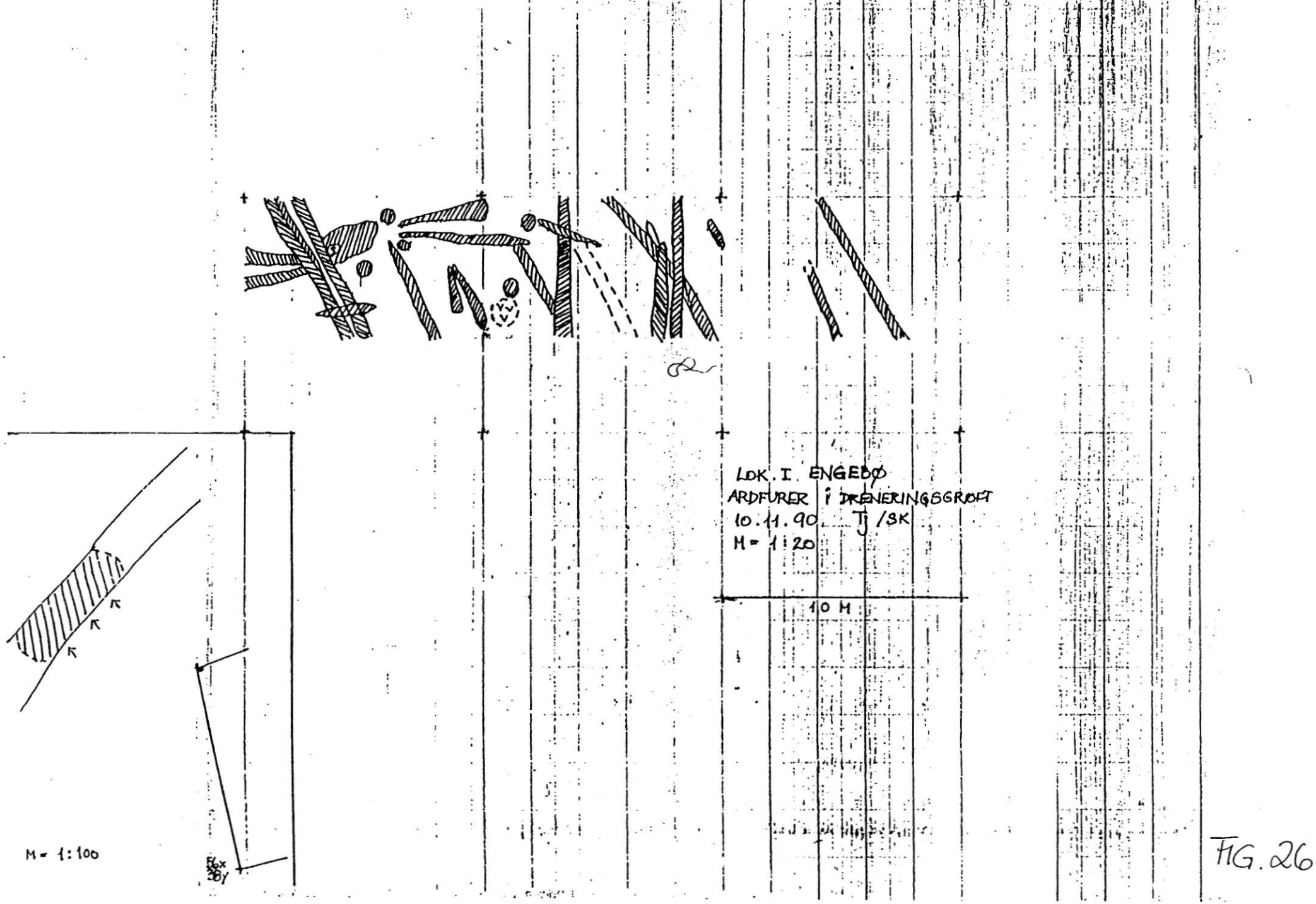
LOK. I ENGEDØ
ARDFURER I DRENERINGSGROFT
10.11.90 TJ/SK
M = 1:20
10 M
M = 1:100

FIG. 26

# VEDLEGG 1

## 14C-DATERINGER
## SKJEMA 1

BETA ANALYTIC INC.
(305) 667-5167
UNIVERSITY BRANCH
P.O. BOX 248113
CORAL GABLES, FLA. 33124

# REPORT OF RADIOCARBON DATING ANALYSES

R: Trine Johnson
Universitetet I Bergen

DATE RECEIVED: March 25, 1991
DATE REPORTED: April 17, 1991
SUBMITTER'S PURCHASE ORDER #

| R LAB NUMBER | YOUR SAMPLE NUMBER | C-14 AGE YEARS B P ±1σ | |
|---|---|---|---|
| B :a-44059 | E 90-1 | 2320 +/- 100 BP | (charcoal) |
| B :a-44060 | E 90-2 | 2030 +/- 80 BP | (charcoal) |

These dates are reported as RCYBP (radiocarbon years before 1950 A.D.). By international convention, the half-life of diocarbon is taken as 5568 years and 95% of the activity of the National Bureau of Standards Oxalic Acid (original atch) used as the modern standard. The quoted errors are from the counting of the modern standard, background, and sample being analyzed. They represent one standard deviation statistics (68% probability), based on the random nature the radioactive disintegration process. Also by international convention, no corrections are made for DeVries effect, servoir effect, or isotope fractionation in nature, unless specifically noted above. Stable carbon ratios are measured on request and are calculated relative to the PDB-1 international standard; the adjusted ages are normalized to -25 per mil rbon 13.

BETA ANALYTIC INC.
RADIOCARBON DATING LAB
CALIBRATED C-14 DATING RESULTS

Calibrations of radiocarbon age determinations are applied to convert results to calender years. The short term difference between the two is caused by fluctuations in the heliomagnetic modulation of the galactic cosmic radiation and, recently, the advent of large scale burning of fossil fuels and nuclear devices testing. Geomagnetic variations are the probable cause of medium term differences and long term (greater than 8000 BP) are still unknown.

Radiocarbon dating laboratories have analyzed hundreds of samples obtained from known-age tree rings of oak, sequoia, and Douglas fir. Curves generated from the results depicting the atmospheric carbon content at specific time periods have been incorporated in computer programs. The result of the calibration analysis applicable to your research follows.

(Note: these calibrations assume that the material dated was short lived, i.e., living for 20 years like branches, some shells, small plants, a collection of individual tree rings, etc.. For other materials, the "Old Wood Effect" would produce uncertainties: both the maximum and minimum ranges of age possibilities could be overstated by that error source. Also, or less likely, in extreme cases they might even turn out to be understated.)

Calibration file: ATM20.14C

Beta-44059
Radiocarbon Age BP 2320 ± 100
Calibrated age(s) cal BC 395
cal BP 2344
cal AD/BC (cal BP) age ranges obtained from intercepts (Method A):
one Sigma** cal BC 486- 436(2435-2385) 425- 361(2374-2310)
283- 258(2232-2207)
two Sigma** cal BC 770- 170(2719-2119)

Summary of above ---
minimum of cal age ranges (cal ages) maximum of cal age ranges:
one sigma cal BC 486 ( 395) 258
cal BP 2435 ( 2344) 2207
two sigma cal BC 770 ( 395) 170
cal BP 2719 ( 2344) 2119

Beta-44060
Radiocarbon Age BP 2030 ± 80
Calibrated age(s) cal BC 43
cal BP 1992
cal AD/BC (cal BP) age ranges obtained from intercepts (Method A):
one Sigma** cal BC 160- 138(2109-2087) 124-cal AD 59(2073-1891)
two Sigma** cal BC 349- 315(2298-2264) 210-cal AD 120(2159-1830)

Summary of above ---
minimum of cal age ranges (cal ages) maximum of cal age ranges:
one sigma cal BC 160 ( 43) cal AD 59
cal BP 2109 ( 1992) 1891

two sigma  cal BC  349 (  43) cal AD  120
           cal BP 2298 ( 1992) 1830

Reference for dataset used:
Stuiver, M and Pearson, GW, 1986, Radiocarbon, 28, 805-838.

** 1 sigma = square root of (sample std. dev.$^2$+ curve std. dev.$^2$)
   2 sigma = 2 x square root of (sample std. dev.$^2$+ curve std. dev.$^2$)

# VEDLEGG 2

## 14C-DATERINGER
## SKJEMA 2

BETA ANALYTIC INC.
(305) 667-5167
UNIVERSITY BRANCH
P.O. BOX 248113
CORAL GABLES, FLA. 33124

# REPORT OF RADIOCARBON DATING ANALYSES

FOR: Trine Johnson
Historisk Museum - Norway

DATE RECEIVED: September 13, 1991
DATE REPORTED: October 9, 1991
SUBMITTER'S PURCHASE ORDER #

| OUR LAB NUMBER | YOUR SAMPLE NUMBER | C-14 AGE YEARS B.P. ± 1σ | |
|---|---|---|---|
| Beta-47380 | E-91/3 | 3080 +/- 70 BP | (charcoal) |
| Beta-47381 | E-91/4 | 2190 +/- 80 BP | (charcoal) |
| Beta-47382 | E-91/5 | 2970 +/- 50 BP | (charcoal) |
| Beta-47383 | E-91/6 | 4440 +/- 90 BP | (charcoal) |
| Beta-47384 | E-91/7 | 2720 +/- 90 BP * | (charcoal) |
| Beta-47385 | E-91/8 | 3110 +/- 80 BP | (charcoal) |
| Beta-47386 | E-91/9 | 4700 +/- 80 BP | (charcoal) |
| Beta-47387 | E-91/12 | 2940 +/- 70 BP | (charcoal) |

* small carbon sample(0.4gm) given quadruple-normal counting time to increase statistical precision as much as practical.

These dates are reported as RCYBP (radiocarbon years before 1950 A.D.). By international convention, the half-life of radiocarbon is taken as 5568 years and 95% of the activity of the National Bureau of Standards Oxalic Acid (original batch) used as the modern standard. The quoted errors are from the counting of the modern standard, background, and sample being analyzed. They represent one standard deviation statistics (68% probability), based on the random nature of the radioactive disintegration process. Also by international convention, no corrections are made for DeVries effect, reservoir effect, or isotope fractionation in nature, unless specifically noted above. Stable carbon ratios are measured on request and are calculated relative to the PDB-1 international standard; the adjusted ages are normalized to -25 per mil carbon 13.

ETA ANALYTIC INC.
RADIOCARBON DATING LAB
CALIBRATED C-14 DATING RESULTS

Calibrations of radiocarbon age determinations are applied to convert results to calendar years. The short term difference between the two is caused by fluctuations in the heliomagnetic modulation of the galactic cosmic radiation and, recently, the advent of large scale burning of fossil fuels and nuclear devices testing. Geomagnetic variations are the probable cause of medium term differences and long term (greater then 8000 BP) are still unknown.

Radiocarbon dating laboratories have analyzed hundreds of samples obtained from known-age tree rings of oak, sequoia, and Douglas fir. Curves generated from the results depicting the atmospheric carbon content at specific time periods have been incorporated in computer programs. The result of the calibration analysis applicable to your research follows.

(Caveat: these calibrations assume that the material dated was short lived, i.e., living for 20 years like branches, some shells, small plants, a collection of individual tree rings, etc.. For other materials, the "Old Wood Effect" would produce uncertainties; both the maximum and minimum ranges of age possibilities could be overstated by that error source. Also, but less likely, in extreme cases they might even turn out to be understated.)

Calibration file: ATM20.14C

Beta-47380
Radiocarbon Age BP 3080 ± 70
Calibrated age(s) cal BC 1394, 1331, 1329
cal BP 3343, 3280, 3278
cal AD/BC (cal BP) age ranges obtained from intercepts (Method A):
one Sigma** cal BC 1428-1266(3377-3215)
two Sigma** cal BC 1510-1160(3459-3109) 1143-1136(3092-3085)

Summary of above ---
minimum of cal age ranges (cal ages) maximum of cal age ranges:
one sigma cal BC 1428 ( 1394, 1331, 1329) 1266
cal BP 3377 ( 3343, 3280, 3278) 3215
two sigma cal BC 1510 ( 1394, 1331, 1329) 1136
cal BP 3459 ( 3343, 3280, 3278) 3085

Beta-47381
Radiocarbon Age BP 2190 ± 80
Calibrated age(s) cal BC 348, 316, 207
cal BP 2297, 2265, 2156
cal AD/BC (cal BP) age ranges obtained from intercepts (Method A):
one Sigma** cal BC 383- 159(2332-2108) 139- 124(2088-2073)
two Sigma** cal BC 400- 40(2349-1989)

Summary of above ---
minimum of cal age ranges (cal ages) maximum of cal age ranges:
one sigma cal BC 383 ( 348, 316, 207) 124
cal BP 2332 ( 2297, 2265, 2156) 2073
two sigma cal BC 400 ( 348, 316, 207) 40
cal BP 2349 ( 2297, 2265, 2156) 1989

Beta-47382
Radiocarbon Age BP 2970 ± 50
Calibrated age(s) cal BC 1255, 1240, 1221
cal BP 3204, 3189, 3170
cal AD/BC (cal BP) age ranges obtained from intercepts (Method A):
one Sigma** cal BC 1301-1274(3250-3223) 1269-1123(3218-3072)
1115-1106(3064-3055)
two Sigma** cal BC 1390-1335(3339-3284) 1330-1030(3279-2979)

Summary of above ---
minimum of cal age ranges (cal ages) maximum of cal age ranges:
one sigma cal BC 1301 ( 1255, 1240, 1221) 1106
cal BP 3250 ( 3204, 3189, 3170) 3055
two sigma cal BC 1390 ( 1255, 1240, 1221) 1030
cal BP 3339 ( 3204, 3189, 3170) 2979

Beta-47383
Radiocarbon Age BP 4440 ± 90
Calibrated age(s) cal BC 3094, 3059, 3045
cal BP 5043, 5008, 4994
cal AD/BC (cal BP) age ranges obtained from intercepts (Method A):
one Sigma** cal BC 3335-3218(5284-5167) 3190-3151(5139-5100)
3149-3012(5098-4961) 3008-2924(4957-4873)
two Sigma** cal BC 3370-2900(5319-4849)

Summary of above ---
minimum of cal age ranges (cal ages) maximum of cal age ranges:
one sigma cal BC 3335 ( 3094, 3059, 3045) 2924
cal BP 5284 ( 5043, 5008, 4994) 4873
two sigma cal BC 3370 ( 3094, 3059, 3045) 2900
cal BP 5319 ( 5043, 5008, 4994) 4849

Beta-47384
adiocarbon Age BP 2720 ± 90
Calibrated age(s) cal BC 892, 882, 848
cal BP 2841, 2831, 2797
cal AD/BC (cal BP) age ranges obtained from intercepts (Method A):
one Sigma** cal BC 986- 955(2935-2904) 945- 807(2894-2756)
two Sigma** cal BC 1090- 780(3039-2729)

Summary of above ---
minimum of cal age ranges (cal ages) maximum of cal age ranges:
one sigma cal BC 986 ( 892, 882, 848) 807
cal BP 2935 ( 2841, 2831, 2797) 2756
two sigma cal BC 1090 ( 892, 882, 848) 780
cal BP 3039 ( 2841, 2831, 2797) 2729

Beta-47385
Radiocarbon Age BP 3110 ± 80
Calibrated age(s) cal BC 1411
cal BP 3360
cal AD/BC (cal BP) age ranges obtained from intercepts (Method A):
one Sigma** cal BC 1493-1487(3442-3436) 1453-1309(3402-3258)
two Sigma** cal BC 1530-1210(3479-3159) 1182-1164(3131-3113)

Summary of above ---
minimum of cal age ranges (cal ages) maximum of cal age ranges:
one sigma cal BC 1493 ( 1411) 1309
cal BP 3442 ( 3360) 3258
two sigma cal BC 1530 ( 1411) 1164
cal BP 3479 ( 3360) 3113

Beta-47386
Radiocarbon Age BP 4700 ± 80
Calibrated age(s) cal BC 3504, 3406, 3384
cal BP 5453, 5355, 5333
cal AD/BC (cal BP) age ranges obtained from intercepts (Method A):
one Sigma** cal BC 3623-3571(5572-5520) 3537-3367(5486-5316)
two Sigma** cal BC 3690-3340(5639-5289) 3217-3194(5166-5143)

Summary of above ---
minimum of cal age ranges (cal ages) maximum of cal age ranges:
one sigma cal BC 3623 ( 3504, 3406, 3384) 3367
cal BP 5572 ( 5453, 5355, 5333) 5316
two sigma cal BC 3690 ( 3504, 3406, 3384) 3194
cal BP 5639 ( 5453, 5355, 5333) 5143

Beta-47387
Radiocarbon Age BP 2940 ± 70
Calibrated age(s) cal BC 1159, 1142, 1138
cal BP 3108, 3091, 3087
cal AD/BC (cal BP) age ranges obtained from intercepts (Method A):
one Sigma** cal BC 1266-1034(3215-2983)
two Sigma** cal BC 1395-1331(3344-3280) 1330- 970(3279-2919)
966- 932(2915-2881)

Summary of above ---
minimum of cal age ranges (cal ages) maximum of cal age ranges:
one sigma cal BC 1266 ( 1159, 1142, 1138) 1034
cal BP 3215 ( 3108, 3091, 3087) 2983
two sigma cal BC 1395 ( 1159, 1142, 1138) 932
cal BP 3344 ( 3108, 3091, 3087) 2881

References for dataset used:
Stuiver, M and Pearson, GW, 1986, Radiocarbon, 28, 805-838.
Pearson, GW and Stuiver, M, 1986, Radiocarbon, 28, 839-862.
Pearson, GW, Pilcher, JR, Baille, MG, Corbett, DM and Qua, F,
1 86, Radiocarbon, 28, 911-934.

** 1 sigma = square root of (sample std. dev.$^2$+ curve std. dev.$^2$)
2 sigma = 2 x square root of (sample std. dev.$^2$+ curve std. dev.$^2$)

# VEDLEGG 3

## RAPPORT BOTANISK UNDERSØKELSE

V/KARI LOE HJELLE
BOTANISK INSTITUTT, UiB

# Botaniske undersøkelser i forbindelse med arkeologiske utgravninger på Engebø, Vevring,
# Naustdal kommune i Sogn og Fjordane.

Rapport til Historisk museum

av
Kari Loe Hjelle
Botanisk institutt
Universitetet i Bergen
7.1.1992

## 1. Innledning

I forbindelse med de arkeologiske utgravningene på Engebø, Vevring, Naustdal kommune i Sogn og Fjordane, ble jeg engasjert av Historisk museum i 4 uker for å gjøre botaniske undersøkelser.

Ved prøvegravningene i 1990, ble ardfurer avdekket under tykke dyrkingslag og avsetninger av leire. Ardfurene fremkom som mørke striper (jord) i lys undergrunn (leire). Ved hjelp av pollenanalyse, ønsket man å få informasjon om hva som ble dyrket, og om aktiviteten i det nederste dyrkingslaget også kunne følges i det neste dyrkingslaget. Det nederste dyrkingslaget var antatt å representere samme aktivitet som ardfurene. Pollenprøver fra de øverste dyrkingslagene ble analysert for å ha et sammenligningsgrunnlag for pollensammensetningen i det nederste dyrkingslaget og ardfurene. Selv om det var de nederste lagene som var av primær interesse, vil analyser fra de øverste lagene kunne gi informasjon om det er samme eller forskjellig aktivitet som har foregått på stedet gjennom alle dyrkingsfasene. Lagene med leire var antatt å være påført for planering, og er ikke nærmere undersøkt. Bosetningslag og konstruksjoner ble funnet i tilknytning til ardfurene. Fra noen av disse er pollen- og jordprøver tatt, og utvalgte prøver er undersøkt for makrofossiler.

Innsamling av prøver ble gjort i løpet av to dagers feltarbeid samtidig med at utgravningene pågikk i mai 1991. Pollenprøvene er preparert av Jan Berge, Botanisk institutt, utenom prosjektet.

De undersøkte sedimentene representerer ikke naturlige avsetninger. Kildene til det registrerte polleninnhold kan derfor være mange. I forbindelse med åkre, er tilførsel av jord sannsynlig, noe som fører med seg pollen fra et tidligere tidspunkt enn sedimentasjonstidspunktet. De tykke leiravsetningene på Engebø viser også at en form for flytting av masse har funnet sted. De nederste lagene ligger i kort avstand til stolpehull, ildsteder og boplasslag, og dermed til de aktiviteter som har foregått her. All bruk av plante-materiale på et boplassområde vil føre med seg pollen. Denne pollenkilden representerer en samtidig vegetasjon, og antagelig vegetasjonen i de nærmeste omgivelsene. Hvilke pollenkilder som til enhver tid har vært rådende, blir et tolkningsspørsmål på grunnlag av polleninnhold og de lithostratigrafiske forhold.

## 2. Metode

Rørprøver til pollenanalyse ble samlet direkte fra profilveggene, og lagene beskrevet etter Troels Smiths (1955) klassifikasjonssystem. Større jordprøver ble tatt fra hvert dyrkingslag, fra utvalgte stolpehullmasser og ildsteder.

Pollenprøvene er preparert etter standardprosedyrer med acetolyse og HF-behandling. Analysene er gjort ved 500x forstørrrelse, samt 1000x forstørrelse ved kritiske bestemmelser. Pollenbestemmelsene følger nøkkelen i Fægri & Iversen (1989), sammenholdt med referansesamlingen ved Botanisk institutt. Kornbestemmelsene

følger Beug (1961).

De undersøkte makrofossilprøvene ble silt gjennom 1 mm sikt i felt, og deretter tørket. Prøvene ble på laboratoriet sortert for makrofossiler. Makrofossilene er forkullet, og bare godt oppbevarte og lett kjennelige frø er forsøkt artsbestemt.

## 3. Resultat

Utgravningsområdet og uttakssted for analyserte prøver er vist på fig. 1, 2 og 3.

### 3.1. Lithostratigrafi

Fig. 4 viser stratigrafien og uttakssted for pollenprøveserien gjennom dyrkingslagene.

Lithostratigrafi:
Lag 1. Brunt organisk lag med mye minerogent materiale (dyrkingslag).
nig.3, strf.0, elas.0, sicc.2.
Ld22+ As2- Ag+ Ga+ Gs+ Gg+ Antrax+
Lag 2. Gulgrått leirlag.
nig.2, strf.0, elas.0, sicc.2.
As4 Ld+ Gs+ Gg+
Lag 3. Brunt organisk lag (dyrkingslag).
nig.3, strf.0, elas.0, sicc.2.
Ld22, As2, Antrax+
Trekull-linse nederste 2 cm: Ld22 As1 Antrax1- Gg++
Lag 4. Gulgrått leirlag.
nig.2, strf.0, elas.0, sicc.2.
As4 Gg+
Lag 5. Brunt organisk lag, nedre del brunsvart (dyrkingslag).
nig.3, strf.0, elas. 0, sicc.2.
Øvre del: Ld33 As1 Gg+ Antrax+
Nedre del: Ld32 As1 Antrax1
Lag 6. Gult leirlag.
nig.2, strf.0, elas.0, sicc.2.
As4

### 3.2. Pollendiagram

Spektrene 1-10 i pollendiagrammet (fig. 5) viser prøvene fra profilveggen, mens sp. 11 og 12 representerer ardfurer. Da det er mest hensiktsmessig, vil polleninnholdet i lag 5 bli omtalt først, etterfulgt av ardfurer og lagene 3 og 1.

#### 3.2.1. Lag 5.

Lithostratigrafisk kunne lag 5 deles i to: en nedre brunsvart del med svært mye makroskopisk trekull, og en øvre, brunere del der det makroskopiske trekullinnholdet var lavere. Også polleninnholdet er noe forskjellig i de to delene av laget. Sp. 10 og 9 fra den nederste delen inneholder vesentlig mer treslagspollen enn den øvre delen, mens gress (Poaceae) har høyere forekomster i den øvre delen av lag 5 (sp. 8-6). De to delene av laget vil derfor bli omtalt hver for seg.

I den nederste delen av lag 5, er or (Alnus) det dominerende treslag, mens eik (Quercus), bjørk (Betula) og hassel (Corylus) alle er godt representert. Også alm (Ulmus) og ask (Fraxinus) er registrert. Samtidig med høye verdier for treslagspollen, er kornpollen av bygg (Hordeum) type registrert. Antagelig er det rydding av skog og dyrking i den opprinnelige skogsjorden som registreres i den nederste delen av lag 5. Urter som mjødurt (Filipendula) og nesle (Urtica) vokser på nitrogenrike lokaliteter, og kan ha inngått i en opprinnelig oreskog, såvel som de kan ha hatt voksested i tilknytning til åkrene eller, spesielt for nesle, bosetningen. Arve (Cerastium type) kan representere åkerugress, mens kurven for gress (Poaceae) og engsyre/småsyre (Rumex acetosa type), indikerer engvegetasjon i tillegg til at også disse kan inngå som ugress i og omkring åkre.

Konklusjonen på den nederste delen av lag 5, blir at pollen-innholdet viser dyrkning i jord fra en opprinnelig or,-eik,-bjørke- og hassel-skog. Skogsjorden har antagelig vært pollen-rik, og "overskygger" pollendeposisjonen fra den begynnende jordbruksvirksomheten på stedet. Bygg har blitt dyrket, og noe engvegetasjon har antagelig eksistert.

Den øverste, brunere delen av lag 5, har vesentlig mindre treslagspollen enn den nederste delen. Eik (Quercus) og hassel (Corylus) har lave verdier, og forekomstene av or (Alnus), er gått merkbart tilbake. Gress (Poaceae) har svært høye prosenter, flere urter er registrert enn i bunnen av lag 5, og bygg (Hordeum) type finnes i alle spekter. Vanlige åkerugress som linbendel (Spergula arvensis) og burot (Artemisia) er tilstede. Antagelig er det åkerugress som også er representert i kurvene for korsblomster (Brassicaceae), arve (Cerastium type) og Stachys type, hvor bl.a. då (Galeopsis) inngår. Sporene til en levermose som vokser i åkre, Phaeophaeros laevis type, er registrert i alle tre spekter. Denne vokser fuktig, og er en indikasjon på ihvertfall periodevis fuktige forhold på stedet. Også mjødurt (Filipendula) og nesle (Urtica) foretrekker fuktige voksested. Disse har nok vokst i den opprinnelige vegetasjonen på stedet, men representerer nå nitrofil vegetasjon i tilknytning til åkrene eller bo-setningen. Forekomstene av korn og åkerugress i den øvre delen av lag 5, tyder på at laget representerer åkerjord, eller avstanden til åker må være svært kort. Høye forekomster av gress viser engvegetasjon, hvor også engsoleie (Ranunculus acris type) og engsyre (Rumex acetosa type) mest sannsynlig har vokst.

Mens opprinnelig polleninnhold i jorden antagelig er godt representert i polleninnholdet i den nederste delen av lag 5, gir polleninnholdet i den øverste delen i sterkere grad et bilde av den samtidige vegetasjonen på stedet. Denne var i sterk grad et resultat av jordbruksvirksomhet, og rydding av skog har gått ut over de lokale forekomstene av eik, hassel og or.

### 3.2.2. Ardfurer

Sp. 11 og 12 viser polleninnhold i jord fra ardfurer.

Begge prøvene inneholder korn av bygg (Hordeum) type.

Polleninnholdet er noe forskjellig i de to prøvene. Forholdsvis lave or (Alnus)- og eike (Quercus)- verdier i sp. 12, samtidig med mye gress (Poaceae) og tilstedeværelse av en del urter, viser flest likhetstrekk med den øvre del av lag 5, og kan tyde på at den nederste delen av lag 5 mangler på dette prøvestedet. Forekomstene av treslagspollen og gress i sp. 11, kan tyde på at jorda i denne prøven tilsvarer den nederste delen av lag 5. Pollenanalysene bekrefter at jorda i ardfurene representerer dyrkingsjord. Bygg (Hordeum) type har blitt dyrket, og denne dyrkingen synes å ha fortsatt gjennom hele perioden mens lag 5 ble avsatt.

3.2.3. Lag 3.

Tre spekter er talt fra lag 3. Sp. 5 representerer den første organiske avsetningen over leirlaget. Her har or (Alnus) spesielt høy forekomst, mens øvrige treslag og de fleste urter har minimale verdier. Få urter er registrert, men engsyre / småsyre (Rumex acetosa type) har høy forekomst og en del gress (Poaceae) er tilstede. Korn er ikke registrert. Bregnesporer (Polypodiaceae) har vesentlig lavere verdier enn i lag 5. Polleninnholdet indikerer enten etablering av oreskog på stedet, eller tilførsel av jord fra vegetasjon dominert av or. Antagelig er det det siste som er tilfelle. Dersom leirlagene er resultat av menneskelig utfylling, var det ut fra et ønske om å bruke området til et formål. Det er da sannsynlig at også jord ble tilført. I sp. 4, 12 cm over sp. 5, har pollensammensetningen de samme hovedtrekkene. Gress har imidlertid høyere prosent enn i sp. 5, mens verdien av engsyre/småsyre er lavere. Begge nivåene har høyt innhold av trekullstøv, noe som viser menneskelig aktivitet til tross for lav forekomst av arter tilknyttet en kulturbetinget vegetasjon. Polleninnholdet viser engvegetasjon i området, mens der ikke er spor etter dyrking lokalt på stedet. Dette utelukker imidlertid ikke åkerdrift i området.

I det øverste nivået analysert i lag 3, har or (Alnus) vesentlig lavere forekomst enn i den nedre del av laget, mens både bjørk (Betula) og hassel (Corylus) har høyere verdier. Sannsynligvis er det vegetasjonen som preger pollensammensetningen i dette nivået, og i tillegg til or, har bjørk og hassel vokst i området. Høy gressprosent sammen med engplanter som f.eks. engsoleie (Ranunculus acris type), smalkjempe (Plantago lanceolata), engsyre/småsyre (Rumex acetosa type), ryllik (Achillea type) og tepperot (Potentilla type), viser engvegetasjon. I tillegg til kornpollen av bygg (Hordeum) type, er også havre (Avena) type registrert. Åkerugress - linbendel (Spergula arvensis), då (Stachys type), arve (Cerastium type) og korsblomster (Brassicaceae), er tilstede. Igjen har en positive indikasjoner på åker lokalt på stedet, men i motsetning til tidligere, synes havre nå å ha vært minst like viktig som bygg.

3.2.4. Lag 1.

To pollenprøver er analysert fra lag 1. Dersom en antar samme avsetningsprosess for begynnelsen av laget, som for begynnelsen av lag 3, er det sannsynlig at polleninnholdet i sp. 2 er en blanding av tilført masse og pollendeposisjon fra den samtidige vegetasjon. Polleninnholdet i sp. 2 er mye det samme som i sp.

3, noe som indikerer eventuell jordtilførsel fra de nærmeste omgivelsene (muligens gammel dyrkingsjord), samt samme aktiviteter i lag 1 som i toppen av lag 3. I det øverste analyserte spekter er forekomstene av or og bjørk omtrent de samme. Gress har svært høye verdier, korn av havre og bygg type er registrert, samt urter som favoriseres av beite og åkerdrift.

Forekomstene av smalkjempe (Plantago lanceolata), er interessante i undersøkelsen. Pollenkorn er kun registrert i de tre øverste spekter. Selv om pollensummene ikke er spesielt høye, og kun 7 spekter er analysert uten at arten er registrert, kan dette tyde på at den ikke har vært vanlig forekommende i de nærmeste omgivelsene. Korn og ugress med langt dårligere pollenproduksjon og -spredning er registrert i alle prøvene. Muligens kan dette skyldes innblanding av gammel skogsjord i de lavereliggende prøvene, og at de registrerte artene som er knyttet til jordbruksvirksomhet, her representerer den helt lokale vegetasjonen. I den grad jord er tilført i bunnen av lag 1, kan dette i høyere grad være jord fra tidligere jordbruksvirksomhet. En mulighet er også at forekomstene reflekterer større generell utbredelse av engvegetasjon i landskapet, samtidig med at lag 1 og øverste del av lag 3 ble avsatt, i forhold til tidligere.

## 3.3. Makrofossiler

### 3.3.1. I49 (ildsted)

Fire poser med utvasket materiale finnes. Prøvene er så og si ren trekullmasse.

175 ml fra bunnen av ildstedet (14C, I49 bunn) og 100 ml ildstedsmasse, er sortert for makrofossiler.

Frø, bunn:

| | |
|---|---|
| Nellikfamilien (Caryophyllaceae), cf. vassarve (Stellaria media) | ... 1 |
| Eng/krysoleie (Ranunculus acris/repens) | ... 1 |
| Bringebær (Rubus idaeus) | ... 9 |
| Ubestemte | ... 22 |

Frø, ildstedsmasse:

| | |
|---|---|
| Bringebær (Rubus idaeus) | ... 1 |
| Cf. rogn (Sorbus aucuparia) | ... 1 |
| Ubestemte | ... 13 |

Gruppen ubestemte er sterkt forkullet og skadde frø. Her inngår urter og antagelig noen gress, mens hverken korn eller bær er tilstede.

### 3.3.2. S52 (stolpehull?)

En pose med 75 ml utvasket materiale finnes og er undersøkt.

Frø:

| | |
|---|---|
| Bringebær (Rubus idaeus) | ... 1 |
| Ubestemt | ... 1 |

Små, forkullete kvist- og greinfagment finnes i prøven, samt

en del minerogent materiale.

3.3.3. G54 (grop)

To poser fra bunn av gropen og to poser fra sidene finnes. 100 ml av utvasket bunnmasse, rent trekull, er sortert for makrofossiler.

Frø:
Bringebær (Rubus idaeus) ... 2
Ubestemt ... 9

3.3.4. S40 (stolpehull)

En pose med 30 ml utvasket materiale finnes og er undersøkt. Denne inneholdt noen få grein- og kvist-fragment, men hverken frø eller frukter.

3.3.5. Konklusjon makrofossilanalyser

Få frø er identifisert fra de undersøkte prøvene, noe som delvis skyldes at de var svært forkullet og dårlig oppbevart, delvis at jeg ikke har nok kunnskap om identifisering av denne type materiale. Vesentlig for denne undersøkelsen var imidlertid å se etter korn, noe som med sikkerhet ikke har vært tilstede i de undersøkte prøvene. Derimot er frø av bringebær funnet i 4 av 5 prøver, og viser utnytting av planten. De registrerte ugress støtter opp om resultatene fra pollenanalysene.

Undersøkelsen viste at frø er tilstede, og at det dermed ville være mulig å få informasjon fra makrofossilanalyser, dersom dette ble høyere prioritert.

4. Litteratur

Beug, H.-J. 1961. Leitfaden der Pollenbestimmung fur Mitteleuropa und angrenzende Gebiete. - Gustav Fisher Verlag (Stuttgart).

Fægri, K. & J. Iversen 1989. Textbook of Pollen Analysis. IV edition by K. Fægri, P.E. Kaland & K. Krzywinski. - John Wiley & Sons.

Troels-Smith, J. 1955. Klassifisering av løse jordarter. - Danm. Geol. Unders. 4.R.3(10).

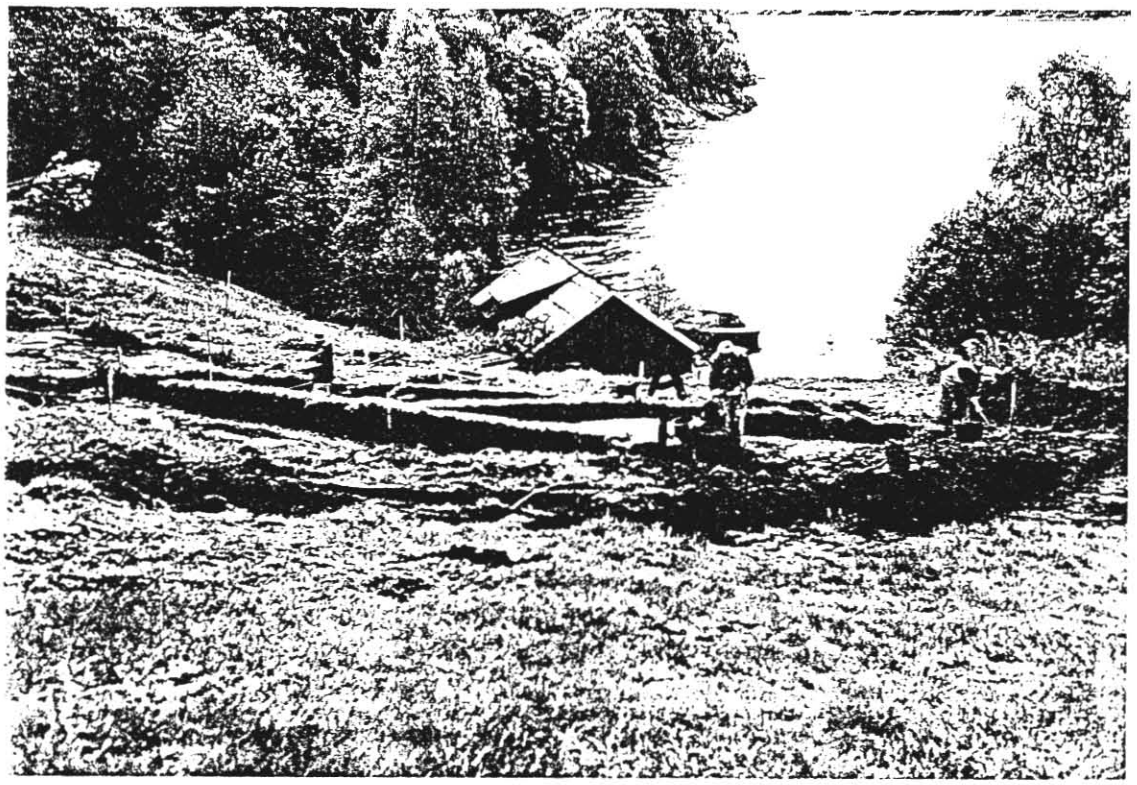

Figur 1. Utgravningsområdet, sett mot SØ. Pollenprøveserie, A, i profil mot nord.

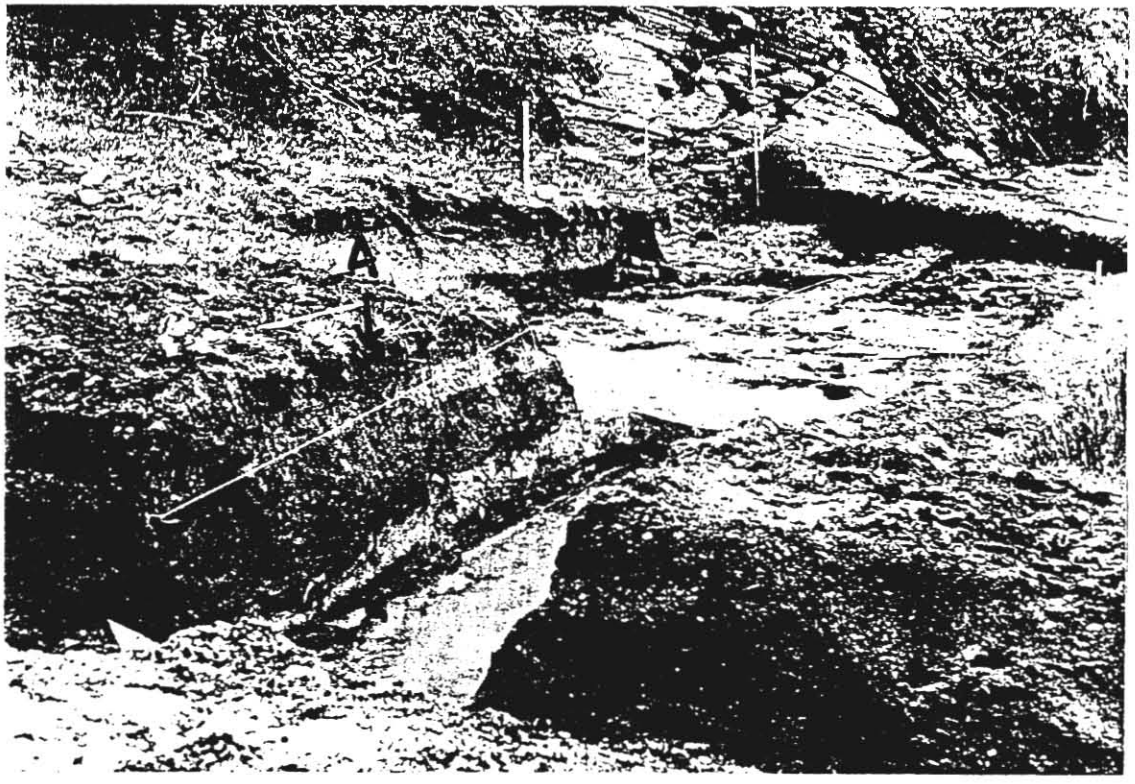

Figur 2. Del av utgravningsfeltet, sett mot NØ. Pollenprøveserie A fra profilvegg mot N. Makrofossilprøvene er tatt fra strukturer i flategravningsfeltet øst for pollenprøveserien.

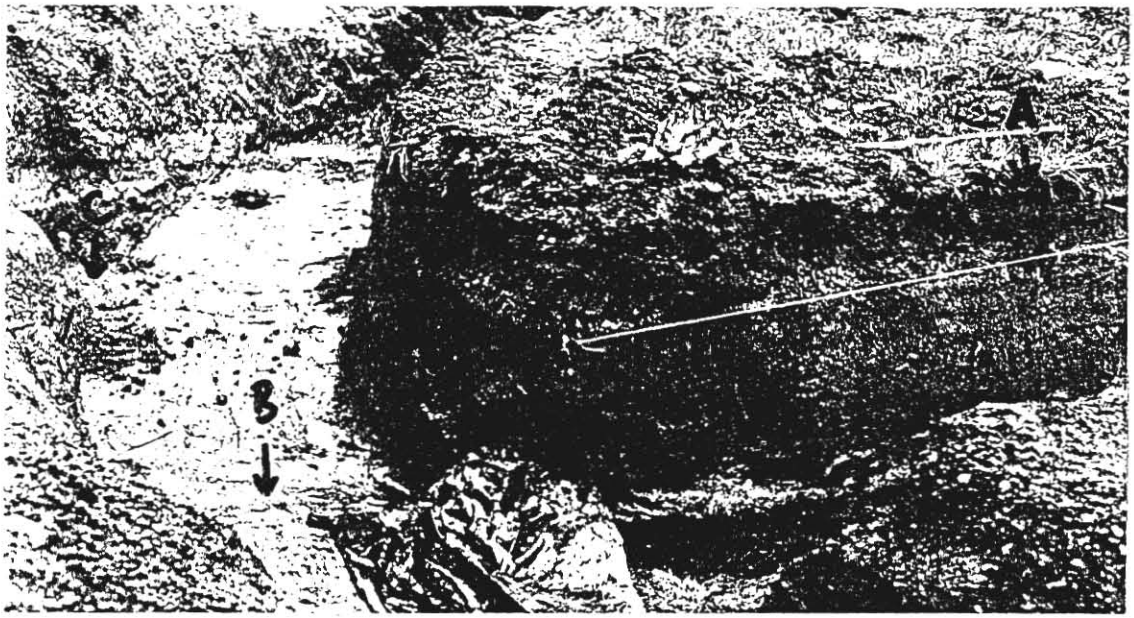


Figur 3. Uttakssted for pollenprøvene fra ardfurer, B og C, i forhold til pollenprøveserie A.

Figur 4. Pollenprøveserie A, gjennom dyrkingslag.

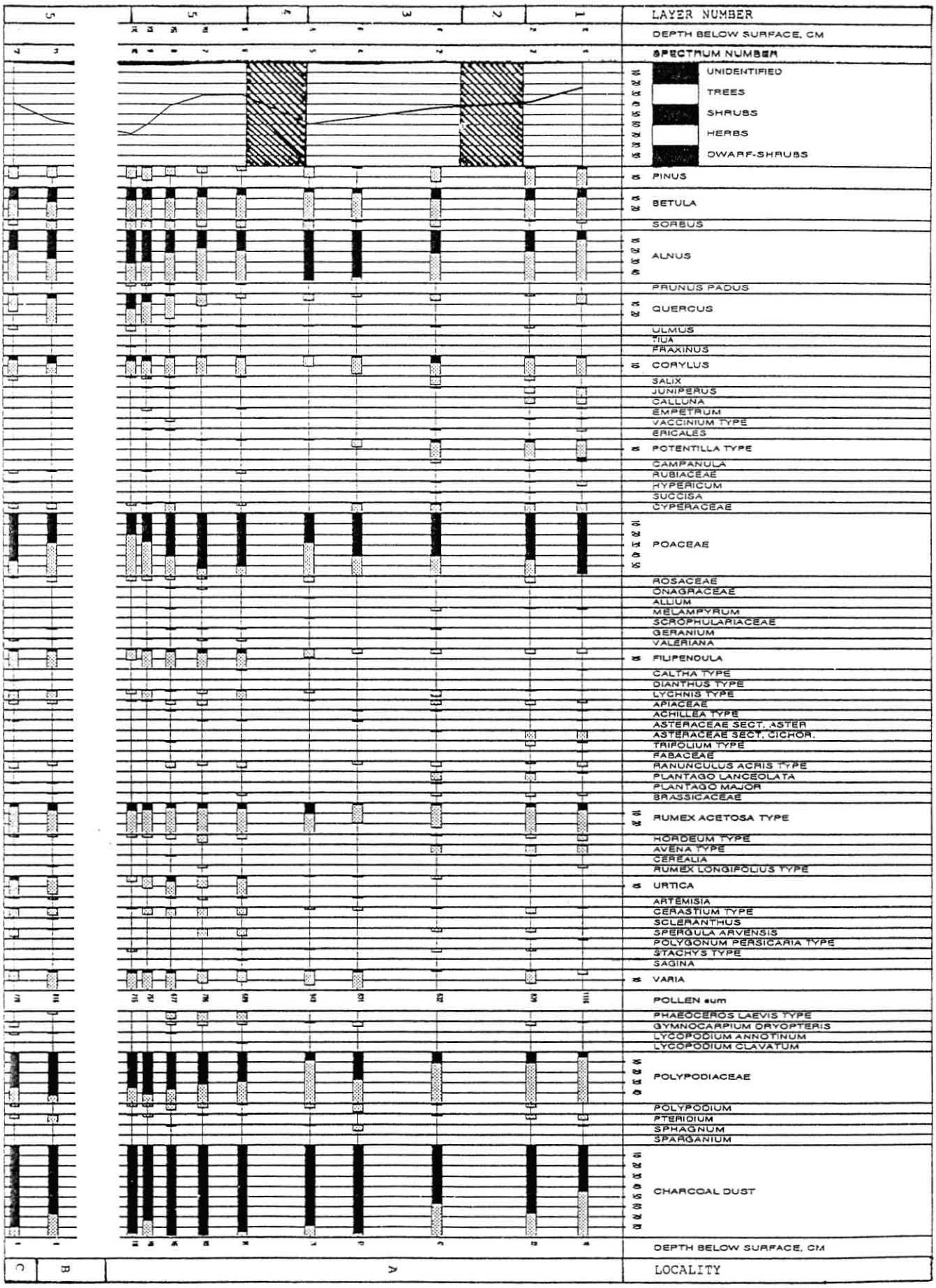


Figur 5. Pollendiagram

# VEDLEGG 4

## Funnkatalog Lok. 1 Engebø

| | | KV | FNR | TYPE | DEL | MAT | ANT | SUM | KOMMENTAR |
|---|---|---|---|---|---|---|---|---|---|
| | 5 | | 1 | 1.5.1 | | KV | 1 | | |
| | 5 | | 2 | 1.5.2 | | KV | 2 | | |
| 45 | 5 | | 3 | 1.5.2 | | KV | 1 | | |
| 50 49 | 3 | | 4 | 1.5.2 | | AN | 1 | | Bergart |
| 51 45 | 5 | | 5 | 1.5.1 | | KS | 1 | | |
| 51 47 | 5 | | 6 | 1.5.2 | | KS | 1 | | |
| 51 49 | 3 | | 7 | 1.5.2 | | KS | 1 | | bunn av lag ③ |
| | 3 | | 8 | 1.5.2 | | KV | 2 | | |
| 52 46 | 5 | | 9 | 1.5.2 | | FL | 1 | | |
| 52 48 | 5 | | 10 | | | | 1 | | asbestflis |
| | 5 | | 11 | 1.5.1 | | KV | 1 | | |
| 52 54 | 7 | | 12 | 1.5.1 | | AN | 1 | | Slipeplate |
| | 7 | | 13 | 1.5.2 | | FL | 3 | | |
| | 7 | | 14 | 1.5.2 | | KS | 2 | | |
| | 7 | | 15 | | | SK | 1 | | |
| | 7 | | 16 | 9.4 | | FL | 1 | | flat.rct sp. m/umb.basis |
| 53 38 | 5 | | 17 | 1.5.2 | | KS | 1 | | |
| 53 42 | 5 | | 18 | 1.5.2 | | FL | 1 | | |
| 53 44 | 5 | | 19 | 1.5.2 | | KV | 1 | | |
| 53 47 | 5 | | 20 | 12.1 | | KS | 1 | | rct. dodlag |
| 53 55 | 7 | | 21 | 1.5.2 | | KS | 8 | | |
| | 7 | | 22 | 1.5.3 | | KS | 3 | | |
| | 7 | | 23 | 1.5.2 | | KV | 2 | | |
| | 7 | | 24 | 1.5.3 | | KV | 1 | | |
| | 7 | | 25 | 1.5.2 | | FL | 1 | | brent |
| | 7 | | 26 | 1.5.2 | | FL | 0 | | |
| 54 43 | 5 | | 27 | 12.1 | | FL | 1 | | overfl. rct |
| | 5 | | 28 | 1.5.2 | | KV | 1 | | |
| 54 52 | 5 | | 29 | 1.5.3 | | KS | 5 | | |
| | 5 | | 30 | 1.5.2 | | KS | 5 | | |
| | 5 | | 31 | 1.5.2 | | FL | 1 | | |
| | 5 | | 32 | 1.5.2 | | AN | 1 | | Bergart |
| | 5 | | 33 | 12.1 | | FL | 1 | | overfl. rct. |
| | 5 | | 34 | 1.5.2 | | KS | 1 | | m/svart stoff" |

| X | Y | LAG | KV | FNR | TYPE | DEL | MAT | ANT | SUM | KOMMENTAR |
|---|---|---|---|---|---|---|---|---|---|---|
| 54 | 55 | 7 | | 35 | 1.5.2 | | KS | 8 | | |
| | | 7 | | 36 | 1.5.2 | | KV | 11 | | |
| | | 7 | | 37 | 1.5.2 | | FL | 1 | | |
| | | 7 | | 38 | 1.5.3 | | FL | 1 | | |
| | | 7 | | 39 | 1.5.2 | | AN | 1 | | Bergart. |
| | | 7 | | 40 | 9.6.6 | | SK | 1 | | slipt skiferemne 1:10 br. 2.5 |
| | | 7 | | 41 | 4.0 | | AN | 1 | | emne, delv. slipt 1:13.4 br. |
| 54 | 56 | 7 | | 42 | 1.5.2 | | KS | 4 | | |
| | | 7 | | 43 | 1.5.2 | | KV | 5 | | |
| | | 7 | | 44 | | | FL | 1 | | avsl. av ret. gjenstand. |
| 55 | 37 | 5 | | 45 | 1.5.2 | | KS | 1 | | |
| 55 | 38 | 5 | | 46 | 2.1.1 | | FL | 1 | | fragm. vannrullet |
| 55 | 41 | 5 | | 47 | 1.5.2 | | FL | 1 | | brent |
| | | 5 | | 48 | 1.5.2 | | KV | 1 | | |
| | | 5 | | 49 | 99 | | | 1 | | tajanse? |
| 55 | 54 | 7 | | 50 | 1.5.2 | | KV | 9 | | |
| 55 | 58 | 7 | | 51 | 1.5.2 | | KV | 5 | | |
| | | 7 | | 52 | 1.5.2 | | KS | 6 | | |
| | | 7 | | 53 | 1.5.3 | | KV | 5 | | |
| 56 | 52 | 7 | | 54 | 1.5.2 | | KP | 2 | | |
| | | 7 | | 55 | 1.5.3 | | KV | 4 | | |
| | | 7 | | 56 | 1.5.2 | | KS | 2 | | |
| | | 7 | | 57 | 9.6 | | | 1 | | asbestlis. |
| 56 | 53 | 7 | | 58 | 1.6.2 | | KS | 11 | | 0-10 cm |
| | | 7 | | 59 | 1.5.1 | | AN | 1 | | " (bergart) |
| | | 7 | | 60 | 1.5.2 | | KV | 27 | | " |
| | | 7 | | 61 | 1.5.3 | | KV | 3 | | " |
| | | 7 | | 62 | 1.5.3 | | KS | 1 | | " |
| | | 7 | | 63 | 1.5.3 | | FL | 1 | | " |
| | | 7 | | 64 | 1.5.2 | | FL | 3 | | " |
| | | 7 | | 65 | 1.5.2 | | AN | 1 | | " svart finkornet. |
| | | 7 | | 66 | 1.5.1 | | KV | 1 | | |
| 56 | 53 | 7 | | 67 | 1.5.3 | | KV | 1 | | 10 - 20 cm |
| | | 7 | | 68 | 1.5.2 | | KV | 10 | | " |
| | | 7 | | 69 | 1.5.2 | | KS | 4 | | " |
| | | 7 | | 70 | 1.5.2 | | MY(?) | 1 | | " |
| | | 7 | | 71 | 1.5.1 | | KS | 1 | | " emne, tilhugget. |
| | | 7 | | 72 | 1.5.1 | | AN | 2 | | " slipepl. fragm. |

| | X | Y | LAG | KV | FNR | TYPE | DEL | MAT | ANT | SUM | KOMMENTAR |
|---|---|---|---|---|---|---|---|---|---|---|---|
| | 56 | 53 | 7 | | 73 | 1.5.2 | | KV | 9 | | 20-30 CM |
| | | | 7 | | 74 | 1.5.2 | | KS | 3 | | " |
| | 56 | 54 | 7 | | 75 | 1.5.2 | | KV | 9 | | 0-10 CM |
| | | | 7 | | 76 | 1.5.2 | | KS | 2 | | " |
| | 56 | 54 | 7 | | 77 | 1.5.2 | | KS | 2 | | 10-20 CM |
| | | | 7 | | 78 | 1.5.2 | | FL | 1 | | " |
| | | | 7 | | 79 | 1.5.2 | | KV | 3 | | " |
| | | | 7 | | 80 | 1.5.3 | | KV | 1 | | " |
| Nb. | 56 | 54 | 7 | | 81 | 9.4.4 | | FL | 1 | | overfl. ret. spiss (bor ?) |
| | 56 | 56 | 7 | | 82 | 1.5.2 | | KV | 30 | | |
| | | | 7 | | 83 | 95 | | NT | 1 | | |
| NB | | | 7 | | 84 | 12.1 | | KS | 1 | | avslag av ret. gjenstand. |
| | 56 | 57 | | | | | | | | | |
| | 57 | 45 | 5 | | 85 | 1.5.2 | | KV | 1 | | |
| | | | 5 | | 86 | 1.5.2 | | FL | 1 | | Brent. |
| | 57 | 47 | 5 | | 87 | 1.5.2 | | FL | 2 | | |
| | | | 5 | | 88 | 1.5.2 | | KS | 2 | | |
| | 57 | 48 | 7 | | 89 | 1.5.2 | | KV | 7 | | 0-10 |
| | | | 7 | | 90 | 1.5.3 | | KV | 1 | | " |
| | | | 7 | | 91 | 1.5.2 | | KS | 1 | | " |
| | | | 7 | | 92 | 9.6.6 | | SK | 1 | | fragm. av emne |
| | | | 5 | | 93 | 15.3 | | AN | 1 | | Rund stein. |
| | 57 | 49 | 5 | | 94 | 1.5.2 | | KV | 1 | | |
| | 57 | 54 | 7 | | 95 | 1.5.1 | | KV | 2 | | 0-10 CM. |
| | | | 7 | | 96 | 1.5.2 | | KV | 9 (9) | | " |
| | | | 7 | | 97 | 1.5.2 | | KS | 3 | | " |
| | 57 | 54 | 7 | | 98 | 1.5.2 | | KS | 5 | | 10-20 CM |
| | | | 7 | | 99 | 1.5.2 | | KV | 5 | | " |
| | | | 7 | | 100 | 1.5.2 | | BK | 1 | | " |
| | | | 7 | | 101 | 9.6.2 | | SK | 1 | | i to deler (skiferspiss) |
| | 57 | 56 | 7 | | 102 | 1.5.2 | | KV | 18 | | |
| | | | 7 | | 103 | 1.5.2 | | KS | 2 | | |
| | | | 7 | | 104 | 1.5.3 | | KV | 4 | | |
| | | | 7 | | 105 | 98 | | FL | 1 | | vanns. flint. |

| X | Y | LAG | KV | FNR | TYPE | DEL | MAT | ANT | SUM | KOMMENTAR |
|---|---|---|---|---|---|---|---|---|---|---|
| 57 | 57 | 7 | | 106 | 1.5.2 | | KV | 12 | | |
| | | 7 | | 107 | 1.5.2 | | KS | 11 | | |
| | | 7 | | 108 | 1.5.1 | | KS | 2 | | |
| | | 7 | | 109 | 9.6.2 | M | SK | 2 | | |
| | | 7 | | 110 | 9.6.2 | M | AN | 1 | | bergart (?) |
| 58 | 47 | 5 | | 111 | 1.5.3 | | | 1 | | rund stein. |
| | | 5 | | 112 | 1.5.2 | | KS | 2 | | |
| | | 5 | | 113 | 1.5.1 | | KV | 1 | | |
| 58 | 47 | 7 | SVSØ | 114 | 1.5.2 | | KV | 16 | | 0-10 cm |
| | | 7 | SVSØ | 115 | 1.5.3 | | KV | 9 | | 0-10 cm |
| | | 7 | SVSØ | 116 | 1.5.2 | | KS | 6 | | 0-10 cm |
| | | 7 | SVSØ | 117 | 1.5.2 | | FL | 1 | | 0-10 cm |
| | | 7 | SVSØ | 118 | 1.5.2 | | SK | 1 | | 0-10 cm |
| | | 7 | SVSØ | 119 | 1.5.2 | | AN | 1 | | Bergart. |
| | | 7 | SVSØ | 120 | 1.5.1 | | AN | 1 | | fragm. slipeplate. |
| 58 | 48 | 7 | SVSØ | 121 | 1.5.2 | | KV | 11 | | 0-10 cm |
| | | 7 | " | 122 | 1.5.3 | | KV | 1 | | " |
| | | 7 | " | 123 | 1.5.2 | | KS | 1 | | " |
| | | 7 | " | 124 | 1.5.3 | | KS | 1 | | " |
| | | 7 | " | 125 | 1.5.1 | | SK | 1 | | " |
| | | 7 | " | 126 | 9.6.6 | | SK | 1 | | 0-10 emne-spiss. |
| 58 | 48 | 7 | " | 127 | 1.5.2 | | KV | 12 | | 10-20 cm |
| | | 7 | " | 128 | 1.5.3 | | KV | 7 | | " |
| | | 7 | " | 129 | 1.5.2 | | KS | 6 | | " |
| | | 7 | " | 130 | 1.5.3 | | FL | 1 | | " vanunnilla ? |
| | | 7 | " | 131 | 1.5.2 | | FL | 1 | | " |
| | | 7 | " | 132 | 1.5.1 | | SK | 1 | | " dekor ? |
| | | 7 | " | 133 | 1.3.2 | | AN | 1 | | " eksetragm. ? |
| | | 7 | " | 134 | 1.3.2 | | AN | 1 | | " |
| 58 | 49 | 5 | " | 135 | 1.5.2 | | KV | 4 | | |
| 58 | 49 | 7 | " | 136 | 1.5.2 | | KV | 8 | | 0-10 cm |
| | | 7 | " | 137 | 1.5.3 | | KV | 7 | | 0-10 cm. |
| | | 7 | " | 138 | 1.5.1 | | KV | 1 | | " |
| | | 7 | " | 139 | 1.5.2 | | FL | 2 | | " |
| | | 7 | " | 140 | 1.5.2 | | KS | 1 | | |
| 58 | 49 | 7 | " | 141 | 1.5.1 | | KV | 1 | | 10-20 |
| | | 7 | " | 142 | 1.5.2 | | KV | 23 | | " |
| | | 7 | " | 143 | 1.5.3 | | KV | 8 | | " |
| | | 7 | " | 144 | 1.5.2 | | FL | 1 | | " |
| | | 7 | " | 145 | 1.5.2 | | KS | 11 | | " |
| | | 7 | " | 146 | 1.5.1 | | KS | 3 | | " |
| | | 7 | " | 147 | 1.5.1 | | KV | 1 | | stor bit. |

B - 19642 Lok. 1ENGEBØ s. 5

| X | Y | LAG | KV | FNR | TYPE | DEL | MAT | ANT | SUM | KOMMENTAR |
|---|---|---|---|---|---|---|---|---|---|---|
| 58 | 50 | 7 | SVtSp | 148 | 1.5.1 | | AN | 3 | | Bergart 0-10 cm |
| | | 7 | SVtSp | 149 | 1.5.2 | | AN | 3 | | " 0-10 cm |
| | | 7 | " | 150 | 1.5.2 | | KV | 72 | | 0-10 cm |
| | | 7 | " | 151 | 1.5.3 | | KV | 37 | | " |
| | | 7 | " | 152 | 1.5.2 | | MY | 1 | | " |
| | | 7 | " | 153 | 1.5.3 | | FL | 1 | | " Brent |
| | | 7 | " | 154 | 1.5.2 | | AN | 2 | | " Bergart |
| | | 7 | " | 155 | 1.5.2 | | KS | 17 | | " |
| 58 | 50 | 7 | " | 156 | 1.5.3 | | KV/KS | 24 | | 10-20 |
| | | 7 | " | 157 | 1.5.2 | | KV | 45 | | " |
| | | 7 | | 158 | 1.5.1 | | KS | 1 | | " |
| | | 7 | " | 159 | 1.5.2 | | KS | 27 | | " |
| | | 7 | " | 160 | 1.5.2 | | AN | 5 | | " bergart |
| | | 7 | | 161 | 1.5.1 | | AN | 1 | | " " |
| | | 7 | " | 162 | 1.5.2 | | FL | 1 | | " |
| | | 7 | " | 163 | 1.5.3 | | FL | 2 | | " ett m/overfl. ret. |
| | | 7 | " | 164 | 1.5.1 | | AN | 1 | | " slipepl. |
| | | 7 | " | 165 | 9.6.6 | | SK | 2 | | " innrissede linjer? |
| 58 | 55 | 7 | | 166 | 1.5.3 | | KV/KS | 130 | | |
| | | 7 | | 167 | 1.5.2 | | KV | 94 | | |
| | | 7 | | 168 | 1.5.2 | | KS | 126 | | |
| | | 7 | | 169 | 1.6.2 | | AN | 9 | | Bergart. |
| | | 7 | | 170 | 1.5.3 | | FL | 1 | | |
| | | 7 | | 171 | 12.1 | | KS | 1 | | Ret. avslag. |
| | | 7 | | 172 | 1.5.1 | | AN | 3 | | slipepl. |
| | | 7 | | 173 | 9.6.2 | B | SK | 1 | | tangedel av skiferspiss |
| | | 7 | | 174 | 9.6.2 | M | SK | 1 | | midtfragm. - " - |
| | | 7 | | 175 | 9.6.2 | F | SK | 1 | | spiss |
| | | 7 | | 176 | 9.6.6 | | SK | | | fragm. emne |
| 58,5 | 48,2 | 7 | | 177 | 9.4.4 | | KV | 1 | | emne? |
| | | 7 | | 178 | 4.3.1 | | AN | 1 | | bergart. fragment Vestre Ø. |
| 59 | 44 | (V3) | | 179 | 1.5.3 | | FL | 4 | | flatret. flis. |
| 59 | 46 | 7 | | 180 | 1.5.1 | | AN | 1 | | slipeplatefragment. |
| 59 | 48 | 7 | | 181 | 1.5.2 | | FL | 4 | | |
| | | 7 | | 182 | 1.5.3 | | FL | 1 | | |
| | | 7 | | 183 | 1.5.2 | | SK | 2 | | |
| | | 7 | | 184 | 1.5.3 | | KV/KS | 56 | | |
| | | 7 | | 185 | 1.5.1 | | KV | 4 | | |
| | | 7 | | 186 | 1.5.2 | | KV | 135 | | |
| | | 7 | | 187 | 1.5.2 | | AN | 5 | | |
| | | 7 | | 188 | 1.5.3 | | AN | 1 | | |
| | | 7 | | 189 | 1.5.1 | | KS | 2 | | |
| | | 7 | | 190 | 1.5.2 | | KS | 43 | | |
| | | 7 | | 191 | 1.5.2 | | MY | 1 | | |
| | | 7 | | 192 | 1.5.3 | | | 1 | | Rund kjerne. |

forts.

| X | Y | LAG | KV | FNR | TYPE | DEL | MAT | ANT | SUM | KOMMENTAR |
|---|---|---|---|---|---|---|---|---|---|---|
| 59 | 48 | 7 | | 193 | 1.5.2 | | FL | 1 | | m/retusj. |
| | | 7 | | 194 | 15.1 | | AN | 2 | | slipepl. + fragm. |
| | | 7 | | 195 | 9.6.2 | M | SK | 1 | | midtfragm. slipespiss. |
| | | 7 | | 196 | 11.4 | | FL | 1 | | |
| 60 | 44 | 6 | | 197 | 12.1 | | FL | 1 | | |
| 58 | 47 | 7 | | | | | | | | |
| | 52y sjakt | | | 198 | 4.0 | | AN | | | bergart økseemne. |
| | under sålebord | | | 199 | 4.1 | | AN | | | bergart, slipt nakkefragm. |
| 55 | 41 | (5) | | 200 | | | | | | fornuftelling? |
| Vikkinn: nedkringravde masser: | | | | | | | | | | slipeplate. |
| G32 | | 5 | | 201 | 11.4 | | KS | 1 | | skraper? |
| | | 5 | | 202 | 15.2 | | FL | 1 | | |
| 52y sjakt | | | | 203 | 15.2 / 15.7 | | | | | knakkestein/ambolttstein. |
| overflatepåsamt. etter maskingravning (store telt): | | | | | | | | | | |
| | | | | 204 | 15.1 | | | 1 | | slipeplate. |
| | | | | 205 | 1.5.1 | | KV | 10 | | |
| | | | | 206 | 1.5.2 | | KV | 64 | | |
| | | | | 207 | 1.5.1 | | KS | 1 | | |
| | | | | 208 | 1.5.2 | | KS | 2 | | |
| under I22 | | lag (5) (7) | | 209 | 1.5.2 | | KS | 4 | | |
| i S44 | | | | 210 | 1.5.2 | | FL | 1 | | |
| | | | | 211 | 1.5.3 | | KV | 1 | | |
| G32 | | lag (5) | | 212 | 1.5.2 | | KS | 3 | | |
| | | | | 213 | 1.5.2 | | KV | 3 | | |
| under I22 | | 7 | | 214 | 4.3.2 | | AN | 1 | | fiksid. bergartsøks. |
| i kant av str I7 | | | | 227 | | | | | | i skyldige bronse? |

14642

| X | Y | LAG | KV | FNR | TYPE | DEL | MAT | ANT | SUM | KOMMENTAR |
|---|---|---|---|---|---|---|---|---|---|---|
| Innsamlet under arbeide januar 1992 (se rapport). | | | | | | | | | | |
| Østre felt | | | | 215 | 8.1 | | SK | 1 | 1 | emne til skiferkniv? |
| | | | | 216 | 15.1 | | ST | | 2 | skiperplate. |
| | | | | 217 | 12.1 | | KV | | 1 | ret avsl. |
| | | | | 218 | 15.2 | | KV | | 1 | |
| | | | | 219 | 4.3 | | AN | | 1 | fragm. av firesid. ba. avs |
| | | | | 220 | 4.3 | | AN | | 1 | mudtfram av |
| | | | | 2 | | | | | | tilnærma firesid. avs |
| | | | | | | | | | | litt av eggsl. |
| | | | | 221 | 2.4 | | KS | | 1 | uregelmessig [illegible] |
| Vestre felt | | | | 222 | 15.1 | | ST | | 1 | skiperplate |
| | | | | 223 | 15.1 | | KS | | 1 | m/retusj? |
| | | | | 224 | 15.2 | | KS | | 2 | |
| | | | | 225 | 15.2 | | KV | | 5 | |
| | | | | 226 | 96.2 | M | SK | | 1 | skiverspon frgm. |

FUNNKATAL. : LOK.1 ENGEBO, NAUSTDAL K. B 14642

1 skraper av flint, 1 flatretusjert pilespiss av flint, en flatretusjert pilespiss av kvartsitt, 2 fragmenter av slipeplater, 1 mulig knakkestein, 1 mulig bipolar kjerne av kvartsitt, 1 kvartsittbit med mulige bruksspor langs en egg, 1 *mulig* fragment av flatret. eggredskap av flint, 1 bit pêarbeit, 1 brent hasselnøttskall, 2 vannrulla flintbiter, 4 kvartsbiter, 1 kvartsittbit, 28 avsl. av kvarts, 13 avsl. av flint, 419 avsl. av kvartsitt, 2 avsl. av bergkrystall, 1 avsl. av skifrig bergart, 34 flatretusjeringsflis av flint, 145 flatret.flis av kvartsitt.

Fordelt slik:

41 x 49,5-50 v

9 avsl. kvartsitt
1 avsl. kvarts

41,5-42,5 x 51 v

33 avsl. kvartsitt
1 avsl. kvarts
1 flatret.flis flint
14 " kvartsitt
2 vannrulla flintbiter

42 x 49 v

79 avsl. kvartsitt
2 avsl. kvarts
8 flatret.flis flint
43 " kvartsitt

1 *mulig* fragment av flatretusjert egg-redsk. av flint.

42,5-43,5 x 51 v

1 avlangt skraperlignende redskap av flint med retusj langs kantene
15 avsl. kvartsitt

42,5-43,5 x 52 v

1 avsl. flint
1 avsl. kvartsitt
1 avsl. kvarts

43 x 48 v

2 avsl. kvartsitt
1 avsl. kvarts
13 flatret.flis flint
4 " kvarts

43 x 49 y

49 avsl. kvartsitt

43,5-44,5 x 51 y

1 flatretusjert pil-spiss m/svakt innbuet basis av flint

58 avsl. kvartsitt
98 ret.flis/små avslag kvartsitt
1 flatret. flis flint
2 " kvartsitt
1 bit råasbest

44 x 49 y

6 avsl. kvartsitt
2 avsl. kvarts

44,5-45,5 x 50 y

7 avsl. kvartsitt
1 avsl. flint

53 x 52 y 20-30 cm

3 avsl. kvarts
1 avsl. flint

54 x 52 y 10-20 cm.

22 avsl. kvartsitt
11 avsl. kvarts
3 avsl. flint, hvorav 1 brent
2 avsl. bergkrystall
11 flatret.flis kvartsitt
2 " flint
1 " kvarts

55 x 52 y lag 1

1 avsl. flint
5 avsl. kvartsitt

56 x 52 y 0-10 cm.

3 avsl. kvartsitt

57 x 52 y lag 1

3 avsl. kvartsitt
2 avsl. kvarts
1 flatret.flis flint
1 " kvartsitt

58 x 12 v

1 avsl. kvartsitt
1 brent hasselnøttskall
1 flintflis (av slipt gjenstand ?
2 flatret.flis kvartsitt

50 v sjakt (ikke gravd i meterruter)

1 mulig bipolar kjerne av kvartsitt
4 kvartsbiter
1 bit flint m/cortex
107 avsl. kvartsitt
1 avsl. flint
1 avsl. skifrig bergart
72 flatret.flis/små avslag kvartsitt
7 flatret.flis flint

51 v sjakt (ikke gravd i meterruter)

1 kvartsittbit med mulige bruksspor langs en egg
1 kvartsittbit
18 avsl. kvartsitt

Overflateoppsamlet SØ-del av Østlig felt.

1 flatretusjert pilespiss (emne?) av kvartsitt
rett basis, l: 3,3 cm st.br.: 2,1 cm
1 avsl. kvartsitt
1 avsl. flint

Funn fra usikker kontekst.

1 Fragm. av slipeplate fra avtorvningsmassen, l: 14,5 cm
1 fragm. av slipeplate fra løsmasser fra vestre dreneringsgrøft.
2 avsl. flint (funnet under krafsing)
1 mulig knakkestein

# VEDLEGG 5

## Funnkatalog Lok. 2 Engebø

B - 14705 Lok. II ENGEBØ / NAUSTDAL K. SogFj s. 1

| X | Y | LAG | KV | FNR | TYPE | DEL | MAT | ANT | SUM | KOMMENTAR |
|---|---|---|---|---|---|---|---|---|---|---|
| 48 | 47 | 1 | | 1 | 1.5.3 | | FL | 18 | | |
| 48 | 47 | 1 | | 2 | 1.5.2 | | FL | 22 | | |
| 48 | 47 | 1 | | 3 | 1.5.3 | | KV | 77 | | |
| 48 | 47 | 1 | | 4 | 1.5.2 | | KV | 98 | | |
| 48 | 47 | 1 | | 5 | 1.5.2 | | KS | 9 | | Kalsedon? |
| 48 | 47 | 1 | | 6 | 1.5.1 | | KV | 1 | | |
| 48 | 47 | 1 | | 7 | 1.5.2 | | MY+AN | 27 | | |
| 48 | 47 | 1 | | 8 | 1.5.3 | | AN | 15 | | |
| 48 | 47 | 1 | | 9 | 93. | | KV | 1 | | Bergkrystall |
| 48 | 47 | 1 | | 10 | 1.3.2 | | BA | 1 | | brt av egg; slipt (øks) |
| 48 | 47 | 1 | | 11 | 1.1.3 | | KV | 2 | | |
| 48 | 47 | 2 | | 12 | 1.5.3 | | FL | 20 | | |
| 48 | 47 | 2 | | 13 | 1.5.2 | | FL | 17 | | |
| 48 | 47 | 2 | | 14 | 1.5.3 | | KV | 70 | | |
| 48 | 47 | 2 | | 15 | 1.5.2 | | KV | 88 | | |
| 48 | 47 | 2 | | 16 | 1.5.3 | | MY+AN | 14 | | |
| 48 | 47 | 2 | | 17 | 1.5.2 | | AN | 1 | | |
| 48 | 47 | 2 | | 18 | 14.1.2 | | KL | 3 | | kleberfragm. |
| 48 | 47 | 2 | | 19 | 15.1 | | ST | 1 | | slipeplatefragm. |
| 48 | 47 | 2 | | 20 | 93. | | KV | 1 | | bergkrystall |
| 48 | 47 | 2 | | 21 | 1.1.2 | P | FL | 1 | | smalflekkefragm. |
| | | | | | | | | | | |
| 47 | 48 | 2 | | 22 | 14.1.2 | | KL | 1 | | se egen beskrivelse |
| 47 | 48 | 2 | | 23 | 1.5.3 | | FL | 2 | | |
| 47 | 48 | 2 | | 24 | 1.5.2 | | FL | 8 | | |
| 47 | 48 | 2 | | 25 | 1.5.3 | | KV | 6 | | |
| 47 | 48 | 2 | | 26 | 1.5.2 | | KV | 22 | | |
| 47 | 48 | 2 | | 27 | 1.5.2 | | AN/MY | 7 | | |
| 47 | 48 | 2 | | 28 | 1.5.2 | | AN | 1 | | |
| 47 | 48 | 2 | | 29 | 12.1 | | KS | 1 | | ret. avsl. (kalsedon?) |
| 47 | 48 | 2 | | 30 | 15.1 | | ST | 1 | | slipeplatefragm. |
| 47 | 48 | 2 | | 31 | 1.2.1 | | KV | 1 | | ~~mikrofl.~~ fragm/ryggfl |
| 47 | 48 | 2 | | 32 | 1.1.3 | D | FL | 1 | | |
| | | | | | | | | | | |
| 48 | 47 | 2 | | 33 | 14.1.1 | | KL | 1 | | fiskesøkke |
| 48 | 47 | 2 | | 34 | 9.5.1 | | FL | | | Bor? |
| | | | | | | | | | | |
| 48 | 49 | 1 | | 35 | 1.5.3 | | FL | 11 | | |
| 48 | 49 | | | 36 | 1.5.2 | | FL | 11 | | |
| 48 | 49 | | | 37 | 1.5.3 | | KV | 17 | | |
| 48 | 49 | | | 38 | 1.5.2 | | KV | 43 | | |
| 48 | 49 | | | 39 | 1.5.3 | | AN-MY | 7 | | |
| 48 | 49 | | | 40 | 1.5.2 | | AN-MY | 11 | | |
| 48 | 49 | | | 41 | 1.5.2 | | AN | 3 | | |
| 48 | 49 | | | 42 | 1.5.2 | | KS | 7 | | Kalsedon? |
| 48 | 49 | | | 43 | 95 | | | | | nøttuskall |
| 48 | 49 | | | 44 | 2.3 | | AN-MY | 1 | | bipolar kjerne |
| 48 | 49 | | | 45 | 1.1.1 | | FL | 1 | | flekke |
| 48 | 49 | | | 46 | 4.0 | | BA | 1 | | økse-emne diabas |

B.- 14705 Lok. 2 ENGEBØ, NAUSDAL K. Sogn Fj. s. 2

| X | Y | LAG | KV | FNR | TYPE | DEL | MAT | ANT | SUM | KOMMENTAR |
|---|---|---|---|---|---|---|---|---|---|---|
| 48 | 50 | 1 | | 47 | 1.5.3 | | FL | 2 | | |
| 48 | 50 | 1 | | 48 | 1.5.2 | | FL | 6 | | |
| 48 | 50 | 1 | | 49 | 1.5.3 | | KV | 33 | | |
| 48 | 50 | 1 | | 50 | 1.5.2 | | KV | 46 | | |
| 48 | 50 | 1 | | 51 | 1.5.1 | | KV | 1 | | |
| 48 | 50 | 1 | | 52 | 1.5.2 | | KS | 3 | | Kalsedon ? |
| 48 | 50 | 1 | | 53 | 1.5.3 | | AN-MY | 5 | | |
| 48 | 50 | 1 | | 54 | 1.5.2 | | AN MY | 5 | | |
| 48 | 50 | 1 | | 55 | 1.5.2 | | AN | 2 | | |
| 48 | 50 | 1 | | 56 | 1.5.3 | | FL | 2 | | |
| 48 | 50 | 1 | | 57 | 1.5.2 | | FL | 2 | | |
| 48 | 50 | 1 | | 58 | 1.5.3 | | KV | 7 | | |
| 48 | 50 | 1 | | 59 | 1.5.2 | | KV | 8 | | |
| 49 | 47 | 1 | | 60 | 1.5.3 | | KV | 213 | | |
| 49 | 47 | 1 | | 61 | 1.5.2 | | KV | 211 | | |
| 49 | 47 | 1 | | 62 | 1.5.1 | | KV | 1 | | |
| 49 | 47 | 1 | | 63 | 1.5.3 | | FL | 59 | | |
| 49 | 47 | 1 | | 64 | 1.5.2 | | FL | 49 | | |
| 49 | 47 | 1 | | 65 | 1.5.2 | | MY-AN | 45 | | |
| 49 | 47 | 1 | | 66 | 1.5.3 | | MY-AN | 22 | | |
| 49 | 47 | 1 | | 67 | 1.5.2 | | AN | 14 | | |
| 49 | 47 | 1 | | 68 | 1.5.2 | | KS | 12 | | |
| 49 | 47 | 1 | | 69 | 1.5.3 | | AN | 3 | | lys grønn finkl. bergart |
| 49 | 47 | 1 | | 70 | 1.5.3 | | AN | 4 | | — " — |
| 49 | 47 | 1 | | 71 | 15.1 | | ST | 1 | | slipeplatefragment |
| 49 | 47 | 1 | | 72 | 14.1.2 | | KL | 1 | | klebarbit |
| 49 | 47 | 1 | | 73 | 1.1.3 | P | FL | 1 | | mikroflekke |
| 49 | 47 | 1 | | 74 | 1.1.3 | P | MY-AN | 1 | | — " — |
| 49 | 47 | 1 | | 75 | 1.1.2 | P | KV | 1 | | smaflekke |
| 49 | 47 | 1 | | 76 | 1.1.3 | M | KV | 2 | | |
| 49 | 47 | 1 | | 77 | 2.3 | | MY-AN | 1 | | bipolar kjerne |
| 49 | 47 | 1 | | 78 | 2.3 | | FL | | | — " — |
| 49 | 47 | 1 | | 79 | 2.3 | | KS | 1 | | — " — (kalsedon) |
| 49 | 47 | 1 | | 80 | 2.3 | | KV | 1 | | — " — (bergkrystall) |
| 49 | 48 | 1 | | 81 | 1.5.3 | | FL | 17 | | |
| 49 | 48 | 1 | | 82 | 1.5.2 | | FL | 17 | | |
| 49 | 48 | 1 | | 83 | 1.5.3 | | KV | 90 | | |
| 49 | 48 | 1 | | 84 | 1.5.2 | | KV | 99 | | |
| 49 | 48 | 1 | | 85 | 1.5.2 | | MY-AN | 17 | | |
| 49 | 48 | 1 | | 86 | 1.5.2 | | AN | 7 | | lys grønn finkl bergart |
| 49 | 48 | 1 | | 87 | 1.5.2 | | AN | 4 | | grov bergart. |
| 49 | 48 | 1 | | 88 | 1.5.3 | | MY-AN | 4 | | |
| 49 | 48 | 1 | | 89 | 12.1 | | KV | 1 | | retusjert avslag |
| 49 | 48 | 1 | | 90 | 11.2.2 | | FL | 1 | | "fleinedraper" |
| 49 | 48 | 1 | | 91 | 2.3 | | KV | 1 | | bipolar kjerne (bergkr.) |
| 49 | 48 | 1 | | 92 | 1.1.3 | | KV | 2 | | mikroflekked |
| 49 | 48 | 1 | | 93 | 11. | | KV | 1 | | skraperfragment |
| 49 | 48 | 1 | | 94 | 15.1 | | ST | 5 | | slipeplatefragment |
| 49 | 48 | 1 | | 95 | 4.6 | | BA | 1 | | meisel-emne ? |

B - 14705 Lok. 2 ENGEBØ - NAUSTDAL K. S.og Fj. s. 3

| X | Y | LAG | KV | FNR | TYPE | DEL | MAT | ANT | SUM | KOMMENTAR |
|---|---|---|---|---|---|---|---|---|---|---|
| 49 | 49 | 1 | | 96 | 14.1.2 | | KL | 1 | | m/innsseede linjer. |
| 49 | 49 | 1 | | 97 | 8.2 | M | SK | 1 | | Skiferdolk fragment |
| 49 | 49 | 1 | | 98 | 4.0 | | BA | 1 | | meisel-emne ? |
| 49 | 49 | 1 | | 99 | 1.5.3 | | FL | 21 | | |
| 49 | 49 | 1 | | 100 | 1.5.2 | | FL | 19 | | |
| 49 | 49 | 1 | | 101 | 1.5.3 | | KV | 65 | | |
| 49 | 49 | 1 | | 102 | 1.5.2 | | KV | 110 | | |
| 49 | 49 | 1 | | 103 | 1.5.2 | | MY-AN | 18 | | |
| 49 | 49 | 1 | | 104 | 1.5.3 | | MY-AN | 7 | | |
| 49 | 49 | 1 | | 105 | 1.5.2 | | AN | 10 | | lys grønn flint ba. |
| 49 | 49 | 1 | | 106 | 1.5.3 | | AN | 4 | | |
| 49 | 49 | 1 | | 107 | 1.5.2 | | KS | 1 | | |
| 49 | 49 | 1 | | 108 | 15.1 | | ST | 1 | | Slipeplate fragment. |
| 49 | 49 | 1 | | 109 | 1.1.3 | P | MY/AN | 1 | | mikroflekkfragm. |
| 49 | 50 | 1 | | 110 | 1.5.3 | | FL | 3 | | |
| 49 | 50 | 1 | | 111 | 1.5.2 | | FL | 20 | | |
| 49 | 50 | 1 | | 112 | 1.5.3 | | KV | 31 | | |
| 49 | 50 | 1 | | 113 | 1.5.2 | | KV | 50 | | |
| 49 | 50 | 1 | | 114 | 1.5.2 | | MY-AN | 19 | | |
| 49 | 50 | 1 | | 115 | 1.5.3 | | AN | 1 | | lys flint bergart. |
| 49 | 50 | 1 | | 116 | 1.5.2 | | AN | 6 | | mørk grovere bergart |
| 49 | 50 | 1 | | 117 | 1.5.3 | | AN | 2 | | — " — |
| 49 | 50 | 1 | | 118 | 15.1 | | ST | 4 | | Slipeplate frgm. |
| 49 | 50 | 1 | | 119 | 1.1.3 | P | FL | 1 | | mikroflekke |
| 49 | 50 | 1 | | 120 | 1.1.3 | P | FL | 1 | | — " — |
| 49 | 50 | 1 | | 121 | 1.1.3 | D | KV | 1 | | — " — |
| 49 | 50 | 1 | | 122 | 2.3 | | KV | 3 | | bipolare kjerner |
| 49 | 50 | 1 | | 123 | 14.1.2 | | KL | 3 | | kleberbiter |
| 50 | 47 | 1 | | 124 | 1.5.3 | | FL | 15 | | |
| 50 | 47 | 1 | | 125 | 1.5.2 | | FL | 31 | | |
| 50 | 47 | 1 | | 126 | 1.5.3 | | KV | 169 | | |
| 50 | 47 | 1 | | 127 | 1.5.2 | | KV | 63 | | |
| 50 | 47 | 1 | | 128 | 1.5.2 | | KS | 7 | | kassedon (?) |
| 50 | 47 | 1 | | 129 | 1.5.3 | | AN-MY | 5 | | |
| 50 | 47 | 1 | | 130 | 1.5.2 | | AN-MY | 21 | | |
| 50 | 47 | 1 | | 131 | 1.5.2 | | AN | 15 | | mørk flint/kvarts bergart |
| 50 | 47 | 1 | | 132 | 1.5.3 | | AN | 5 | | lys grønn flint ba. |
| 50 | 47 | 1 | | 133 | 1.5.2 | | AN | 11 | | — " — |
| 50 | 47 | 1 | | 134 | 1.5.2 | | SK | 1 | | Skifer bergart |
| 50 | 47 | 1 | | 135 | 1.3 | | BA | 1 | | avsl. slipt bergartsgjenst. |
| 50 | 47 | 1 | | 136 | 9.3. | | KV | 1 | | bergkrystall |
| 50 | 47 | 1 | | 137 | 2.3 | | KV | 1 | | bipolar kjerne |
| 50 | 47 | 1 | | 138 | 12.1.1 | | KV | 1 | | avsl. m/knusespor |
| 50 | 47 | 1 | | 139 | 1.1.3 | P | KV | 1 | | mikroflekke |
| 50 | 47 | 1 | | 140 | 1.1.3 | M | FL | 1 | | — " — |
| 50 | 47 | 1 | | 141 | 1.1.2 | P | KV | 1 | | — " — bergkrystall |
| 50 | 47 | 1 | | 142 | 1.1.3 | P | KS | 1 | | — " — |
| 50 | 47 | 2 | | 143 | 4.1.1 | | BA | 1 | | øksemne. |

| X | Y | LAG | KV | FNR | TYPE | DEL | MAT | ANT | SUM | KOMMENTAR |
|---|---|---|---|---|---|---|---|---|---|---|
| 50 | 48 | 1 | | 144 | 1.5.3 | | FL | 14 | | |
| 50 | 48 | 1 | | 145 | 1.5.2 | | FL | 20 | | |
| 50 | 48 | 1 | | 146 | 1.5.3 | | KV | 58 | | |
| 50 | 48 | 1 | | 147 | 1.5.2 | | KV | 83 | | |
| 50 | 48 | 1 | | 148 | 1.5.2 | | MY-AN | 8 | | |
| 50 | 48 | 1 | | 149 | 1.5.2 | | AN | 6 | | lys grønn finkl. tra. |
| 50 | 48 | 1 | | 150 | 1.5.2 | | KS | 3 | | |
| 50 | 48 | 1 | | 151 | 1.5.2 | | AN | 16 | | |
| 50 | 48 | 1 | | 152 | 1.5.2 | | BA | 1 | | diabas ? |
| 50 | 48 | 1 | | 153 | 14.1.2 | | KL | 2 | | kleberbiter |
| 50 | 48 | 1 | | 154 | 9.6 | | Æ | 2 | | asbestfiber |
| 50 | 48 | 1 | | 155 | 1.1.3 | | KS | 1 | | mikroflekker. |
| 50 | 48 | 1 | | 156 | 11.2.1 | | FL | 1 | | Skraper |
| 50 | 48 | 1 | | 157 | 12.1 | | KV | 1 | | retusjert avslag |
| 50 | 48 | 1 | | 158 | 2.3 | | KV | 1 | | bipolar kjerne / bergkr. |
| 50 | 48 | 1 | | 159 | 9.5.2 | | FL | 1 | | flekkebor |
| 50 | 48 | 1 | | 160 | 15.1 | | ST | 6 | | slipeplatefragment |
| 50 | 49 | 1 | | 161 | 1.5.3 | | FL | 11 | | |
| 50 | 49 | 1 | | 162 | 1.5.2 | | FL | 13 | | |
| 50 | 49 | 1 | | 163 | 1.5.3 | | KV | 50 | | |
| 50 | 49 | 1 | | 164 | 1.5.2 | | KV | 59 | | |
| 50 | 49 | 1 | | 165 | 1.5.3 | | AN-MY | 2 | | |
| 50 | 49 | 1 | | 166 | 1.5.2 | | AN-MY | 16 | | |
| 50 | 49 | 1 | | 167 | 1.5.2 | | AN | 8 | | lys grønn finkl. bergar |
| 50 | 49 | 1 | | 168 | 15.4 | (?) | | 1 | | rundstein m/2 slipte flate |
| 50 | 49 | 1 | | 169 | 14.1.2 | | KL | 2 | | kleberbiter |
| 50 | 49 | 1 | | 170 | 15.5 | | | 1 | | pumpstein |
| 50 | 49 | 1 | | 178 | 15.4 | | AN | 1 | | fragm. av malestein ? |
| 50 | 49 | 1 | | 172 | 15.1 | | ST | 2 | | slipeplatefragmenter |
| 50 | 49 | 1 | | 173 | 9.5.2 | | FL | 1 | | bor |
| 50 | 49 | 1 | | 174 | 12.1 | | FL | 1 | | retusjert avslag |
| 50 | 49 | 1 | | 175 | 12.1 | | KS | 1 | | — " — |
| 50 | 49 | 1 | | 176 | 1.1.2 | M | KV | 1 | | Smalflekke |
| 50 | 49 | 1 | | 177 | 1.1.3 | D | FL | 1 | | mikroflekker |
| 50 | 49 | 1 | | 178 | 1.1.3 | P | KS | 1 | | — " — |
| 50 | 50 | 1 | | 179 | 12.2.3 | | FL | 1 | | retusjert hult rundt |
| 50 | 50 | 1 | | 180 | 12.1 | | FL | 1 | | retusjert avslag |
| 50 | 50 | 1 | | 181 | 9.3 | | KV | 1 | | bergkrystall |
| 50 | 50 | 1 | | 182 | 12.1.1 | | KV | 1 | | fragm. av bipolar kjerne |
| 50 | 50 | 1 | | 183 | 2.3 | | KV | 1 | | bipolar kjerne |
| 50 | 50 | 1 | | 184 | 1.5.2 | | KV | 3 | | |

| X | Y | LAG | KV | FNR | TYPE | DEL | MAT | ANT | SUM | KOMMENTAR |
|---|---|---|---|---|---|---|---|---|---|---|
| 51 | 47 | 1 | | 185 | 153 | | FL | 11 | | |
| 51 | 47 | 1 | | 186 | 152 | | FL | 12 | | |
| 51 | 47 | 1 | | 187 | 153 | | KV | 179 | | |
| 51 | 47 | 1 | | 188 | 152 | | KV | 207 | | |
| 51 | 47 | 1 | | 189 | 152 | | MY-AN | 21 | | |
| 51 | 47 | 1 | | 190 | 153 | | AN | 12 | | grønn finkornet ba. |
| 51 | 47 | 1 | | 191 | 152 | | AN | 18 | | " " |
| 51 | 47 | 1 | | 192 | 152 | | AN | 6 | | mørk grå finkk. ba. |
| 51 | 47 | 1 | | 193 | 152 | | KS | 4 | | |
| 51 | 47 | 1 | | 194 | 152 | | AN | 5 | | lys grå bergart |
| 51 | 47 | 1 | | 195 | 151 | | AN | 1 | | lys grønn bergart. |
| 51 | 47 | 1 | | 196 | 14.12 | | KL | 8 | | kleberbiter |
| 51 | 47 | 1 | | 197 | 152 | | | 1 | | knakkestein. |
| 51 | 47 | 1 | | 198 | 151 | | ST | 1 | | slipeplate fragment |
| 51 | 47 | 1 | | 199 | 15.5 | | | 1 | | pimpstein |
| 51 | 47 | 1 | | 200 | 95.2 | | FL | 1 | | borspiss |
| 51 | 47 | 1 | | 201 | 1.13 | P | FL | 2 | | mikroflekker |
| 51 | 47 | 1 | | 202 | 12.1 | | FL | 2 | | retusjerte avslag |
| 51 | 47 | 1 | | 203 | 1.13 | P | AN | 1 | | mikroflekker |
| 51 | 47 | 1 | | 204 | 1.1.3 | P | KV | 1 | | " bergkr. |
| 51 | 47 | 1 | | 205 | 23 | | FL | 1 | | bipolar kjerne |
| 51 | 47 | 1 | | 206 | 23 | | KV | 1 | | " bergkr. |
| 51 | 47 | 1 | | 207 | 12.11 | | KV | 1 | | avslag m/ knuseflater |
| 51 | 47 | 1 | | 208 | 6.2 | | FL | 1 | | oddfrgm. dolk/spyd? |
| 51 | 47 | 1 | | 209 | 14.11 | | KL | 1 | | fiskeskulke |
| 51 | 47 | 1 | | 210 | | | | | | perle (frgm) |
| 51 | 47 | 1 | | 211 | 95. | | NT | | | hatteskall |
| 51 | 47 | 2 | | 212 | 153 | | FL | 17 | | |
| 51 | 47 | 2 | | 213 | 152 | | FL | 17 | | |
| 51 | 47 | 2 | | 214 | 153 | | KV | 161 | | |
| 51 | 47 | 2 | | 215 | 152 | | KV | 215 | | |
| 51 | 47 | 2 | | 216 | 151 | | KV | 2 | | |
| 51 | 47 | 2 | | 217 | | | KV | 1 | | tri kvit glatt stein |
| 51 | 47 | 2 | | 218 | 152 | | MY-AN | 14 | | |
| 51 | 47 | 2 | | 219 | 153 | | MY-AN | 5 | | |
| 51 | 47 | 2 | | 220 | 152 | | AN | 10 | | mørk finkk. bergart |
| 51 | 47 | 2 | | 221 | 152 | | AN | 16 | | grønn finkk bergart |
| 51 | 47 | 2 | | 222 | 153 | | AN | 9 | | " " |
| 51 | 47 | 2 | | 223 | 152 | | AN | 1 | | lys grå bergart |
| 51 | 47 | 2 | | 224 | 152 | | KS | 6 | | kalsedon? |
| 51 | 47 | 2 | | 225 | 152 | | AN | 1 | | amb. stein / knakkest. |
| 51 | 47 | 2 | | 226 | 15.2 | | AN | 1 | | knakkestein |
| 51 | 47 | 2 | | 227 | 1.41.2 | | KL | 5 | | kleberbiter |
| 51 | 47 | 2 | | 228 | 93 | | KV | 1 | | bergkrystall |
| 51 | 47 | 2 | | 229 | 1.1.2 | | MY-AN | 1 | | småflekke |
| 51 | 47 | 2 | | 230 | 113 | M | FL | 1 | | mikroflekke |
| 51 | 47 | 2 | | 231 | 2.1.1 | | KV | 1 | | konisk mikrofl. kj. |
| 51 | 47 | 2 | | 232 | 2.3 | | KV | 1 | | bip. kjerne kvarts |
| 51 | 47 | 2 | | 233 | 2.3 | | KV | 1 | | " bergkrist. |

| X | Y | LAG | KV | FNR | TYPE | DEL | MAT | ANT | SUM | KOMMENTAR |
|---|---|---|---|---|---|---|---|---|---|---|
| 51 | 48 | 1 | | 234 | 1.5.3 | | FL | 20 | | |
| 51 | 48 | 1 | | 235 | 152 | | FL | 17 | | |
| 51 | 48 | 1 | | 236 | 153 | | KV | 94 | | |
| 51 | 48 | 1 | | 237 | 152 | | KV | 104 | | |
| 51 | 48 | 1 | | 238 | 152 | | KS | 5 | | Kalsedon |
| 51 | 48 | 1 | | 239 | 152 | | MY-AN | 19 | | |
| 51 | 48 | 1 | | 240 | 153 | | MY-AN | 4 | | |
| 51 | 48 | 1 | | 241 | 153 | | AN | 2 | | lys grønn fink. bergart |
| 51 | 48 | 1 | | 242 | 152 | | AN | 5 | | — " — |
| 51 | 48 | 1 | | 243 | 152 | | AN | 10 | | mørk grå fink. bergart. |
| 51 | 48 | 1 | | 244 | 152 | | AN | 3 | | lys fink. bergart. |
| 51 | 48 | 1 | | 245 | | | | | | tilslått "rullestein" |
| 51 | 48 | 1 | | 246 | 15.1 | | ST | 2 | | slipeplatefragment. |
| 51 | 48 | 1 | | 247 | 14.1.2 | | KL | 4 | | kleberbiter. |
| 51 | 48 | 1 | | 248 | 113 | | FL | 1 | | mikroflekke |
| 51 | 48 | 1 | | 249 | 113 | | FL | 1 | | — " — |
| 51 | 48 | 1 | | 250 | 113 | | FL | 1 | | — " — |
| 51 | 48 | 1 | | 251 | 113 | | AN | 1 | | — " — |
| 51 | 48 | 1 | | 252 | 2.3 | | AN | 1 | | bipolar kjerne. |
| 51 | 48 | 1 | | 253 | 12.1 | | KV | 1 | | retusjert avsl. bergkr |
| 51 | 48 | 1 | | 254 | 12.1 | | KV | 1 | | — " — kvarts |
| 51 | 48 | 1 | | 255 | 12.1.1 | | KV | 1 | | avsl. m/knusespor |
| 51 | 48 | 1 | | 256 | 12.1.1 | | KV | 1 | | — " — |
| 51 | 48 | 1 | | 257 | 12.1.1 | | AN | 1 | | fragm av kon.kjerne? |
| | | | | | | | | | | |
| 51 | 48 | 2 | | 258 | 1.5.3 | | KV | 59 | | |
| 51 | 48 | 2 | | 259 | 1.5.2 | | KV | 90 | | |
| 51 | 48 | 2 | | 260 | 1.5.3 | | FL | 9 | | |
| 51 | 48 | 2 | | 261 | 1.5.2 | | FL | 14 | | |
| 51 | 48 | 2 | | 262 | 1.5.2 | | MY/AN | 2 | | |
| 51 | 48 | 2 | | 263 | 1.5.3 | | AN | 11 | | grå fink. bergart. |
| 51 | 48 | 2 | | 264 | 1.5.2 | | AN | 13 | | — " — |
| 51 | 48 | 2 | | 265 | 1.5.3 | | AN | 3 | | lys grønn fink. bergart |
| 51 | 48 | 2 | | 266 | 1.5.2 | | AN | 2 | | — " — |
| 51 | 48 | 2 | | 267 | 1.5.3 | | AN | 3 | | lys fink. bergart. |
| 51 | 48 | 2 | | 268 | 1.5.2 | | AN | 3 | | — " — |
| 51 | 48 | 2 | | 269 | 152 | | KS | 2 | | kalsedon? |
| 51 | 48 | 2 | | 270 | | | | 1 | | grønn bergart m/huggmrk |
| 51 | 48 | 2 | | 271 | 14.1.2 | | KL | 1 | | kleberbit |
| 51 | 48 | 2 | | 272 | 14.1.1 | | KL | 1 | | fiskesøkke |
| 51 | 48 | 2 | | 273 | 2.1.1 | | KV | 1 | | kon mikroflekkekjerne |
| 51 | 48 | 2 | | 274 | 2.3 | | AN | 1 | | bipolar kjerne |
| 51 | 48 | 2 | | 275 | 113 | | FL | 1 | | mikroflekke frgm. |
| 51 | 48 | 2 | | 276 | 113 | | KV | 1 | | — " — bergkr. |
| 51 | 48 | 2 | | 277 | 122.3 | | KV | 1 | | ret. mikrofl. bergkr. |
| 51 | 48 | 2 | | 278 | 2.3 | | KV | 1 | | bip. kjerne |
| 51 | 48 | 2 | | 279 | 93 | | KV | 1 | | berghrystall |
| 51 | 48 | 2 | | 280 | 12.1 | | KV | 1 | | ret. avslag. |
| 51 | 48 | 2 | | 281 | 95 | | NT | | | nøtteskall |
| 51 | 48 | 2 | | 282 | | | | 1 | | perle fragment. |

B.- 14765 Lok. 2 ENGEBØ, NAUSTDAL K. Sogn s. 7.

| X | Y | LAG | KV | FNR | TYPE | DEL | MAT | ANT | SUM | KOMMENTAR |
|---|---|---|---|---|---|---|---|---|---|---|
| 51 | 49 | 1 | | 283 | 153 | | FL | 13 | | |
| 51 | 49 | 1 | | 284 | 152 | | FL | 23 | | |
| 51 | 49 | 1 | | 285 | 153 | | KV | 143 | | |
| 51 | 49 | 1 | | 286 | 152 | | KV | 126 | | |
| 51 | 49 | 1 | | 287 | 151 | | KV | 1 | | |
| 51 | 49 | 1 | | 288 | 152 | | KS | 3 | | kaoxidon ? |
| 51 | 49 | 1 | | 289 | 151 | | KS | 1 | | " |
| 51 | 49 | 1 | | 290 | 153 | | AN | 9 | | lys grønn fuk. bergart |
| 51 | 49 | 1 | | 291 | 152 | | AN | 8 | | " |
| 51 | 49 | 1 | | 292 | 153 | | MY-AN | 3 | | |
| 51 | 49 | 1 | | 293 | 152 | | MY-AN | 8 | | ~~grå fuk~~ |
| 51 | 49 | 1 | | 294 | 153 | | AN | 4 | | grå fuk. bergart |
| 51 | 49 | 1 | | 295 | 152 | | AN | 6 | | " |
| 51 | 49 | 1 | | 296 | 1412 | | KL | 4 | | kleberstykker. |
| 51 | 49 | 1 | | 297 | 223 | | EL | 1 | | flersid. / toxid. kjerne |
| 51 | 49 | 1 | | 298 | 112 | P | FL | 1 | | frgm. smalfleke. |
| 51 | 49 | 1 | | 299 | 121 | | KV | 1 | | retusjert avslag |
| 51 | 49 | 1 | | 300 | 23 | | KV | 1 | | bip. kjerne berglurt. |
| 51 | 49 | 1 | | 301 | 2.3 | | KV | 1 | | bip. kjerne " |
| 51 | 49 | 1 | | 302 | 15.1 | | ST | 2 | | slipiplatefrgm. |
| 51 | 49 | 2 | | 303 | 153 | | FL | 24 | | |
| 51 | 49 | 2 | | 304 | 152 | | FL | 17 | | |
| 51 | 49 | 2 | | 305 | 152 | | AN | 29 | | grå fukcornet bergart |
| 51 | 49 | 2 | | 306 | 153 | | AN | 6 | | " |
| 51 | 49 | 2 | | 307 | 153 | | AN | 9 | | lys grønn fuk. bergart |
| 51 | 49 | 2 | | 308 | 152 | | AN | 9 | | " |
| 51 | 49 | 2 | | 309 | 152 | | AN | 56 | | div. bergart |
| 51 | 49 | 2 | | 310 | 153 | | KV | 160 | | |
| 51 | 49 | 2 | | 311 | 152 | | KV | 257 | | |
| 51 | 49 | 2 | | 312 | 151 | | KV | 1 | | |
| 51 | 49 | 2 | | 313 | 14.12 | | KL | 26 | | kleberbiter. |
| 51 | 49 | 2 | | 314 | 15.1 | | ST | 1 | | Slipeplatefragment |
| 51 | 49 | 2 | | 315 | 2.3 | | AN | 1 | | bip kjerne. |
| 51 | 49 | 2 | | 316 | 2.3 | | FL | 1 | | " |
| 51 | 49 | 2 | | 317 | 2.3 | | KV | 1 | | " |
| 51 | 49 | 2 | | 318 | 2.3 | | KV | 1 | | " |
| 51 | 49 | 2 | | 319 | 12.1 | | KV | 1 | | ret. avsl bergkryst. |
| 51 | 49 | 2 | | 320 | 113 | P | KV | 1 | | mikrofinne bergk. |
| 51 | 49 | 2 | | 321 | 113 | P | KV | 1 | | " |
| 51 | 49 | 2 | | 322 | 113 | M | KV | 1 | | " |
| 51 | 49 | 2 | | 323 | 112 | P | FL | 1 | | Smalfleke |
| 51 | 49 | 2 | | 324 | 15.1 | | ST | 1 | | Slipiplate |

B- 14705 Lok. 2 ENGEBØ, NAUSTDAL K Sog F. s. 8

| X | Y | LAG | KV | FNR | TYPE | DEL | MAT | ANT | SUM | KOMMENTAR |
|---|---|---|---|---|---|---|---|---|---|---|
| 51 | 50 | 1 | | 325 | 153 | | KV | 180 | | |
| 51 | 50 | 1 | | 326 | 152 | | KV | 199 | | |
| 51 | 50 | 1 | | 327 | 153 | | FL | 26 | | |
| 51 | 50 | 1 | | 328 | 152 | | FL | 15 | | |
| 51 | 50 | 1 | | 329 | 153 | | MY-AN | 15 | | |
| 51 | 50 | 1 | | 330 | 152 | | MY-AN | 21 | | |
| 51 | 50 | 1 | | 331 | 153 | | AN | 16 | | lys grønn tynn bergart |
| 51 | 50 | 1 | | 332 | 152 | | AN | 7 | | " |
| 51 | 50 | 1 | | 333 | 152 | | KS | 2 | | kalkspath ? |
| 51 | 50 | 1 | | 334 | | | AN | 1 | | rund glatt stein m/grove hogg m |
| 51 | 50 | 1 | | 335 | 1412 | | KL | 13 | | klebersbykkel |
| 51 | 50 | 1 | | 336 | 15.1 | | ST | 2 | | Slipeplatefragm. |
| 51 | 50 | 1 | | 337 | 2.3 | | KV | 1 | | bipolar kjerne |
| 51 | 50 | 1 | | 338 | 2.3 | | KV | 1 | | — " — |
| 51 | 50 | 1 | | 339 | 2.3 | | KV | 1 | | — " — |
| 51 | 50 | 1 | | 340 | 2.3 | | KV | 1 | | — " — |
| 51 | 50 | 1 | | 341 | 2.3 | | KV | 1 | | — " — |
| 51 | 50 | 1 | | 342 | 2.3 | | KV | 1 | | — " — |
| 51 | 50 | 1 | | 343 | 12.1 | | KV | 1 | | retusjert avslag |
| 51 | 50 | 1 | | 344 | 12.1.1 | | KV | 1 | | avslag m/ knuesspor |
| 51 | 50 | 1 | | 345 | 2.4 | | KV | 1 | | kjerne |
| 51 | 50 | 1 | | 346 | 12.11 | | KV | 1 | | avsl. m/ knuesspor |
| 51 | 50 | 1 | | 347 | 1.13 | | KV | 1 | | mikrofleike |
| 51 | 50 | 1 | | 348 | 1.1.3 | | KV | 1 | | — " — |
| 51 | 50 | 1 | | 349 | 1.1.3 | | KV | 1 | | — " — bergkr. |
| 51 | 50 | 1 | | 350 | 93 | | KV | 1 | | Bergkrystall |
| 51 | 50 | 1 | | 351 | 1491 | | KL | 1 | | Fiskeskikke |
| 51 | 50 | 1 | | 352 | 14.11 | | KL | 1 | | — " — |
| 51 | 50 | 1 | | 353 | | | | | | plantefiber? |
| 51 | 49 | 2 | | 354 | 152 | | KS | 5 | | kalkspath ? |
| 51 | 49 | 2 | | 355 | 8.2 | M | SK | 1 | | Skiferspydd / dekk fragm. ? |
| 51 | 49 | 2 | | 356 | 2.3 | | KS | 1 | | bip. kjerne |
| 51 | 49 | 2 | | 357 | 1.32 | | AN | 1 | | avsl av ohs ? |
| 51 | 49 | 2 | | 358 | 471 | | BA | 1 | | diabas ohs. |
| 51 | 49 | 1 | | 359 | 132 | | BA | 1 | | avsl. ohs |
| 51 | 49 | 1 | | 360 | | | BA | 1 | | mersel - emne |
| 51 | 49 | 1 | | 361 | 93 | | KV | 1 | | bergkrystall |
| 49 | 47 | 1 | | 362 | 15.2 | | AN | 1 | | Kvalukvarts |

B - L4105 — Lok. 2 ENGEBØ, NAUSTDAL-K. Sog Fj. — s. 9

| X | Y | LAG | KV | FNR | TYPE | DEL | MAT | ANT | SUM | KOMMENTAR |
|---|---|---|---|---|---|---|---|---|---|---|
| oppsamlet | | okt | 1990 | 363 | 152 | | KV | 17 | | |
| | | ↓ | | 364 | 151 | | KV | 1 | | |
| | | | | 365 | 151 | | KS | 1 | | |
| | | | | 366 | 151 | | AN | 1 | | lys grønn kvik. bergart |
| | | | | 367 | 152 | | MY-AN | 2 | | |
| | | | | 368 | 152 | | FL | 3 | | |
| | | | | 369 | 4.2.2 | | BA | 1 | | eggfragment |
| | | | | 370 | 23 | | KV | 1 | | bipolar kjerne |
| | | | | 371 | 15.2 | | AN | 1 | | + amboltstein? |
| | | | | 372 | 1.5.1 | | BA | 1 | | stort grønnst. avsl. |
| | | | | 373 | 15.1 | | AN | 1 | | Slipeplate frgm. |
| oppsamlet | nov 1990 | | | | | | | | | |
| | ↓ | | | 374 | 153 | | KV | 28 | | |
| | | | | 375 | 152 | | KV | 82 | | |
| | | | | 376 | 153 | | FL | 7 | | |
| | | | | 377 | 152 | | FL | 9 | | |
| | | | | 378 | 152 | | KS | 6 | | kalsedon |
| | | | | 379 | 152 | | MY-AN | 10 | | |
| | | | | 380 | 152 | | AN | 4 | | lys grå kvik bergart |
| | | | | 381 | 151 | | AN | 1 | | — " — |
| | | | | 382 | 152 | | AN | 6 | | mørk grå kvik b.a. |
| | | | | 383 | 14.12 | | KL | 8 | | kleberfragm. |
| | | | | 384 | 14.11 | | KL | 1 | | fiskeskulle |
| | | | | 385 | 93 | | KV | 1 | | uvanl. kvi bergkr. |
| | | | | 386 | 12.1 | | KV | 9 | | ret. avslag. |
| | | | | 387 | 121 | | KS | 1 | | — " — |
| | | | | 388 | 12.11 | | KV | 1 | | avsl. m/knivseggr. |
| | | | | 389 | 93 | | KV | 1 | | bergkrystall |
| | | | | 390 | 112 | | FL | 1 | | svartflekket |
| | | | | 391 | 112 | | KS | 1 | | — " — |
| | | | | 392 | 112 | | KV | 1 | | — " — |
| | | | | 393 | 113 | | FL | 1 | | mikroflekket |
| | | | | 394 | 12.1 | | FL | 1 | | avsl. m. knivsegg |
| | | | | 395 | 2.3 | | KV | 1 | | bip. kjerne bergkr. |
| | | | | 396 | 151 | | ST | 1 | | slipepl frgm. |

B.-14705 Lok. 2 ENGEBØ NAUSTDAL K. Sogtj., s. 10

| X | Y | LAG | KV | FNR | TYPE | DEL | MAT | ANT | SUM | KOMMENTAR |
|---|---|---|---|---|---|---|---|---|---|---|
| oppsaml. | | mai | 1991 | 397 | 153 | | FL | 14 | | |
| | | | | 398 | 152 | | FL | 27 | | |
| | | | | 399 | 152 | | AN | 5 | | gul fink. bergart. |
| | | | | 400 | 152 | | BA | 1 | | diabas |
| | | | | 401 | 152 | | MY-AN | 42 | | |
| | | | | 402 | 15.2 | | AN | 5 | | grå bergart. |
| | | | | 403 | utgår | | | | | |
| | | | | 404 | 15.2 | | KS | 11 | | kalsedon ? |
| | | | | 405 | 15.3 | | KV | 50 | | |
| | | | | 406 | 152 | | KV | 171 | | |
| | | | | 407 | 151 | | KV | 2 | | |
| | | | | 408 | 2.3 | | KV | 1 | | Bergkrystall. |
| | | | | 409 | 24 | | KV | 1 | | slått bergkrystall. |
| | | | | 410 | | | FL | 1 | | groover ? |
| | | | | 411 | 1.1.1 | M | FL | 1 | | flekkefragm. ? |
| | | | | 412 | 1.1.2 | M | AN | 1 | | smalflekkefragm. |
| | | | | 413 | 1.1.3 | M | FL | 1 | | mikroflekkefragm. |
| | | | | 414 | 1.1.2 | M | KV | 1 | | smalflekkefragm. |
| | | | | 415 | 2.3 | | KS | 1 | | bip. kjerne kalsedon |
| | | | | 416 | 2.3 | | KV | 1 | | " bergkr. |
| | | | | 417 | 2.3 | | KV | 1 | | " " |
| | | | | 418 | 12.1 | | KV | 2 | | retusjert avslag. |
| | | | | 419 | 12.1.1 | | KS | 1 | | avsl. m/ knusispor |
| | | | | 420 | 12.1.1 | | FL | 1 | | " |
| | | | | 421 | 12.1.1 | | FL | 1 | | " |
| | | | | 422 | 12.1.1 | | MY-AN | 1 | | " |
| | | | | 423 | 12.1.1 | | KV | 1 | | " |
| | | | | 424 | 93 | | KV | 1 | | Bergkrystall. |
| | | | | 425 | | | FL | 1 | | skraper ? |
| | | | | 426 | | | FL | 1 | | skraper ? |
| | | | | 427 | 4.21 | | BA | 1 | | Trinnøks m/sl. egg. |
| | | | | 428 | 20. | | | 3 | | asbestkeramikk. |

| X | Y | LAG | KV | FNR | TYPE | DEL | MAT | ANT | SUM | KOMMENTAR |
|---|---|---|---|---|---|---|---|---|---|---|
| 50 | 47 | 1 | | 429 | 1.5.3 | | KV | | 34 | |
| | | | | 430 | 1.5.2 | | KV | | 38 | |
| | | | | 431 | 153 | | FL | | 1 | |
| | | | | 432 | 152 | | FL | | 4 | |
| | | | | 433 | 152 | | MY | | 12 | |
| | | | | 434 | 153 | | MY/AN | | 10 | |
| | | | | 435 | 152 | | AN | | 8 | |
| | | | | 436 | 152 | | KS | | 2 | |
| | | | | 437 | 152 | | KS | | 2 | Kalsedon? |
| | | | | 438 | 113 | M | FL | | 1 | brukoretusj? |
| | | | | 439 | 1223 | P | FL | | 1 | mikrofl. retusjert |
| | | | | 440 | 113 | P | FL | | 1 | |
| | | | | 441 | 113 | | FL | | 1 | |
| | | | | 442 | 113 | M | KA | | 1 | mikrofl. KALSEDON. |
| | | | | 443 | 111 | P | FL | | 1 | |
| | | | | 444 | 2.3 | | KA | | 1 | Bip.kj. KALS. |
| | | | | 445 | 15.1 | | | | 1 | slupepl |
| | | | | 446 | 15.1 | | | | 1 | " slipt begge s. |
| | | | | 447 | 15.1 | | | | 1 | " — " — |
| 50 | 47 | 2 | | 448 | 1.5.3 | | KV | | 13 | |
| | | | | 449 | 152 | | KV | | 76 | |
| | | | | 450 | 153 | | FL | | 5 | |
| | | | | 451 | 152 | | FL | | 19 | |
| | | | | 452 | 152 | | AN/MY | | 40 | |
| | | | | 453 | 151 | | AN/MY | | 1 | |
| | | | | 454 | 152 | | AN | | 4 | lysgrønn funk.be |
| | | | | 455 | 152 | | KS | | 4 | |
| | | | | 456 | 1412 | | KL | | 3 | kleberbåter |
| | | | | 457 | 113 | P | FL | | 1 | |
| | | | | 458 | 113 | P | KV | | 1 | |
| | | | | 459 | 113 | P | KV | | 1 | |
| | | | | 460 | 113 | P | KS | | 1 | |
| | | | | 461 | 113 | M | FL | | 1 | |
| | | | | 462 | 113 | D | KS | | 1 | |
| | | | | 463 | 113 | P | MY | | 1 | |
| | | | | 464 | 113 | P | FL | | 1 | |
| | | | | 465 | 113 | P | FL | | 1 | |
| | | | | 466 | 23 | P | KV | | 1 | bip.kjerne? |
| | | | | 467 | 15.1 | | MY | | 1 | |
| | | | | 468 | 15.1 | | SI | | 1 | slupepl. trg m. |
| | | | | 469 | 15.2 | | | | 1 | Kvartskrystein. |
| | | | | 470 | 8.1.1 | | SK | | 1 | Quarkrein Emne? |
| | | | | 471 | 15.5.1 | | PM | | 1 | pimpstein m/slipeflate |

| X | Y | LAG | KV | FNR | TYPE | DEL | MAT | ANT | SUM | KOMMENTAR |
|---|---|---|---|---|---|---|---|---|---|---|
| 50 | 50 | 1 | | 472 | 1.5.3 | | KV | | 143 | |
| | | | | 473 | 1.5.2 | | KV | | 176 | |
| | | | | 474 | 1.5.3 | | MY | | 16 | |
| | | | | 475 | 1.5.2 | | MY | | 39 | |
| | | | | 476 | 1.5.3 | | AN | | 10 | lys grønn fink. bergart |
| | | | | 477 | 1.5.2 | | AN | | 9 | — " — |
| | | | | 478 | 1.5.3 | | FL | | 11 | |
| | | | | 479 | 1.5.2 | | FL | | 30 | |
| | | | | 480 | 1.5.2 | | FL | | 2 | brent |
| | | | | 481 | 14.1.2 | | KL | | 19 | |
| | | | | 482 | 1.5.2 | | KS | | 10 | kalsedon ? |
| | | | | 483 | 1.5.1 | | ST | | 2 | |
| | | | | 484 | 1.1.3 | M | KS | | 1 | kalsedon ? |
| | | | | 485 | 1.1.3 | M | KV | | 1 | bergkrystall |
| | | | | 486 | 1.1.3 | P | KV | | 1 | |
| | | | | 487 | 1.1.3 | M | KV | | 1 | |
| | | | | 488 | 1.1.3 | P | KV | | 1 | |
| | | | | 489 | 1.1.2 | P | FL | | 1 | |
| | | | | 490 | 14.1.1 | M | KL | | 1 | FISKESOKKE |